

# **Del av Skarpnäcks gård 1:1, Gamla Tyresövägen, Stockholms stad**

Nya bostäder inom kvarter A-D

**Markteknisk undersökningsrapport Geoteknik och Miljöteknik**  
2019-10-17



Beställare: Skanska Sverige AB, Wästbygg Projektutveckling AB,  
Magnolia Bostad och Fastsam

Konsultbolag: Structor Geoteknik Stockholm AB

Uppdragsnamn: Gamla Tyresövägen

Uppdragsnummer: G19023

Datum: 2019-10-17

Uppdragsledare: Malin Lund

Handläggare/utredare: Rogin Ramak

Interngranskare: Malin Lund

Omslagsbild tagen 2019-06-03.

## Innehåll

|  |           |
|--|-----------|
| <b>1. OBJEKT .....</b>                                     | <b>5</b>  |
| <b>2. ÄNDAMÅL .....</b>                                    | <b>5</b>  |
| <b>3. UNDERLAG FÖR UNDERSÖKNINGEN.....</b>                 | <b>6</b>  |
| <b>4. STYRANDE DOKUMENT.....</b>                           | <b>6</b>  |
| <b>5. GEOTEKNISK KATEGORI.....</b>                         | <b>7</b>  |
| <b>6. ARKIVMATERIAL.....</b>                               | <b>7</b>  |
| <b>7. BEFINTLIGA FÖRHÄLLANDEN.....</b>                     | <b>8</b>  |
| 7.1. Topografi och ytbeskaffenhet .....                    | 8         |
| 7.2. Befintliga konstruktioner .....                       | 9         |
| <b>8. POSITIONERING .....</b>                              | <b>9</b>  |
| <b>9. GEOTEKNiska FÄLTUNDERSÖKNINGAR.....</b>              | <b>10</b> |
| 9.1. Utförda undersökningar.....                           | 10        |
| 9.2. Undersökningsperiod .....                             | 10        |
| 9.3. Fältgeotekniker .....                                 | 10        |
| 9.4. Kalibrering och certifiering.....                     | 10        |
| 9.5. Provantering .....                                    | 10        |
| <b>10. GEOTEKNiska LABORATORIEUNDERSÖKNINGAR.....</b>      | <b>10</b> |
| 10.1. Utförda undersökningar.....                          | 10        |
| 10.2. Undersökningsperiod .....                            | 10        |
| 10.3. Laboratorieingenjör .....                            | 10        |
| <b>11. GEOHYDROLOGISKA UNDERSÖKNINGAR.....</b>             | <b>11</b> |
| 11.1. Utförda undersökningar och undersökningsperiod ..... | 11        |
| 11.2. Fältgeotekniker .....                                | 11        |
| <b>12. MILJÖTEKNiska FÄLTUNDERSÖKNINGAR.....</b>           | <b>11</b> |
| 12.1. Utförda fältundersökningar .....                     | 11        |
| 12.2. Undersökningsperiod .....                            | 11        |
| 12.3. Fältgeotekniker .....                                | 11        |
| <b>13. MILJÖTEKNiska LABORATORIEUNDERSÖKNINGAR .....</b>   | <b>11</b> |
| 13.1. Utförda laboratorieundersökningar.....               | 11        |
| 13.2. Undersökningsperiod .....                            | 12        |
| 13.3. Laboratorieingenjör .....                            | 12        |
| <b>14. HÄRLEDDA VÄRDEN .....</b>                           | <b>12</b> |
| 14.1. Geologisk jordlagerbeskrivning .....                 | 12        |
| 14.2. Hållfasthetsegenskaper.....                          | 12        |
| 14.3. Deformationsegenskaper .....                         | 12        |
| 14.4. Miljötekniska egenskaper .....                       | 12        |

|  |           |
|--|-----------|
| <b>15. VÄRDERING AV UNDERSÖKNING .....</b> | <b>13</b> |
| 15.1. Generellt.....                       | 13        |

## Bilagor

|          |  |          |
|----------|--|----------|
| Bilaga 1 | Mätrapport fält, AB Kartverkstan                     | 1 sida   |
| Bilaga 2 | Försöksrapport fält, Structor Geoteknik Stockholm AB | 21 sidor |
| Bilaga 3 | Koordinatförteckning undersökningspunkter            | 2 sidor  |
| Bilaga 4 | Jordprovsanalys störda jordprover, LabMind AB        | 1 sida   |
| Bilaga 5 | Analys av markföroreningar, ALS Scandinavia AB       | 11 sidor |
| Bilaga 6 | CPT-utvärdering med Conrad                           | 20 sidor |
| Bilaga 7 | Sammanställning härellda värden                      | 2 sidor  |
| Bilaga 8 | Arkivmaterial, tidigare utförda undersökningar       | 10 sidor |
| Bilaga 9 | Sammanställning markmiljöundersökning                | 2 sidor  |

## Ritningar

|                         |  |                    |      |
|-------------------------|--|--------------------|------|
| G-17.1-001              | Geoteknisk undersökning<br>Plan                          | 1:500              | (A1) |
| G-17.2-001 – G-17.2-002 | Geoteknisk undersökning, kv A-B<br>Sektioner A-A – G-G   | H 1:100<br>L 1:200 | (A1) |
| G-17.2-003 – G-17.2-005 | Geoteknisk undersökning, kv C-D<br>Sektioner 1-1 – 10-10 | H 1:100<br>L 1:200 | (A1) |

Denna rapport innehåller endast resultaten av utförda fält- och laboratorieundersökningar. Tolkning av geotekniska förhållanden, materialparametrar och geotekniska åtgärder m.m. redovisas i en separat handling Utrednings PM Geoteknik daterad 2019-10-17.

## 1. OBJEKT

Structor Geoteknik Stockholm AB har på uppdrag av Skanska Sverige AB, Wästbygg Projektutveckling AB, Magnolia Bostad samt Fastsam upprättat denna Marktekniska undersökningsrapport Geoteknik och Miljöteknik (MUR Geoteknik och Miljöteknik). Kontaktperson hos beställarna är Sara Widell för Skanska Sverige AB, Christofer Söderström för Wästbygg Projektutveckling AB, Andreas Lorenz för Magnolia Bostad samt Lars Fränne för Fastsam.

I denna MUR Geoteknik och Miljöteknik redovisas resultatet från geotekniska och miljötekniska undersökningar för nya bostäder inom kvarter A-C samt miljötekniska undersökningar inom kvarter D längs Gamla Tyresövägen i Skarpnäck, Stockholms stad. Inom kvarter C planeras även en förskola. Kvarter A tillhör Magnolia Bostad, kvarter B tillhör Fastsam, kvarter C tillhör Wästbygg Projektutveckling AB och kvarter D tillhör Skanska Sverige AB. Se utklipp från Illustrationsplan 1:2000 upprättad av White Arkitekter AB 2019-10-08, i figur 1 nedan.

Planerade kvarter ligger öster om Gamla Tyresövägen, norr om Flygledargatan och sydöst om Vinthundsvägen inom del av fastigheten Skarpnäcks Gård 1:1.



Figur 1. Utklipp från Illustrationsplan 1:2000 upprättad av White Arkitekter AB 2019-10-08

## 2. ÄNDAMÅL

Föreliggande handling syftar till att redovisa resultaten från utförda geotekniska och miljötekniska undersökningar inom planerade kvarter A-C samt miljötekniska undersökningar inom kvarter D.

Handlingen skall användas som underlag vid projektering av mark- och grundläggningsarbeten tillsammans med en separat Utrednings PM Geoteknik.

### 3. UNDERLAG FÖR UNDERSÖKNINGEN

Underlag som använts för planering av undersökningarna är följande:

- Stockholm stads Byggnadsgeologiska karta
- Platsbesök
- Äldre utförda undersökningar, se avsnitt 6 nedan
- Information om befintliga ledningar från Samlingskartan
- Baskarta i dwg-format
- Planritning planerade byggnader i dwg-format, kvarter A upprättad av Jägnefält Milton erhållen 2019-04-30, kvarter B upprättad av Ettelva daterad 2019-04-24, kvarter C upprättad av Liljewall daterad 2019-04-24, kvarter D upprättad av Varg daterad 2019-04-17

### 4. STYRANDE DOKUMENT

Denna rapport ansluter till Eurokod 7 del 1, SS-EN 1997-1 med tillhörande nationell bilaga, Boverkets konstruktionsregler EKS 10, BFS 2011:10 med ändringar t.o.m. BFS 2015:6.

Tabell 1. Planering och redovisning

| <b>Undersökningsmetod</b>   | <b>Standard eller annat styrande dokument</b>           |
|-----------------------------|---|
| FältpLANERING och utförande | SS-EN 1997-2, SGF Rapport 1:2013 samt SS-EN ISO 22475-1 |
| Beteckningssystem           | SGF/BGS beteckningssystem 2001:2                        |

Tabell 2. Fältundersökningar

| <b>Undersökningsmetod</b> | <b>Standard eller annat styrande dokument</b>   |
|---------------------------|---|
| Provtagning allmänt       | Geoteknisk undersökning och provning - Provtagning genom borrhings- och utgrävningssmetoder och grundvattenmätningar - Del 1: Tekniskt utförande (SS-EN ISO 22475-1:2006) |
| Jb-sondering              | SGF Rapport 4:2012 Metodbeskrivning för jordbergsondering   |
| CPT-sondering             | Geoteknisk undersökning och provning – Fältprovning - Del 1: Spetstrycksondering – elektrisk spets, CPT och CPTU (SS-EN ISO 22476-1:2012)                                 |
| Mekanisk trycksondering   | SGF Metodblad daterad 2009-01-27  |
| Skruvprovtagning          | Geoteknisk fälthandbok SGF Rapport 1:2013, Provtagningsmetoder; skruvprovtagare   |

**Tabell 3. Laboratorieundersökningar**

| <b>Undersökningsmetod</b> | <b>Standard eller annat styrande dokument</b>     |
|---------------------------|---|
| Klassificering            | SS-EN ISO 14688-2004:1 och SS-EN ISO 14688-2:2004 |
| Tjälfarligitet            | AMA Anläggning 13                                 |
| Materialtyp               | AMA Anläggning 13                                 |

**Tabell 4. Hydrogeologiska undersökningar**

| <b>Undersökningsmetod</b>                         | <b>Standard eller annat styrande dokument</b>  |
|---|--|
| Installation av grundvattenrör och portrycksspets | Geoteknisk fälthandbok SGF Rapport 1:2013, kapitel 10 och Geoteknisk undersökning och provning - Provtagning genom borrnings- och utgrävningsmetoder och grundvattenmätningar - Del 1: Tekniskt utförande ((SS-EN ISO 22475-1:2006)) |
| Avläsning   | Geoteknisk undersökning och provning - Provtagning genom borrnings- och utgrävningsmetoder och grundvattenmätningar - Del 1: Tekniskt utförande (SS-EN ISO 22475-1:2006)   |

## 5. GEOTEKNISK KATEGORI

Undersökningarna är utförda för Geoteknisk kategori 2.

## 6. ARKIVMATERIAL

Tidigare utförda undersökningspunkter 18SG1XX är utförda av Structor Geoteknik Stockholm AB under augusti 2018, för kvarter D på uppdrag av Skanska Sverige AB.

Äldre undersökningspunkt B18 är utförd av Bjerking AB på uppdrag av Stockholm Vatten under augusti 2014, med uppdragsnamn "Stora Sköndalsväg (SVAB)" och uppdragsnummer 14U25647, har hämtats digitalt från Stockholms stad Geoarkivet.

Äldre undersökningar från 1954 samt 1981-82 har erhållits från Geoarkivet och digitaliseras och inarbetats i denna handling. Undersökningspunkterna benämns 21, 58, 76 och 37. Punkt 37 är okänd vad gäller årtal för utförande.

## 7. BEFINTLIGA FÖRHÅLLANDE

### 7.1. Topografi och ytbeskaffenhet

Undersökningsområdet utgörs av ett skogsområde, med främst lövträd, en del barrträder samt sly och buskage samt berg i dagen. Gångstigar korsar området. Ett dike finns längs delar av området i syd vid kvarter A och B. Mellan kvarter B och C finns ett område med berg i dagen.

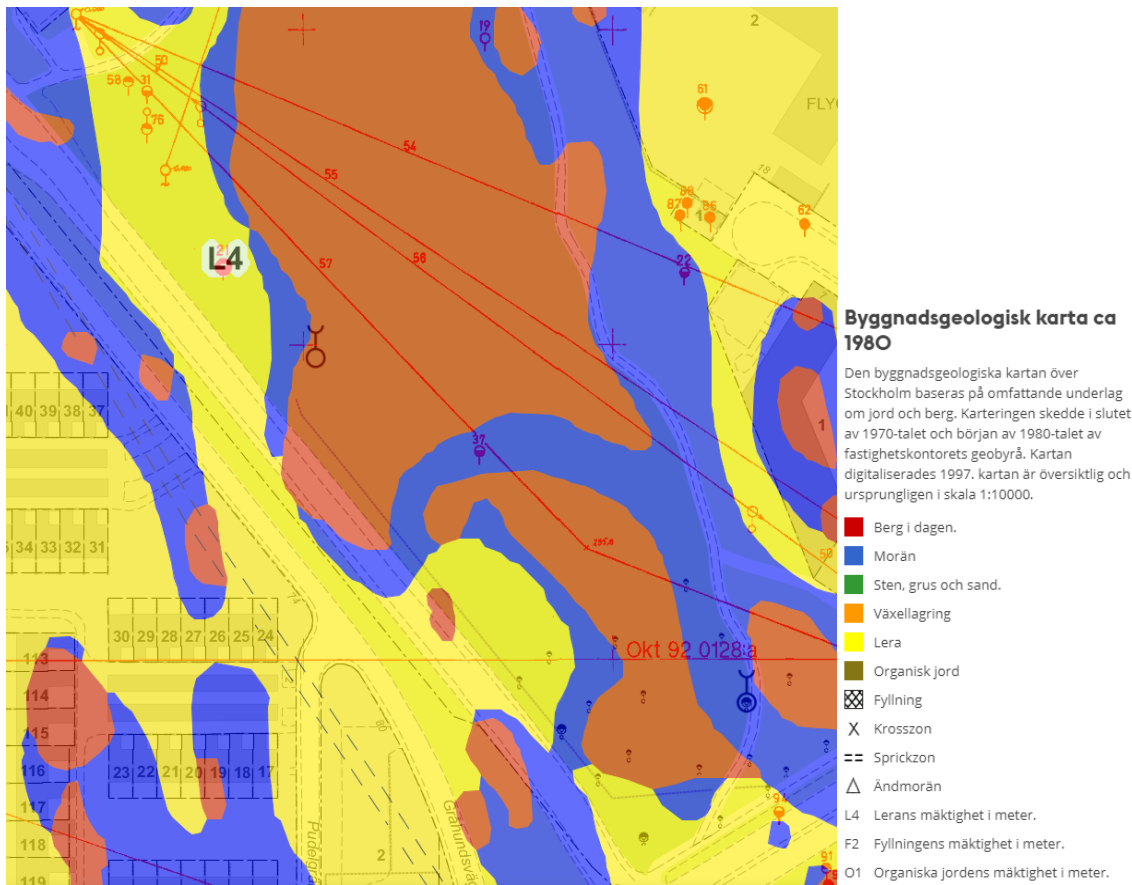
Marknivåerna inom kvarter A varierar mellan ca +29,7 i nordöst och +28,4 i syd, i utförda undersökningspunkter. Ett mindre parti med berg i dagen förekommer längst i nordväst.

Marknivåerna inom kvarter B varierar mellan ca +28,9 i norr och +28,1 i syd, i utförda undersökningspunkter. Partier med berg i dagen förekommer i de nordöstra och sydöstra delarna av området.

Inom kvarter C varierar marknivåerna mellan ca +31,9 i nordöst och +28,6 i väst, i utförda undersökningspunkter. De norra/nordöstra delarna av kvarteret utgörs av berg i dagen.

Inom kvarter D varierar marknivåerna mellan ca +30,1 i norr och +27,8 i syd i tidigare utförda undersökningspunkter. Berg i dagen förekommer i de norra och östra delarna av området.

Enligt Byggnadsgeologiska kartan utförd av Stockholms stad (Figur 2) utgörs området inom kvarter A av främst lera och morän, i områdets västra och östra utkanter förekommer ytnära berg eller berg i dagen. Inom kvarter B utgörs området i väst av lera, och i ost och syd förekommer morän och ytnära berg/berg i dagen. Inom kvarter C utgörs området av lera i de västra delarna och i norr och ost av morän och berg. Kvarter D utgörs i huvudsak av morän och ytnära berg eller berg i dagen, i de västra och södra utkanterna förekommer lera. En sprickzon löper utanför kvarter A-D:s sydvästra del.



Figur 2. Byggnadsgeologisk karta från Geoarkivet, Stockholms stad, hämtad 2019-07-31.

## 7.2. Befintliga konstruktioner

Intill området sträcker sig Gamla Tyresövägen i väst/sydväst och Flygledargatan i syd/sydöst. En busshållplats finns längs Gamla Tyresövägen. Tunnelbanans gröna linje är belägen nordost om området med Skarpnäcks tunnelbanestation ca 500 m öster om området.

En kontorsbyggnad finns strax sydost om undersökningsområdet och nordost om området finns Skarpnäcks folkhögskola. Ett radhusområde finns väster om området. Ett staket mot Gamla Tyresövägen finns längs västra och södra delen av området.

Markförlagda ledningar förekommer i utkanterna av området och består av el-, opto och spillvattenledningar.

## 8. POSITIONERING

Det mättekniska fältarbetet utfördes av AB Kartverkstan med Hans Andersson som ansvarig mätningstekniker. Använt koordinatsystem är Sweref 99 18 00 i plan och RH2000 i höjd. Utsättning/inmätning av undersökningspunkter utfördes enligt bifogad mätrapport, Bilaga 1.

## 9. GEOTEKNISKA FÄLTUNDERSÖKNINGAR

### 9.1. Utförda undersökningar

Undersökningsarbetet omfattade följande:

- Jord-bergsondering i 16 st punkter
- CPT-sondering i 3 st punkter
- Trycksondering i 4 st punkter
- Upptagning av störda jordprover med provtagningsskruv i 5 punkter, på 1-3 nivåer

Undersökningspunkterna benämns 19SG101 – 19SG121, se koordinater i bilaga 3.

### 9.2. Undersökningsperiod

Geotekniska och miljötekniska fältarbeten utfördes 2019-07-01 till 2019-07-22.

Mätningsarbeten utfördes 2019-06-28.

### 9.3. Fältgeotekniker

Det geotekniska och miljötekniska fältarbetet utfördes av Structor Geoteknik Stockholm AB med Filip Nordén och Henrik Nordén som ansvariga fältgeotekniker.

### 9.4. Kalibrering och certifiering

Framgår av bifogad fältrapport, Bilaga 2.

### 9.5. Provhantering

Hantering av upptagna jordprover framgår av bifogad fältrapport, Bilaga 2.

## 10. GEOTEKNISKA LABORATORIEUNDERSÖKNINGAR

### 10.1. Utförda undersökningar

Okulär jordartsbenämning, materialtyp och tjälfarligehetsklassning har utförts på 6 störda jordprover, se bilaga 4.

### 10.2. Undersökningsperiod

Geotekniska laboratoriearbeten utfördes 2019-07-04.

### 10.3. Laboratorieingenjör

Geotekniska laboratoriearbeten utfördes av LabMind AB med Maria Gkatsou som ansvarig laboratorieingenjör.

## 11. GEOHYDROLOGISKA UNDERSÖKNINGAR

### 11.1. Utförda undersökningar och undersökningsperiod

Två grundvattenrör, benämnda SG1120 och SG1122, har installerats inom kvarter A i norr respektive i kvarter B i norr, i samband med de geotekniska fältarbetena. Rören har lodats 2019-07-03, 2019-07-22 och 2019-08-15. Rör SG1120 var torrt vid samtliga mät tillfällen. Röret funktionskontrollerades 2019-08-15 utan anmärkning. I rör SG1122 låg grundvattnets trycknivå på mellan +26,1 och +24,4 vilket motsvarar mellan ca 2,2 och 3,9 m under markytan i den punkten.

Sedan tidigare finns ett grundvattenrör benämnt SG1079 installerat inom kvarter D i nordöst. Röret har lodats vid 4 tillfällen (under augusti och september 2018 samt juli och augusti 2019) och har då varit torrt vid samtliga mät tillfällen.

Äldre grundvattenrör 128A76 inom kvarter B:s södra del finns inte kvar idag. Lodningar utförda under år 1982 till 2013 visar att grundvattnets trycknivå har legat på mellan +27,2 och +23,4 vilket motsvarar mellan ca 2,3 och 6,1 m under markytan.

### 11.2. Fältgeotekniker

Se 9.3

## 12. MILJÖTEKNISKA FÄLTUNDERSÖKNINGAR

### 12.1. Utförda fältundersökningar

Undersökningsarbetet omfattade följande:

- Upptagning av störda jordprover med provtagningsskruv i 8 punkter, på 1 nivå

### 12.2. Undersökningsperiod

Se 9.2.

### 12.3. Fältgeotekniker

Se 9.3.

## 13. MILJÖTEKNISKA LABORATORIEUNDERSÖKNINGAR

### 13.1. Utförda laboratorieundersökningar

- Utvärdering av halt av oljekolväten, tjäramnen och tungmetaller på 8 st störda jordprover upptagna med provtagningsskruv, se bilaga 5.

### 13.2. Undersökningsperiod

Miljötekniska laboratoriearbeten utfördes 2019-07-18.

### 13.3. Laboratorieingenjör

Miljötekniska laboratoriearbeten utfördes av ALS Scandinavia AB med Sture Grägg som ansvarig laboratorieingenjör.

## 14. HÄRLEDDA VÄRDEN

### 14.1. Geologisk jordlagerbeskrivning

Jordlagerföljden inom kvarter A utgörs av fyllning och/eller morän på berg. Centralt, i sydost och i norr utgörs jordlagerföljden av fyllning ovan torrskorpelera ovan lera på morän på berg. I syd har även silt påträffats under leran. I nordväst och nordost förekommer berg i dagen.

Inom kvarter B utgörs jordlagerföljden av fyllning ovan torrskorpelera ovan lera på morän på berg i syd närmast Gamla Tyresövägen. I enstaka punkter har silt påträffats under leran. I norr förekommer fyllning ovan morän på berg. Berg i dagen förekommer i de södra delarna av kvarteret.

De norra delarna av kvarter C utgörs av berg i dagen. I övriga delar utgörs jordlagerföljden av morän på berg.

Jordlagerföljden inom kvarter D utgörs av morän på berg. I ett fåtal undersökningspunkter förekommer torrskorpelera ovan moränen. Berget går i dagen i den norra delen av området.

### 14.2. Hållfasthetsegenskaper

Redovisning av härledda och korrigrade värden för skjuvhållfastheter, friktionsvinklar m m redovisas i Bilaga 6 och 7 och har utvärderats från CPT-sondering i fält.

### 14.3. Deformationsegenskaper

Redovisning av härledda och korrigrade värden för densiteter, moduler, förkonsolideringsspänning ( $\sigma'_c$ ) m m redovisas i Bilaga 6 och 7 och har utvärderats från CPT-sondering i fält.

### 14.4. Miljötekniska egenskaper

Sammanställning av utförda miljötekniska laboratoriearbeten redovisas i Bilaga 9.

## 15. VÄRDERING AV UNDERSÖKNING

### 15.1. Generellt

Undersökningspunkt 19SG112 var ej åtkomlig pga. ett staket och kunde därmed inte utföras.

Undersökningspunkt 19SG119 var placerad på berg i dagen och utfördes således inte.

Inget grundvattenrör installerades inom kvarter C pga. yt nära berg i samtliga undersökningspunkter.

### Structor Geoteknik Stockholm AB

Malin Lund  
Uppdragsledare

Rogin Ramak  
Handläggare

Malin Lund  
Interngranskare



## Mätrapport för utstakning borrpunkter

**Projektnamn:** GAMLA TYRESÖVÄGEN 4 KVARTER

**Uppdragsnummer:** G19025

**Beställare:** Rogin Ramak, Structor Geoteknik Stockholm AB

**Mätningstekniker:** Hans Andersson, AB Kartverkstan

**Instrument:** Totalstation: Trimble S6  
GNSS: Trimble R10-1

**Tidpunkt:** 2019-06-28

**Koordinatsystem:** SWEREF 99 18 00 / RH2000

**Mätpunkter:** Plan: GNSS-pikéer  
Höjd: Höjdfix 308954 , GNSS-pikéer

*Utlagda GNSS-pikéer mätta med dubbel- eller  
trippelmätningsmetoden enligt HMK-Geodesi: GNSS-baserad  
detaljmätning 2017*

**Redovisade filer:** G19025\_Gamla\_Tyresövägen\_borrpktr\_190628.pxy

**Övrigt:** 19SG109 flyttad ca 1,5m Ö, pga dike  
19SG111 flyttad ca 1 m Ö, pga dike

### Mätningsingenjör

Hans Andersson  
Tyresö 2019-06-28

# Gamla Tyresövägen

**Försöksrapport/Fält**  
2019-08-15

## Uppdrag

Beställare: Skanska Sverige AB, Wästbygg Projektutveckling AB,  
Magnolia Bostad och Fastsam

Uppdragsnamn: Gamla Tyresövägen

Uppdragsnummer: G19023

Plats: Gamla Tyresövägen/Flygledargatan

Datum för undersökningar: 2019-07-01 - 2019-07-22

## Organisation

Handläggare: Rogin Ramak

Kontaktperson beställare: Sara Widell, Christofer Söderström, Andreas Lorenz och  
Lars Fränne

Uppdragsledare: Malin Lund

Ansvarig fältgeotekniker: Filip Nordén

Biträdande fältgeotekniker: Henrik Nordén

Interngranskare: Filip Nordén

## Geotekniska instrument

Borrbandvagn: Geotech 504 nr 10424, Geotech 505DD nr 531

Övriga instrument: CPT

## Bilagor

- Kalibreringsprotokoll borrbandvagn Geotech 505DD nr 531
- Kalibreringsprotokoll borrbandvagn Geotech 504 nr 10424
- Kalibreringsprotokoll CPT-spets 4742

## GEOTEKNIKT UNDERSÖKNINGSPROGRAM

**Undersökningsprogram upprättat av**  
Rogin Ramak, Structor Geoteknik Stockholm AB

### Syfte med undersökningarna

Nya flerbostadshus som underlag till detaljplan.

**Tabell 1. Sammanställning planerade undersökningar**

| Metod | Antal | Anmärkning |
|-------|-------|------------|
| Jb2   | 12    |            |
| Vim   | 5     |            |
| CPT   | 3     |            |
| Skr   | 6     |            |
| Skr   | 7     | Miljö      |
| Gvr   | 3     |            |

## UTFÖRDA UNDERSÖKNINGAR

**Tabell 2. Utförda undersökningar**

| BorrID  | Metod        | Datum      | Anmärkning         | Signatur |
|---------|--------------|------------|--------------------|----------|
| 19SG101 | Jb2          | 2019-07-01 |                    | FNN      |
| 19SG102 | Jb2, Skr     | 2019-07-01 |                    | FNN      |
|         | Skr          | 2019-07-02 |                    | FNN      |
|         | Cpt          | 2019-07-22 |                    | HNN      |
| 19SG103 | Tr           | 2019-07-01 |                    | FNN      |
| 19SG104 | Jb2          | 2019-07-01 |                    | FNN      |
|         | Skr          | 2019-07-02 |                    |          |
| 19SG105 | Jb2          | 2019-07-01 |                    | FNN      |
|         | Skr          | 2019-07-02 |                    | FNN      |
| 19SG106 | Jb2          | 2019-07-01 |                    | FNN      |
|         | Cpt          | 2019-07-22 |                    | HNN      |
| 19SG107 | Jb2, Tr      | 2019-07-01 |                    | FNN      |
|         | Cpt          | 2019-07-22 |                    | HNN      |
| 19SG108 | Jb2          | 2019-07-01 |                    | FNN      |
|         | Skr          | 2019-07-02 |                    | FNN      |
| 19SG109 | Jb2          | 2019-07-02 |                    | FNN      |
|         | Cpt          | 2019-07-22 |                    | HNN      |
| 19SG110 | Jb2          | 2019-07-01 |                    | FNN      |
|         | Skr          | 2019-07-02 |                    | FNN      |
| 19SG111 | Tr, Jb2, Skr | 2019-07-02 |                    | FNN      |
| 19SG112 |              |            | Utgår, ej åtkomlig |          |
| 19SG113 | Jb2          | 2019-07-02 |                    | FNN      |

|         |          |            |                     |     |
|---------|----------|------------|---------------------|-----|
| 19SG114 | Jb2      | 2019-07-02 |                     | FNN |
| 19SG115 | Jb2      | 2019-07-02 |                     | FNN |
| 19SG116 | Jb2, Skr | 2019-07-02 |                     | FNN |
| 19SG117 |          |            |                     |     |
| 19SG118 | Jb2      | 2019-07-02 |                     | FNN |
| 19SG119 |          |            | Utgår, berg i dagen |     |
| 19SG120 | Skr      | 2019-07-03 |                     | FNN |
| 19SG121 | Skr      | 2019-07-03 |                     | FNN |

Tabell 3. Installerade grundvattenrör

| Grund vattenrör ID | Typ      | Uppstick | Totallängd inkl. filter | Funktions-kontroll               | Installations-datum | Avläsning GW/datum                   |
|--------------------|----------|----------|-------------------------|----------------------------------|---------------------|--------------------------------------|
| SG1120             | 1"stålör | 1,3m     | 6,5m                    | 3cm/sek<br>2019-08-15<br>3cm/sek | 2019-07-01          | 6,0m m.u.rt.<br>(torr)<br>2019-07-22 |
| SG1022             | 1"stålör | 1,1m     | 10,5m                   | 3cm/sek                          | 2019-07-02          | 4,45 m.u.rt.<br>2019-07-22           |

### Autografdata, rådata och lagringsplats

Filnamnet på levererade data är detsamma som BorrID, se Tabell 2 och 3.

Provning utan bergnivå: BorrID.SND

Provning med bergnivåtolkning: BorrID.TLK

CPT-sondering: BorrID.cpt, BorrID.DPT, BorrID.log

Provtagning: BorrID.PRV

Grundvatten och portrycksinstallationer: GrundvattenrörID.GVR

Autografdata och rådata är sparade på länkar angivna nedan:

Lagringsplats autografdata: K:\G19023 Gamla Tyresövägen 4

kvarter\G\Fältarbeten\Fältarbeten resultat\Fält

Lagringsplats rådata: K:\G19023 Gamla Tyresövägen 4

kvarter\G\Fältarbeten\Fältarbeten resultat\Rådata

Tabell 4. Antal utförda undersökningar fördelat på metod

| Metod | Antal | Standard eller annat styrande dokument |
|-------|-------|--|
|-------|-------|--|

### Provtagning

|            |    |                        |
|------------|----|------------------------|
| Kategori A |    | SS-EN ISO 22475-1:2006 |
| Kategori B | 10 | SS-EN ISO 22475-1:2006 |

|            |  |                        |
|------------|--|------------------------|
| Kategori C |  | SS-EN ISO 22475-1:2006 |
|------------|--|------------------------|

#### Grund- och porvattensobservationer

|               |  |                        |
|---------------|--|------------------------|
| Öppna system  |  | SS-EN ISO 22475-1:2006 |
| Slutna system |  | SS-EN ISO 22475-1:2006 |
| Provtagning   |  | SS-EN ISO 22475-1:2006 |

#### Provning

|   |   |                                  |
|---|---|----------------------------------|
| CPT, CPTU                                     | 5 | SS-EN ISO 22476-1:2012           |
| Vim (WST)                                     |   | SS-EN ISO 22476-10:2017 (Eng)    |
| SPT   |   | SS-EN ISO 22476-3:2005 (Eng)     |
| DP (DPSH-A) <i>Mycket tung hejansondering</i> |   | SS-EN ISO 22476-2:2005 / A1:2011 |

#### Övriga (ej Europastandarder)

|                |    |                          |
|----------------|----|--------------------------|
| Jb-tot/Jb-2/Jb | 15 | SGF Rapport 4:2012       |
| Slb            |    | SGF Metodblad 2006-10-01 |
| Vb             |    | SGF Rapport 2:93         |
| Tr             | 3  | SGF Metodblad 2009-01-27 |

## KVALITETSINFORMATION OCH OBSERVATIONER

Avvikelser från styrande dokument samt observationer som kan ha påverkat undersökningens resultat.

Tabell 5. Ståldimension, kronstorlek och annan information

| Metod | Stål-/krondimension/spolmedium/instrument         | Anmärkning |
|-------|---|------------|
| Jb-2  | 44 mm stål/57 mm stiftkrona med backventil/vatten |            |
| Tr    | 32 mm stål/Vriden spets                           |            |
| CPT   | 32 mm stänger/Nova sond                           |            |
| Skr   | 44 mm stål/70 mm Skr                              |            |

## ÖVRIG INFORMATION

### **Structor Geoteknik Stockholm AB**

Malin Lund  
Uppdragsledare

Rogin Ramak  
Handläggare

Filip Nordén  
Interngranskare

**Georent**  
GEORENT I SVERIGE AB

## Kalibreringsprotokoll gällande kraftgivare.

Kontroll av borrvagn: Geotech 505FM

Tillv.nr: 17531

Tim: 885h

| <u>Kraftgivare Kg</u> | <u>Hammare</u><br><u>Kontrollsysten</u> | <u>Värde</u> |
|-----------------------|---|--------------|
| 50                    | 51                                      | 1,02         |
| 100                   | 105                                     | 1,05         |
| 150                   | 158                                     | 1,05         |
| 200                   | 211                                     | 1,06         |
| 250                   | 265                                     | 1,06         |
| 300                   | 319                                     | 1,06         |
| 350                   | 372                                     | 1,06         |
| 400                   | 425                                     | 1,06         |
| 500                   | 530                                     | 1,06         |
| 600                   | 634                                     | 1,06         |
| <b>Ny konstant</b>    |   | <b>10,54</b> |

| <u>Kraftgivare Kg</u> | <u>Viktsond</u> | <u>Kontrollsysten</u> | <u>Värde</u> |
|-----------------------|-----------------|-----------------------|--------------|
| 20                    |                 | 21                    | 1,05         |
| 30                    |                 | 32                    | 1,07         |
| 40                    |                 | 42                    | 1,05         |
| 50                    |                 | 53                    | 1,06         |
| 60                    |                 | 64                    | 1,07         |
| 70                    |                 | 74                    | 1,06         |
| 80                    |                 | 85                    | 1,06         |
| 90                    |                 | 95                    | 1,06         |
| 100                   |                 | 106                   | 1,06         |
| <b>Ny konstant</b>    |                 |                       | <b>9.54</b>  |

## Mätinsamling

## Laptop

Pclog

## Geolog

X

## Givartyp

Linjär

Olinjär

X

## Kontrollsystem

CPT

Våg

## Tryckdosa

X

**ANMÄRKNING:** Konstant 1,000 används på mätinsamlare

KONTROLLEN GJORD AV: Christian von Walden

## NAMNTECKNING:

---

Kallhäll 2018-09-24

Georent I Sverige AB, Skarprättarvägen 1, 176 77 Järfälla



## KALIBRERINGSCERTIFIKAT FÖR BANDVAGN

**10424**

Bandvagn nr: **10424**

Datum för kalibrering: **2018-06-18**

Kalibrerad av: **Ove Karlsson**

Sign.

Vridmoment kraft

Kraftgivare 0-1 kN

Kraftkonstant: **1,19**

Kraftgivare 0-50 kN

Kraftkonstant: **1,08**

Maxkraft: **30,26**

Djupmätare

1 meter= **1 m**

H/V-givare

20 H/V = **20 H/V**

Kompenserat vridmoment

# CALIBRATION CERTIFICATE FOR CPT PROBE 4742

Probe No 4742  
 Date of Calibration 2019-01-15  
 Calibrated by Christoffer Hurtig.....  
 Run No 971  
 Test Class: ISO 1

| Point Resistance | Tip Area 10cm <sup>2</sup> |     |
|------------------|----------------------------|-----|
| Maximum Load     | 50                         | MPa |
| Range            | 50                         | MPa |
| Scaling Factor   | <b>1295</b>                |     |
| Resolution       | 0,5891                     | kPa |
| Area factor (a)  | 0,852                      |     |

ERRORS

Max. Temperature effect when not loaded 15,308 kPa  
 Temperature range 5 –40 deg. Celsius.

| Local Friction  | Sleeve Area 150cm <sup>2</sup> |     |
|-----------------|--------------------------------|-----|
| Maximum Load    | 0,5                            | MPa |
| Range           | 0,5                            | MPa |
| Scaling Factor  | <b>3602</b>                    |     |
| Resolution      | 0,0106                         | kPa |
| Area factor (b) | 0                              |     |

ERRORS

Max. Temperature effect when not loaded 0,444 kPa  
 Temperature range 5 –40 deg. Celsius.

| Pore Pressure  |             |     |
|----------------|-------------|-----|
| Maximum Load   | 2           | MPa |
| Range          | 2           | MPa |
| Scaling Factor | <b>3646</b> |     |
| Resolution     | 0,0209      | kPa |

ERRORS

Max. Temperature effect when not loaded 1,422 kPa  
 Temperature range 5 –40 deg. Celsius.

| Tilt Angle. | Scaling Factor: 0,94 |      |
|-------------|----------------------|------|
| Range       | 0 - 40               | Deg. |

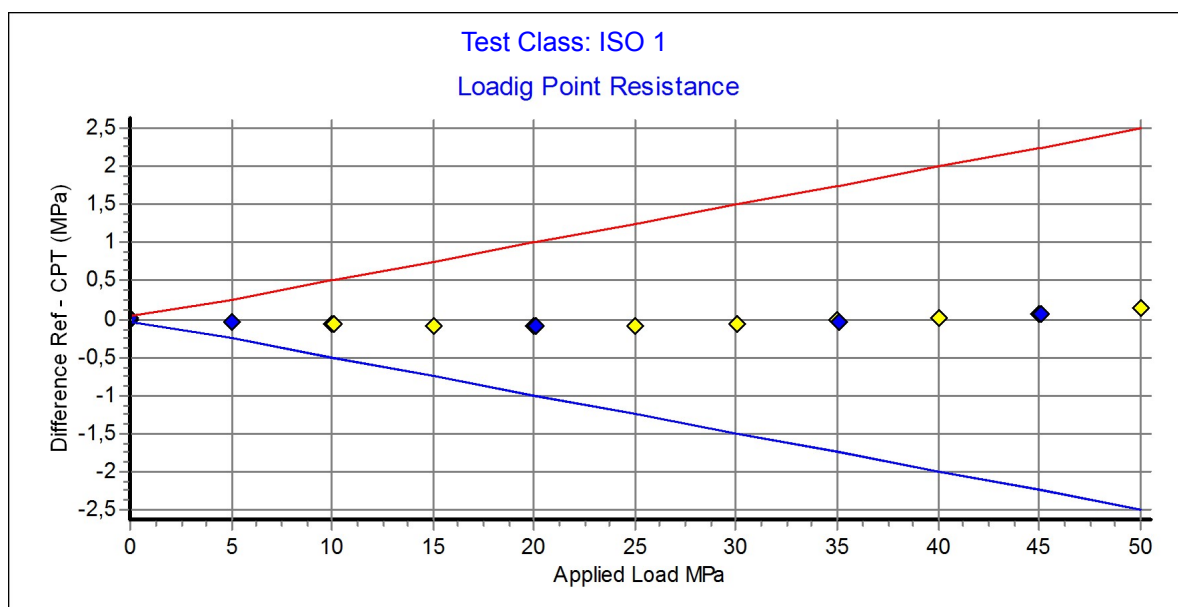
**Backup memory**

Specialists in  
Geotechnical  
Field Equipment



Probe No: **4742**  
 Date of Calibration: **2019-01-15**  
 Calibration Run No: **971**  
 Calibrated by: **Christoffer Hurtig**  
**Scaling Factor:** **1295**  
 Reference Cell: **75672**

| Applied Load<br>MPa | PointRes.<br>MPa | Difference<br>MPa | Accuracy<br>%/MV | Friction<br>MPa | PorePress<br>MPa |
|---------------------|------------------|-------------------|------------------|-----------------|------------------|
| 0,000               | 0,000            | 0,000             | 0,000            | 0,000           | 0,000            |
| 5,014               | 5,056            | -0,042            | -0,837           | 0,000           | 0,000            |
| 10,040              | 10,114           | -0,074            | -0,737           | 0,000           | 0,000            |
| 15,039              | 15,128           | -0,089            | -0,591           | 0,000           | 0,000            |
| 20,007              | 20,101           | -0,094            | -0,469           | 0,001           | 0,000            |
| 25,034              | 25,119           | -0,085            | -0,339           | 0,001           | 0,000            |
| 30,033              | 30,093           | -0,060            | -0,199           | 0,002           | 0,000            |
| 35,041              | 35,065           | -0,024            | -0,068           | 0,002           | -0,001           |
| 40,034              | 40,011           | 0,023             | 0,057            | 0,002           | -0,001           |
| 45,011              | 44,935           | 0,076             | 0,168            | 0,003           | -0,001           |
| 50,029              | 49,885           | 0,144             | 0,287            | 0,003           | -0,001           |
| 45,042              | 44,965           | 0,077             | 0,171            | 0,002           | 0,000            |
| 40,000              | 39,980           | 0,020             | 0,050            | 0,001           | 0,000            |
| 35,053              | 35,079           | -0,026            | -0,074           | 0,001           | 0,000            |
| 30,024              | 30,084           | -0,060            | -0,199           | 0,001           | 0,000            |
| 25,009              | 25,092           | -0,083            | -0,331           | 0,000           | 0,000            |
| 20,050              | 20,147           | -0,097            | -0,483           | 0,000           | 0,000            |
| 15,015              | 15,104           | -0,089            | -0,592           | 0,000           | 0,000            |
| 10,028              | 10,103           | -0,075            | -0,747           | 0,000           | 0,000            |
| 5,014               | 5,055            | -0,041            | -0,817           | 0,000           | 0,000            |
| 0,000               | -0,004           | 0,004             | 0,000            | 0,000           | 0,000            |



Specialists in  
Geotechnical  
Field Equipment



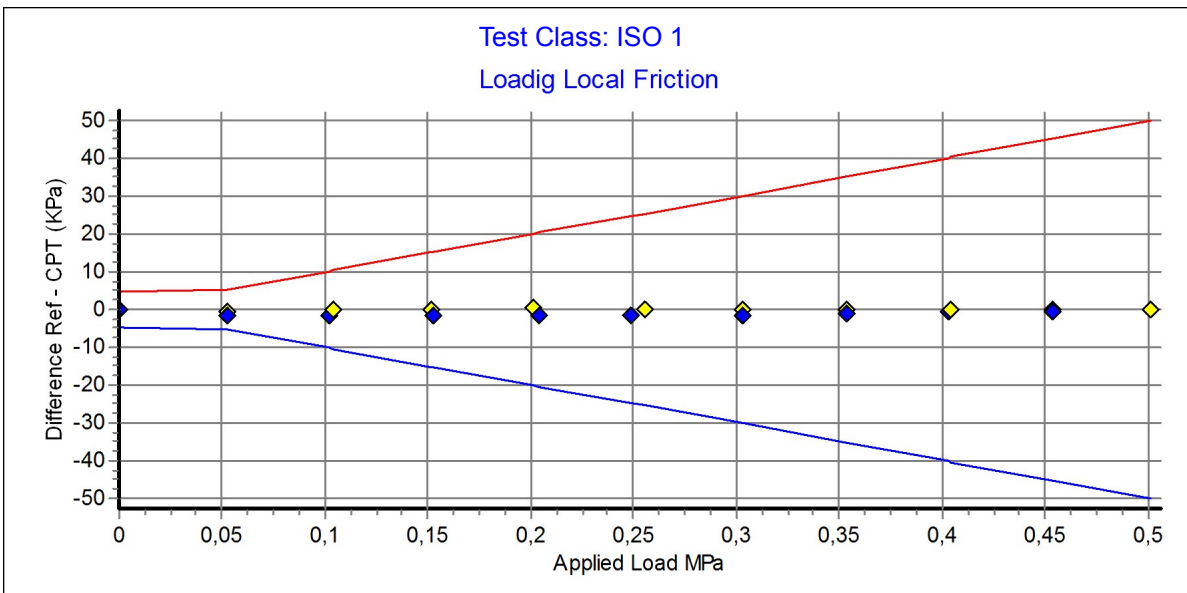
## Calibration Certificate.

## Loading Local Friction

Göteborg:2019-01-15

Probe No: **4742**  
 Date of Calibration: **2019-01-15**  
 Calibration Run No: **971**  
 Calibrated by: **Christoffer Hurtig**  
**Scaling Factor:** **3602**  
 Reference Cell: **76360**

| Ref<br>MPa | Friction<br>MPa | Difference<br>KPa | Accuracy<br>%/MV | PointRes.<br>MPa | PorePress<br>MPa |
|------------|-----------------|-------------------|------------------|------------------|------------------|
| 0,000      | 0,000           | 0,000             | 0,000            | 0,000            | 0,000            |
| 0,052      | 0,052           | -0,338            | 0,000            | 0,004            | 0,000            |
| 0,104      | 0,104           | 0,006             | 0,000            | 0,004            | 0,000            |
| 0,151      | 0,151           | 0,261             | 0,000            | 0,007            | 0,000            |
| 0,201      | 0,200           | 0,328             | 0,163            | 0,005            | 0,000            |
| 0,255      | 0,255           | 0,191             | 0,074            | 0,007            | 0,000            |
| 0,303      | 0,303           | 0,135             | 0,044            | 0,008            | 0,000            |
| 0,353      | 0,353           | 0,083             | 0,023            | 0,008            | 0,000            |
| 0,404      | 0,404           | -0,004            | -0,001           | 0,008            | 0,000            |
| 0,453      | 0,453           | -0,078            | -0,017           | 0,008            | 0,000            |
| 0,501      | 0,501           | -0,137            | -0,027           | 0,009            | 0,000            |
| 0,453      | 0,453           | -0,423            | -0,093           | 0,007            | 0,000            |
| 0,403      | 0,403           | -0,780            | -0,193           | 0,005            | 0,000            |
| 0,353      | 0,354           | -1,164            | -0,328           | 0,004            | 0,000            |
| 0,303      | 0,304           | -1,348            | -0,442           | 0,003            | 0,000            |
| 0,249      | 0,251           | -1,611            | -0,642           | 0,002            | 0,000            |
| 0,204      | 0,205           | -1,669            | -0,811           | 0,003            | 0,000            |
| 0,152      | 0,154           | -1,700            | 0,000            | 0,001            | 0,000            |
| 0,102      | 0,104           | -1,582            | 0,000            | 0,000            | 0,000            |
| 0,052      | 0,053           | -1,583            | 0,000            | 0,000            | 0,000            |
| 0,000      | 0,000           | -0,190            | 0,000            | -0,002           | 0,000            |



Specialists in  
Geotechnical  
Field Equipment



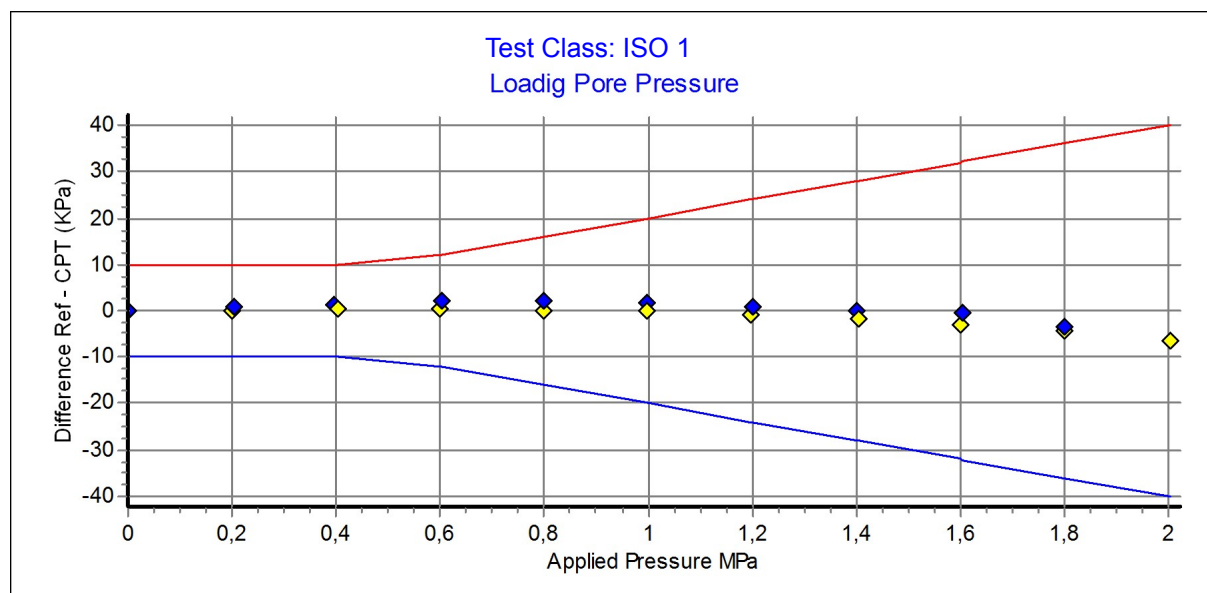
## Calibration Certificate.

## Loading Pore Pressure

Göteborg:2019-01-15

Probe No: **4742**  
 Date of Calibration: **2019-01-15**  
 Calibration Run No: **971**  
 Calibrated by: **Christoffer Hurtig**  
**Scaling Factor:** **3646**  
 Reference Cell: **44410026**

| Appl. Press<br>MPa | PorePress<br>MPa | Difference<br>KPa | Accuracy<br>%/MV | PointRes.<br>MPa | Friction<br>MPa | Area Factor<br>A = PR/PP | Area Factor<br>B = LF/PP |
|--------------------|------------------|-------------------|------------------|------------------|-----------------|--------------------------|--------------------------|
| 0,000              | 0,000            | 0,100             | 0,000            | 0,000            | 0,000           |                          |                          |
| 0,200              | 0,200            | 0,100             | 0,042            | 0,159            | 0,000           | 0,795                    | 0,000                    |
| 0,404              | 0,404            | 0,248             | 0,061            | 0,333            | 0,000           | 0,824                    | 0,000                    |
| 0,600              | 0,599            | 0,487             | 0,081            | 0,502            | 0,000           | 0,838                    | 0,000                    |
| 0,797              | 0,797            | 0,137             | 0,017            | 0,674            | 0,000           | 0,845                    | 0,000                    |
| 0,999              | 0,999            | -0,142            | -0,014           | 0,849            | 0,000           | 0,849                    | 0,000                    |
| 1,197              | 1,198            | -0,649            | -0,054           | 1,021            | 0,000           | 0,852                    | 0,000                    |
| 1,404              | 1,406            | -1,715            | -0,122           | 1,199            | 0,000           | 0,852                    | 0,000                    |
| 1,602              | 1,605            | -3,191            | -0,198           | 1,372            | 0,000           | 0,854                    | 0,000                    |
| 1,800              | 1,804            | -4,428            | -0,245           | 1,543            | 0,000           | 0,855                    | 0,000                    |
| 2,003              | 2,010            | -6,523            | -0,324           | 1,721            | 0,000           | 0,856                    | 0,000                    |
| 1,801              | 1,804            | -3,288            | -0,182           | 1,543            | 0,000           | 0,855                    | 0,000                    |
| 1,605              | 1,606            | -0,611            | -0,038           | 1,372            | 0,000           | 0,854                    | 0,000                    |
| 1,401              | 1,401            | -0,180            | -0,012           | 1,200            | 0,000           | 0,856                    | 0,000                    |
| 1,201              | 1,201            | 0,909             | 0,075            | 1,028            | 0,000           | 0,856                    | 0,000                    |
| 0,998              | 0,996            | 1,614             | 0,162            | 0,852            | 0,000           | 0,855                    | 0,000                    |
| 0,800              | 0,798            | 2,181             | 0,273            | 0,681            | 0,000           | 0,853                    | 0,000                    |
| 0,602              | 0,600            | 2,193             | 0,365            | 0,508            | 0,000           | 0,846                    | 0,000                    |
| 0,397              | 0,396            | 1,209             | 0,305            | 0,332            | 0,000           | 0,838                    | 0,000                    |
| 0,202              | 0,201            | 1,074             | 0,534            | 0,164            | 0,000           | 0,815                    | 0,000                    |
| 0,000              | 0,000            | 0,167             | 0,000            | -0,001           | 0,000           |                          |                          |



Specialists in  
Geotechnical  
Field Equipment



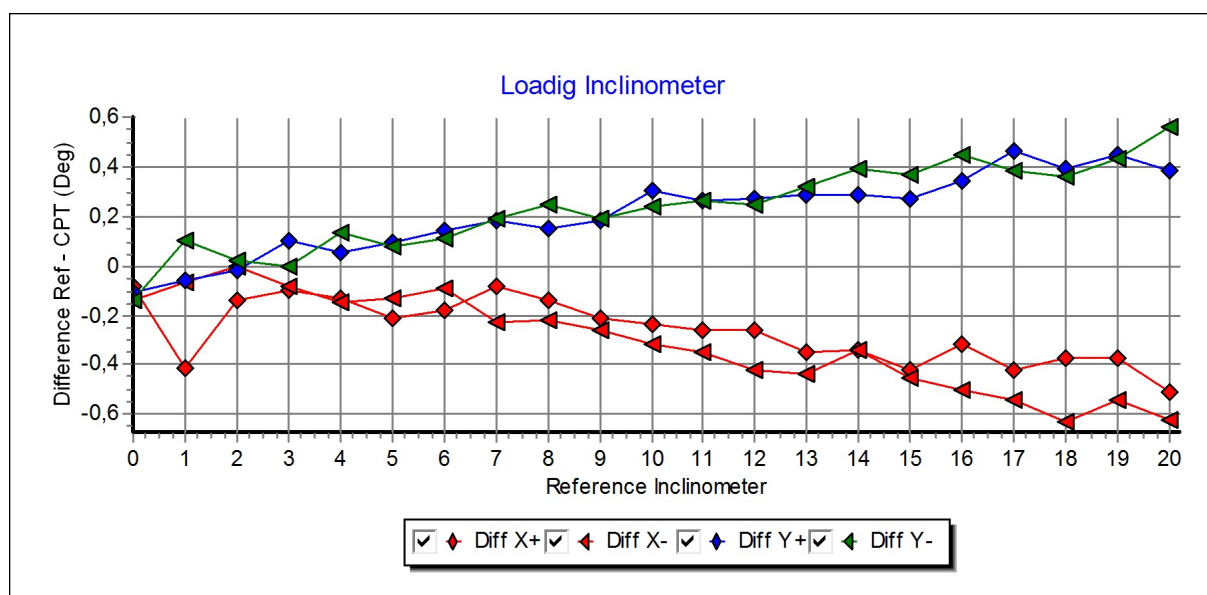
## Calibration Certificate.

## Loading Inclinometer

Göteborg:2019-01-15

Probe No: **4742**  
 Date of Calibration: **2019-01-15**  
 Calibration Run No: **971**  
 Calibrated by: **Christoffer Hurtig**  
**Scaling Factor:** **0,94**

| Appl. Incin.<br>Deg | X+<br>Deg | X-<br>Deg | Y+<br>Deg | Y-<br>Deg | Diff X+<br>Deg | Diff X-<br>Deg | Diff Y+<br>Deg | Diff Y-<br>Deg |
|---------------------|-----------|-----------|-----------|-----------|----------------|----------------|----------------|----------------|
| 0,00                | 0,08      | 0,14      | 0,11      | 0,14      | -0,08          | -0,14          | -0,11          | -0,14          |
| 1,00                | 1,41      | 1,07      | 1,06      | 0,90      | -0,41          | -0,07          | -0,06          | 0,10           |
| 2,00                | 2,14      | 2,00      | 2,02      | 1,98      | -0,14          | 0,00           | -0,02          | 0,02           |
| 3,00                | 3,10      | 3,08      | 2,90      | 3,00      | -0,10          | -0,08          | 0,10           | 0,00           |
| 4,00                | 4,13      | 4,15      | 3,95      | 3,87      | -0,13          | -0,15          | 0,05           | 0,13           |
| 5,00                | 5,21      | 5,13      | 4,91      | 4,92      | -0,21          | -0,13          | 0,09           | 0,08           |
| 6,00                | 6,18      | 6,09      | 5,86      | 5,89      | -0,18          | -0,09          | 0,14           | 0,11           |
| 7,00                | 7,08      | 7,23      | 6,82      | 6,81      | -0,08          | -0,23          | 0,18           | 0,19           |
| 8,00                | 8,14      | 8,22      | 7,85      | 7,75      | -0,14          | -0,22          | 0,15           | 0,25           |
| 9,00                | 9,21      | 9,26      | 8,82      | 8,81      | -0,21          | -0,26          | 0,18           | 0,19           |
| 10,00               | 10,24     | 10,32     | 9,70      | 9,76      | -0,24          | -0,32          | 0,30           | 0,24           |
| 11,00               | 11,26     | 11,35     | 10,74     | 10,74     | -0,26          | -0,35          | 0,26           | 0,26           |
| 12,00               | 12,26     | 12,42     | 11,73     | 11,75     | -0,26          | -0,42          | 0,27           | 0,25           |
| 13,00               | 13,35     | 13,44     | 12,71     | 12,68     | -0,35          | -0,44          | 0,29           | 0,32           |
| 14,00               | 14,34     | 14,34     | 13,71     | 13,61     | -0,34          | -0,34          | 0,29           | 0,39           |
| 15,00               | 15,42     | 15,45     | 14,73     | 14,63     | -0,42          | -0,45          | 0,27           | 0,37           |
| 16,00               | 16,32     | 16,50     | 15,66     | 15,55     | -0,32          | -0,50          | 0,34           | 0,45           |
| 17,00               | 17,42     | 17,54     | 16,54     | 16,62     | -0,42          | -0,54          | 0,46           | 0,38           |
| 18,00               | 18,37     | 18,63     | 17,61     | 17,64     | -0,37          | -0,63          | 0,39           | 0,36           |
| 19,00               | 19,37     | 19,54     | 18,55     | 18,57     | -0,37          | -0,54          | 0,45           | 0,43           |
| 20,00               | 20,51     | 20,62     | 19,62     | 19,44     | -0,51          | -0,62          | 0,38           | 0,56           |



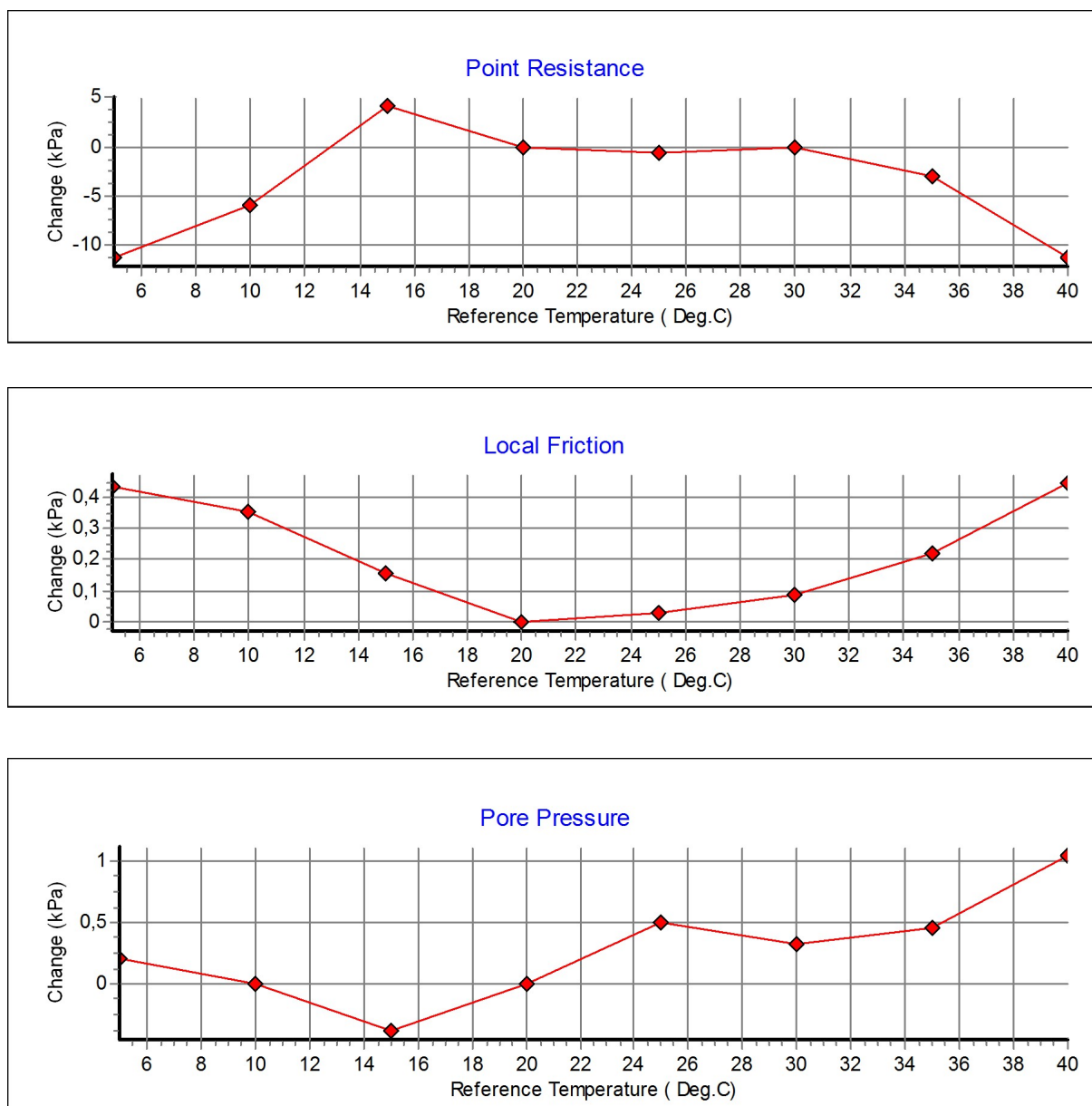
Specialists in  
Geotechnical  
Field Equipment



# Calibration of temperature effect when not loaded.

Göteborg:2019-01-15

Probe No: **4742**  
Date of Calibration: **2019-01-15**  
Calibration Run No: **971**  
Calibrated by: **Christoffer Hurtig**



Specialists in  
Geotechnical  
Field Equipment



## **Calibration procedure.**

Göteborg: 2019-01-15

We are following the procedure that is described in the European Standard **EN ISO22476-1:**

### **Point resistance.**

The point resistance is calibrated from 0 to maximum range in 10 steps up and down. Then we adjust the calibration factor to fit the best linearity.

### **Local friction.**

A special adapter unit substitutes the cone and transfers the axial forces to the lower end of the friction sleeve. The friction is calibrated from 0 to maximum range in 10 steps up and down then the sleeve is turned 90 degrees and the calibration repeated.

Then we adjust the calibration factor to fit the best linearity.

### **Pore pressure & Area ratio a and b.**

The completed probe is installed in a special chamber and the pore pressure sensor are calibrated from 0 to maximum range in 10 step up and down.

Then we adjust the calibration factor to fit the best linearity.

At half range the pressure of the point and friction is registered and used for calculation of the area factor.

### **Tilt inclination.**

The tilt sensor is calibrated +/- 20deg. from vertical line in steps of 1 deg. This will be done in 2 orthogonal directions.

### **Temperature.**

The temperature sensor are calibrated in steps of 5°C from 5 to 40 °C.

### **Temperature compensation.**

The Point, Friction and the Pore pressure sensors in the probe is temperature compensated and tested in the range 5 to 40 °C.

## **Calibration reference equipment.**

|           |                 |                              |
|-----------|-----------------|------------------------------|
| Reference | Load cell       | HBM C2/100kN FB088 no.N75672 |
| Reference | Load cell       | HBM C2/20kN FB088 no.N76360  |
| Reference | Pressure sensor | HBM P3MB 1MPa no.160410072   |
| Reference | Pressure sensor | HBM P3MB 2MPa no.44410026    |
| Reference | Pressure sensor | HBM P3MB 50MPa no.140510158  |

The reference sensors are connected to the Geotech black box together with the CPT probe. The measuring data from the reference sensors are simultaneously send to the computer and stored in the Geotech calibration software. The completed systems are recalibrated at RISE Research Institutes of Sweden once a year.

Environment.

Air pressure: 1026,2 hPa.

Temperature: 22,0 °C.

# Cptlog Cone data base information

Göteborg: 2019-01-15

**Cone name**

4742

**Serial number**

4742

**Date of purchase**

User.

**Ranges**

Point resistance

50 (Mpa)

**Geometric parameters****Scaling factors**

Point resistance

1295

Local friction

0,5 (Mpa)

Area factor a

0,852

Local friction

3602

Pore pressure

2 (Mpa)

Tip area

10 (cm<sup>2</sup>)

Pore pressure

3646

Tilt sensor

40 (Deg)

Sleeve area

150 (cm<sup>2</sup>)

Tilt sensor

0,94

temperature

©

temperature

1

Elect. Conductivity

(mS/m)

Elect. Conductivity A

**Type**

NOVA cone

Elect. Conductivity B

**Memory option**

With memory



# KALIBRERINGSERTIFIKAT FÖR BANDVAGN

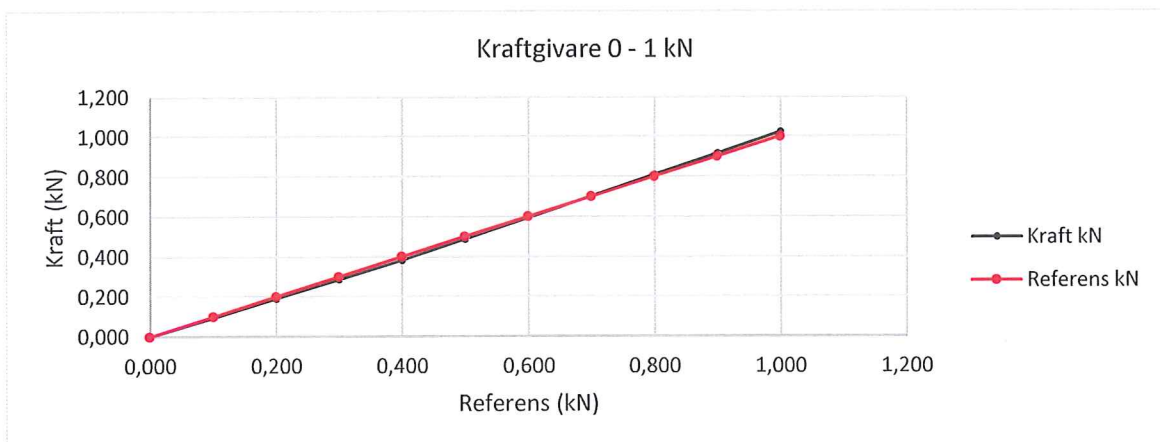
**10424**

## Kraftgivare 0 - 1 kN

Bandvagn nr: 10424  
Datum för kalibrering: 2018-06-18  
Kalibrerad av: Ove Karlsson  
Referensgivare: 035030019

**Kraftkonstant:** 1,19

| Referens | Kraft | Differens | Noggrannhet |
|----------|-------|-----------|-------------|
| kN       | kN    | kN        | %           |
| 0,000    | 0,000 | 0,000     | 0,000       |
| 0,100    | 0,095 | 0,005     | 4,800       |
| 0,200    | 0,190 | 0,010     | 4,800       |
| 0,300    | 0,286 | 0,014     | 4,800       |
| 0,400    | 0,381 | 0,019     | 4,800       |
| 0,500    | 0,488 | 0,012     | 2,420       |
| 0,600    | 0,595 | 0,005     | 0,833       |
| 0,700    | 0,702 | -0,002    | -0,300      |
| 0,800    | 0,809 | -0,009    | -1,150      |
| 0,900    | 0,916 | -0,016    | -1,811      |
| 1,000    | 1,023 | -0,023    | -2,340      |





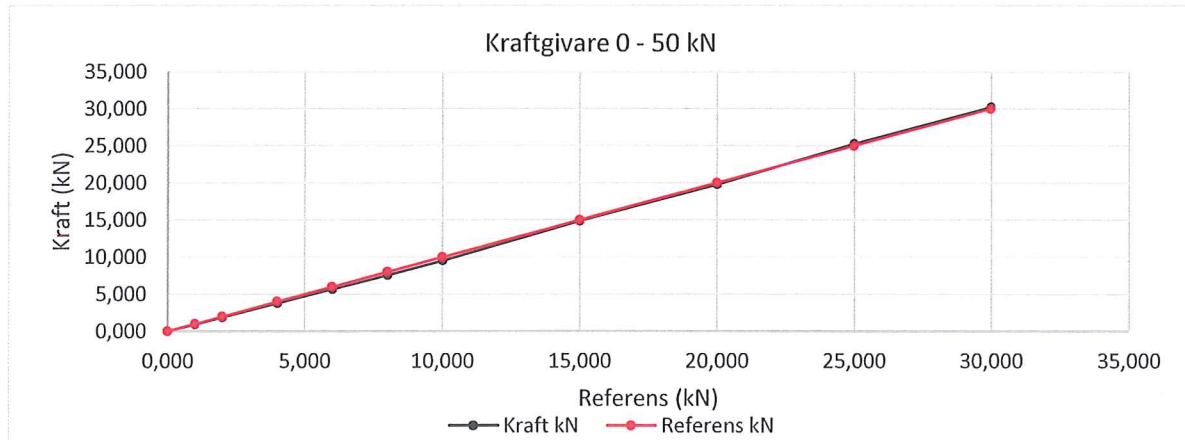
KALIBRERINGSERTIFIKAT FÖR BANDVAGN  
Kraftgivare 0 - 50 kN

10424

Bandvagn nr: 10424  
Datum för kalibrering: 2018-06-18  
Kalibrerad av: Ove Karlsson  
Referensgivare: 035030019

Kraftkonstant: 1,08 Maxkraft: 30,262

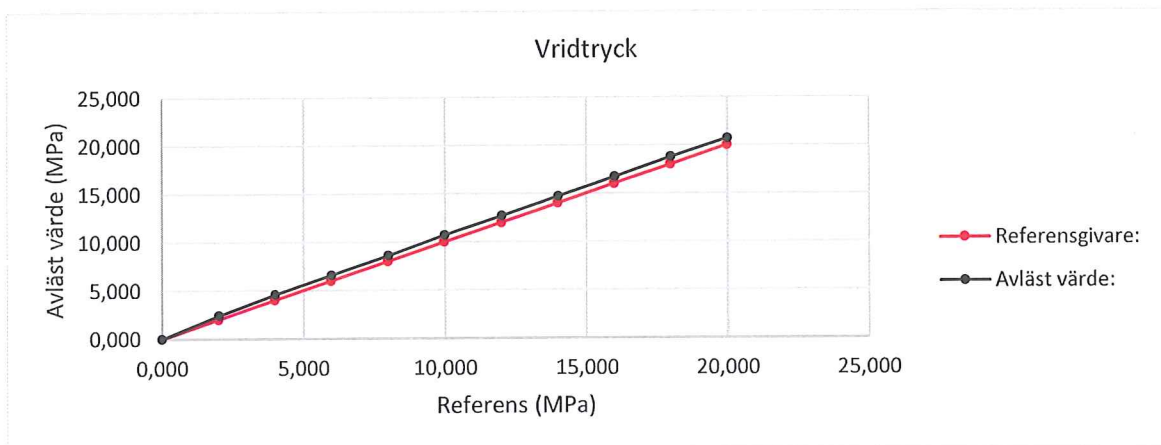
| Referens<br>kN | Kraft<br>kN | Differens<br>kN | Noggrannhet<br>% |
|----------------|-------------|-----------------|------------------|
| 0,000          | 0,000       | 0,000           | 0,000            |
| 1,000          | 0,929       | 0,071           | 7,120            |
| 2,000          | 1,879       | 0,121           | 6,040            |
| 4,000          | 3,769       | 0,231           | 5,770            |
| 6,000          | 5,648       | 0,352           | 5,860            |
| 8,000          | 7,571       | 0,429           | 5,365            |
| 10,000         | 9,504       | 0,496           | 4,960            |
| 15,000         | 14,850      | 0,150           | 1,000            |
| 20,000         | 19,764      | 0,236           | 1,180            |
| 25,000         | 25,304      | -0,304          | -1,218           |
| 30,000         | 30,262      | -0,262          | -0,872           |



**KALIBRERINGSCERTIFIKAT FÖR BANDVAGN**
**10424**
**Tryckgivare 25 MPa**
**Vridtryck**

Bandvagn nr: 10424  
 Datum för kalibrering: 2018-06-18  
 Kalibrerad av: Ove Karlsson  
 Referensgivare: 0

| Referens | Vridtryck | Differens | Noggrannhet |
|----------|-----------|-----------|-------------|
| Mpa      | Mpa       | kN        | %           |
| 0,000    | 0,000     | 0,000     | 0,000       |
| 2,000    | 2,400     | -0,400    | -20,000     |
| 4,000    | 4,600     | -0,600    | -15,000     |
| 6,000    | 6,600     | -0,600    | -10,000     |
| 8,000    | 8,600     | -0,600    | -7,500      |
| 10,000   | 10,700    | -0,700    | -7,000      |
| 12,000   | 12,700    | -0,700    | -5,833      |
| 14,000   | 14,700    | -0,700    | -5,000      |
| 16,000   | 16,700    | -0,700    | -4,375      |
| 18,000   | 18,800    | -0,800    | -4,444      |
| 20,000   | 20,700    | -0,700    | -3,500      |





# KALIBRERINGSERTIFIKAT FÖR BANDVAGN

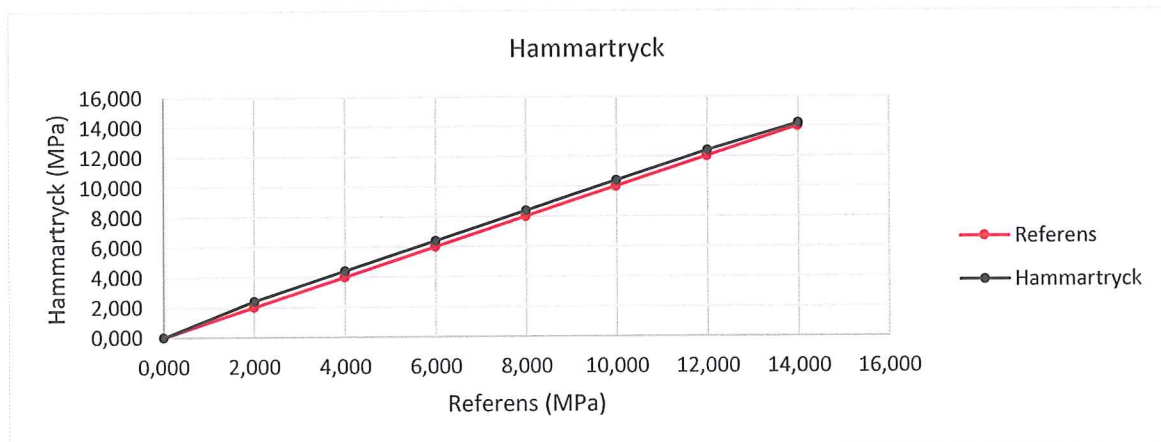
10424

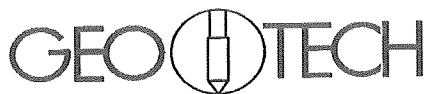
Tryckgivare 25 MPa

Hammartryck

Bandvagn nr: 10424  
Datum för kalibrering: 2018-06-18  
Kalibrerad av: Ove Karlsson  
Referensgivare: 0

| Referens<br>Mpa | Hammartryck<br>Mpa | Differens<br>kN | Noggrannhet<br>% |
|-----------------|--------------------|-----------------|------------------|
| 0,000           | 0,000              | 0,000           | 0,000            |
| 2,000           | 2,400              | -0,400          | -20,000          |
| 4,000           | 4,400              | -0,400          | -10,000          |
| 6,000           | 6,400              | -0,400          | -6,667           |
| 8,000           | 8,400              | -0,400          | -5,000           |
| 10,000          | 10,400             | -0,400          | -4,000           |
| 12,000          | 12,400             | -0,400          | -3,333           |
| 14,000          | 14,200             | -0,200          | -1,429           |





## KALIBRERINGSCERTIFIKAT FÖR BANDVAGN

**10424**

### Djupmätare och H/V-givare

Bandvagn nr: 10424  
Datum för kalibrering: 2018-06-18  
Kalibrerad av: Ove Karlsson

#### Djupmätare

1 meter= 1 m

#### H/V-givare

Ventilsida: 20 H/V = 20 H/V

## KOORDINATFÖRTECKNING UNDERSÖKNINGSPUNKTER

Koordinatsystem: SWEREF 99 18 00

Höjdsystem: RH2000

| Punktid | X            | Y           | Z       | Typ |
|---------|--------------|-------------|---------|-----|
| 19SG101 | 6572335.1493 | 156842.7738 | 29.3056 | BH  |
| 19SG102 | 6572358.0990 | 156867.5470 | 29.2980 | BH  |
| SG1120  | 6572358.0990 | 156867.5470 | 29.2980 | GVR |
| 19SG103 | 6572313.2340 | 156856.4590 | 28.4220 | BH  |
| 19SG104 | 6572322.0326 | 156881.1939 | 29.2050 | BH  |
| 19SG105 | 6572341.6850 | 156894.0900 | 29.6960 | BH  |
| 19SG106 | 6572306.7383 | 156871.7030 | 28.8636 | BH  |
| 19SG107 | 6572293.2160 | 156872.2990 | 28.3010 | BH  |
| 19SG108 | 6572306.6360 | 156889.0480 | 28.9360 | BH  |
| 19SG109 | 6572273.7800 | 156889.2990 | 28.3130 | BH  |
| SG1122  | 6572273.7800 | 156889.2990 | 28.3130 | GVR |
| 19SG110 | 6572283.4465 | 156903.7979 | 28.3870 | BH  |
| 19SG111 | 6572252.3330 | 156906.6550 | 28.0920 | BH  |
| 19SG112 | 6572264.5937 | 156923.5989 | 28.7820 | BH  |
| 19SG113 | 6572235.7580 | 156915.3259 | 28.1350 | BH  |
| 19SG114 | 6572224.2130 | 156995.4860 | 29.8980 | BH  |
| 19SG115 | 6572181.6265 | 156963.7093 | 28.9943 | BH  |
| 19SG116 | 6572188.9000 | 156991.6220 | 30.0820 | BH  |
| 19SG117 | 6572163.9756 | 156976.7194 | 28.6381 | BH  |
| 19SG118 | 6572171.2270 | 156984.1910 | 29.0370 | BH  |
| 19SG119 | 6572189.7167 | 157017.1549 | 31.8586 | BH  |
| 19SG120 | 6572100.8475 | 157027.8874 | 27.7591 | BH  |
| 19SG121 | 6572116.6370 | 157068.0580 | 27.9090 | BH  |
|         |              |             |         |     |
| 18SG101 | 6572151.1209 | 156987.6694 | 28.8355 | BH  |
| 18SG102 | 6572135.1671 | 157001.3242 | 29.1062 | BH  |
| 18SG103 | 6572120.2534 | 157013.1280 | 28.6914 | BH  |
| 18SG104 | 6572100.8610 | 157027.8800 | 27.7500 | BH  |
| 18SG105 | 6572106.9270 | 157052.6300 | 28.1020 | BH  |
| 18SG106 | 6572116.5655 | 157068.0350 | 27.8937 | BH  |
| 18SG107 | 6572159.0658 | 156997.3334 | 28.7604 | BH  |
| 18SG108 | 6572143.4675 | 157010.1927 | 29.9857 | BH  |
| 18SG109 | 6572127.8783 | 157023.0688 | 29.5330 | BH  |
| 18SG110 | 6572123.1780 | 157045.8470 | 28.2950 | BH  |
| 18SG111 | 6572126.4751 | 157062.1320 | 28.7661 | BH  |
| 18SG112 | 6572143.7294 | 157061.1041 | 28.2933 | BH  |
| SG1079  | 6572143.7290 | 157061.1040 | 28.2930 | GVR |
| 18SG113 | 6572122.4184 | 157073.9436 | 28.0702 | BH  |

STRUCTOR GEOTEKNIK STOCKHOLM AB

Solnavägen 4, 113 65 Stockholm

Teléfono: 08-545 556 30

[www.structor.se](http://www.structor.se), Instagram, Facebook, LinkedIn

Organisationsnummer: 556959-1117

K:\G19023 Gamla Tyresövägen 4 kvarter\G\Dokument\Bilagor MUR\Bilaga 3 Koordinatförteckning undersökningspunkter.docx

|         |              |             |         |    |
|---------|--------------|-------------|---------|----|
| 18SG114 | 6572152.1535 | 157075.0466 | 28.9106 | BH |
| 18SG115 | 6572130.9504 | 157086.9456 | 28.6636 | BH |
| 18SG116 | 6572182.0804 | 157041.5497 | 28.6728 | BH |
| 18SG117 | 6572164.8690 | 157053.0717 | 28.2152 | BH |
| 18SG118 | 6572163.8720 | 157018.6833 | 30.1761 | BH |
| 18SG119 | 6572146.6287 | 157027.7546 | 30.1186 | BH |

# GEOTEKNISKA LABORATORIEUNDERSÖKNINGAR



**Uppdrag** G19025 Gamla Tyresövägen  
**Kund** Structor

|              |            |
|--------------|------------|
| Utrustning   | Skr        |
| Provtagning  | 2019-07-01 |
| Prover inkom | 2019-07-03 |

|                   |                 |
|-------------------|-----------------|
| Utförd            | 2019-07-04 / JG |
| Granskad          | 2019-07-09 / MG |
| Prov. till provn. | 3 dygn          |

För teckenförklaring och information om standarder, se [www.labmind.se/metoder](http://www.labmind.se/metoder)

*Materialtyp och tjälfarligehetsklass enligt AMA Apläggnings 13*

ANM

## 1) Möjlig fyllning

# Rapport

Sida 1 (11)



T1923952

1QVRHNY24QP



Ankomstdatum **2019-07-05**  
 Utfärdad **2019-07-23**

**Structor Geoteknik Stockholm AB**  
**Rögin Ramak**

**Solnavägen 4**  
**113 65 Stockholm**  
**Sweden**

Projekt **G19025 Gamla Tyresövägen**  
 Bestnr **G19025**

## Analys av fast prov

| Er beteckning          | <b>19SG102</b>      |                     |          |       |     |      |
|------------------------|---------------------|---------------------|----------|-------|-----|------|
|                        | <b>0-0.4</b>        |                     |          |       |     |      |
| Provtagare             | <b>Filip Nordén</b> |                     |          |       |     |      |
| Provtagningsdatum      | <b>2019-07-03</b>   |                     |          |       |     |      |
| Labnummer              | <b>O11161988</b>    |                     |          |       |     |      |
| Parameter              | Resultat            | Osäkerhet ( $\pm$ ) | Enhet    | Metod | Utf | Sign |
| Soilpack-2             | -----               |                     |          | 1     | O   | STGR |
| TS_105°C               | <b>94.8</b>         | 5.72                | %        | 2     | 1   | STGR |
| naftalen               | <b>&lt;0.010</b>    |                     | mg/kg TS | 2     | 1   | STGR |
| acenaftylen            | <b>&lt;0.010</b>    |                     | mg/kg TS | 2     | 1   | STGR |
| acenaften              | <b>&lt;0.010</b>    |                     | mg/kg TS | 2     | 1   | STGR |
| fluoren                | <b>&lt;0.010</b>    |                     | mg/kg TS | 2     | 1   | STGR |
| fenantren              | <b>0.070</b>        | 0.021               | mg/kg TS | 2     | 1   | STGR |
| antracen               | <b>0.023</b>        | 0.007               | mg/kg TS | 2     | 1   | STGR |
| fluoranten             | <b>0.335</b>        | 0.100               | mg/kg TS | 2     | 1   | STGR |
| pyren                  | <b>0.252</b>        | 0.076               | mg/kg TS | 2     | 1   | STGR |
| bens(a)antracen        | <b>0.175</b>        | 0.053               | mg/kg TS | 2     | 1   | STGR |
| krysen                 | <b>0.174</b>        | 0.052               | mg/kg TS | 2     | 1   | STGR |
| bens(b)fluoranten      | <b>0.275</b>        | 0.083               | mg/kg TS | 2     | 1   | STGR |
| bens(k)fluoranten      | <b>0.115</b>        | 0.034               | mg/kg TS | 2     | 1   | STGR |
| bens(a)pyren           | <b>0.172</b>        | 0.052               | mg/kg TS | 2     | 1   | STGR |
| dibens(ah)antracen     | <b>0.035</b>        | 0.010               | mg/kg TS | 2     | 1   | STGR |
| benso(ghi)perylen      | <b>0.116</b>        | 0.035               | mg/kg TS | 2     | 1   | STGR |
| indeno(123cd)pyren     | <b>0.112</b>        | 0.034               | mg/kg TS | 2     | 1   | STGR |
| PAH, summa 16          | <b>1.85</b>         |                     | mg/kg TS | 2     | 1   | STGR |
| PAH, summa cancerogena | <b>1.06</b>         |                     | mg/kg TS | 2     | 1   | STGR |
| PAH, summa övriga      | <b>0.796</b>        |                     | mg/kg TS | 2     | 1   | STGR |
| PAH, summa L           | <b>&lt;0.0150</b>   |                     | mg/kg TS | 2     | 1   | STGR |
| PAH, summa M           | <b>0.680</b>        |                     | mg/kg TS | 2     | 1   | STGR |
| PAH, summa H           | <b>1.17</b>         |                     | mg/kg TS | 2     | 1   | STGR |
| oljeindex >C10-<C40    | <b>41</b>           | 12                  | mg/kg TS | 2     | 1   | STGR |
| fraktion >C10-C12      | <b>&lt;2.0</b>      |                     | mg/kg TS | 2     | 1   | STGR |
| fraktion >C12-C16      | <b>&lt;3.0</b>      |                     | mg/kg TS | 2     | 1   | STGR |
| fraktion >C16-C35      | <b>31</b>           | 9                   | mg/kg TS | 2     | 1   | STGR |
| fraktion >C35-<C40     | <b>10.0</b>         | 3.0                 | mg/kg TS | 2     | 1   | STGR |
| TS_105°C               | <b>92.7</b>         | 2.0                 | %        | 3     | V   | STGR |
| As                     | <b>1.61</b>         | 0.50                | mg/kg TS | 3     | H   | STGR |
| Cd                     | <b>&lt;0.008</b>    |                     | mg/kg TS | 3     | H   | STGR |
| Co                     | <b>5.16</b>         | 1.25                | mg/kg TS | 3     | H   | STGR |

# Rapport

Sida 2 (11)



T1923952

1QVRHNY24QP



Er beteckning **19SG102**  
**0-0.4**  
Provtagare **Filip Nordén**  
Provtagningsdatum **2019-07-03**

Labnummer **O11161988**

| Parameter | Resultat        | Osäkerhet ( $\pm$ ) | Enhet    | Metod | Utf | Sign |
|-----------|-----------------|---------------------|----------|-------|-----|------|
| Cr        | <b>17.6</b>     | 3.5                 | mg/kg TS | 3     | H   | STGR |
| Cu        | <b>11.7</b>     | 2.5                 | mg/kg TS | 3     | H   | STGR |
| Hg        | <b>&lt;0.03</b> |                     | mg/kg TS | 3     | H   | STGR |
| Ni        | <b>10.1</b>     | 2.8                 | mg/kg TS | 3     | H   | STGR |
| Pb        | <b>12.6</b>     | 2.6                 | mg/kg TS | 3     | H   | STGR |
| V         | <b>19.7</b>     | 4.2                 | mg/kg TS | 3     | H   | STGR |
| Zn        | <b>45.2</b>     | 8.5                 | mg/kg TS | 3     | H   | STGR |

# Rapport

Sida 3 (11)



T1923952

1QVRHNY24QP



| Er beteckning          | <b>19SG105</b>      |                     |          |       |     |      |
|------------------------|---------------------|---------------------|----------|-------|-----|------|
|                        | <b>0-0.6</b>        |                     |          |       |     |      |
| Provtagare             | <b>Filip Nordén</b> |                     |          |       |     |      |
| Provtagningsdatum      | <b>2019-07-03</b>   |                     |          |       |     |      |
| Labnummer              | <b>O11161989</b>    |                     |          |       |     |      |
| Parameter              | Resultat            | Osäkerhet ( $\pm$ ) | Enhet    | Metod | Utf | Sign |
| Soilpack-2             | -----               |                     |          | 1     | O   | STGR |
| TS_105°C               | <b>88.3</b>         | 5.33                | %        | 2     | 1   | STGR |
| naftalen               | <b>&lt;0.010</b>    |                     | mg/kg TS | 2     | 1   | STGR |
| acenaftylen            | <b>&lt;0.010</b>    |                     | mg/kg TS | 2     | 1   | STGR |
| acenaften              | <b>&lt;0.010</b>    |                     | mg/kg TS | 2     | 1   | STGR |
| fluoren                | <b>&lt;0.010</b>    |                     | mg/kg TS | 2     | 1   | STGR |
| fenantren              | <b>&lt;0.010</b>    |                     | mg/kg TS | 2     | 1   | STGR |
| antracen               | <b>&lt;0.010</b>    |                     | mg/kg TS | 2     | 1   | STGR |
| fluoranten             | <b>&lt;0.010</b>    |                     | mg/kg TS | 2     | 1   | STGR |
| pyren                  | <b>&lt;0.010</b>    |                     | mg/kg TS | 2     | 1   | STGR |
| bens(a)antracen        | <b>&lt;0.010</b>    |                     | mg/kg TS | 2     | 1   | STGR |
| krysen                 | <b>&lt;0.010</b>    |                     | mg/kg TS | 2     | 1   | STGR |
| bens(b)fluoranten      | <b>&lt;0.010</b>    |                     | mg/kg TS | 2     | 1   | STGR |
| bens(k)fluoranten      | <b>&lt;0.010</b>    |                     | mg/kg TS | 2     | 1   | STGR |
| bens(a)pyren           | <b>&lt;0.010</b>    |                     | mg/kg TS | 2     | 1   | STGR |
| dibens(ah)antracen     | <b>&lt;0.010</b>    |                     | mg/kg TS | 2     | 1   | STGR |
| benso(ghi)perylen      | <b>&lt;0.010</b>    |                     | mg/kg TS | 2     | 1   | STGR |
| indeno(123cd)pyren     | <b>&lt;0.010</b>    |                     | mg/kg TS | 2     | 1   | STGR |
| PAH, summa 16          | <b>&lt;0.080</b>    |                     | mg/kg TS | 2     | 1   | STGR |
| PAH, summa cancerogena | <b>&lt;0.0350</b>   |                     | mg/kg TS | 2     | 1   | STGR |
| PAH, summa övriga      | <b>&lt;0.0450</b>   |                     | mg/kg TS | 2     | 1   | STGR |
| PAH, summa L           | <b>&lt;0.0150</b>   |                     | mg/kg TS | 2     | 1   | STGR |
| PAH, summa M           | <b>&lt;0.0250</b>   |                     | mg/kg TS | 2     | 1   | STGR |
| PAH, summa H           | <b>&lt;0.040</b>    |                     | mg/kg TS | 2     | 1   | STGR |
| oljeindex >C10-<C40    | <b>49</b>           | 15                  | mg/kg TS | 2     | 1   | STGR |
| fraktion >C10-C12      | <b>&lt;2.0</b>      |                     | mg/kg TS | 2     | 1   | STGR |
| fraktion >C12-C16      | <b>&lt;3.0</b>      |                     | mg/kg TS | 2     | 1   | STGR |
| fraktion >C16-C35      | <b>40</b>           | 12                  | mg/kg TS | 2     | 1   | STGR |
| fraktion >C35-<C40     | <b>8.7</b>          | 2.6                 | mg/kg TS | 2     | 1   | STGR |
| TS_105°C               | <b>88.7</b>         | 2.0                 | %        | 3     | V   | STGR |
| As                     | <b>1.63</b>         | 0.48                | mg/kg TS | 3     | H   | STGR |
| Cd                     | <b>&lt;0.009</b>    |                     | mg/kg TS | 3     | H   | STGR |
| Co                     | <b>3.34</b>         | 0.84                | mg/kg TS | 3     | H   | STGR |
| Cr                     | <b>14.9</b>         | 2.9                 | mg/kg TS | 3     | H   | STGR |
| Cu                     | <b>5.89</b>         | 1.24                | mg/kg TS | 3     | H   | STGR |
| Hg                     | <b>0.0465</b>       | 0.0146              | mg/kg TS | 3     | H   | STGR |
| Ni                     | <b>6.29</b>         | 1.65                | mg/kg TS | 3     | H   | STGR |
| Pb                     | <b>7.03</b>         | 1.44                | mg/kg TS | 3     | H   | STGR |
| V                      | <b>16.7</b>         | 3.6                 | mg/kg TS | 3     | H   | STGR |
| Zn                     | <b>36.8</b>         | 6.9                 | mg/kg TS | 3     | H   | STGR |

# Rapport

Sida 4 (11)



T1923952

1QVRHNY24QP



| Er beteckning          | <b>19SG11OF</b>     |                     |          |       |     |      |
|------------------------|---------------------|---------------------|----------|-------|-----|------|
|                        | <b>0-0.6</b>        |                     |          |       |     |      |
| Provtagare             | <b>Filip Nordén</b> |                     |          |       |     |      |
| Provtagningsdatum      | <b>2019-07-03</b>   |                     |          |       |     |      |
| Labnummer              | <b>O11161990</b>    |                     |          |       |     |      |
| Parameter              | Resultat            | Osäkerhet ( $\pm$ ) | Enhet    | Metod | Utf | Sign |
| Soilpack-2             | -----               |                     |          | 1     | O   | STGR |
| TS_105°C               | <b>93.1</b>         | 5.62                | %        | 2     | 1   | STGR |
| naftalen               | <b>&lt;0.010</b>    |                     | mg/kg TS | 2     | 1   | STGR |
| acenaftylen            | <b>&lt;0.010</b>    |                     | mg/kg TS | 2     | 1   | STGR |
| acenaften              | <b>0.014</b>        | 0.004               | mg/kg TS | 2     | 1   | STGR |
| fluoren                | <b>0.013</b>        | 0.004               | mg/kg TS | 2     | 1   | STGR |
| fenantren              | <b>0.221</b>        | 0.066               | mg/kg TS | 2     | 1   | STGR |
| antracen               | <b>0.048</b>        | 0.014               | mg/kg TS | 2     | 1   | STGR |
| fluoranten             | <b>0.499</b>        | 0.150               | mg/kg TS | 2     | 1   | STGR |
| pyren                  | <b>0.393</b>        | 0.118               | mg/kg TS | 2     | 1   | STGR |
| bens(a)antracen        | <b>0.216</b>        | 0.065               | mg/kg TS | 2     | 1   | STGR |
| krysen                 | <b>0.241</b>        | 0.072               | mg/kg TS | 2     | 1   | STGR |
| bens(b)fluoranten      | <b>0.276</b>        | 0.083               | mg/kg TS | 2     | 1   | STGR |
| bens(k)fluoranten      | <b>0.135</b>        | 0.040               | mg/kg TS | 2     | 1   | STGR |
| bens(a)pyren           | <b>0.219</b>        | 0.066               | mg/kg TS | 2     | 1   | STGR |
| dibens(ah)antracen     | <b>0.036</b>        | 0.011               | mg/kg TS | 2     | 1   | STGR |
| benso(ghi)perylen      | <b>0.146</b>        | 0.044               | mg/kg TS | 2     | 1   | STGR |
| indeno(123cd)pyren     | <b>0.156</b>        | 0.047               | mg/kg TS | 2     | 1   | STGR |
| PAH, summa 16          | <b>2.61</b>         |                     | mg/kg TS | 2     | 1   | STGR |
| PAH, summa cancerogena | <b>1.28</b>         |                     | mg/kg TS | 2     | 1   | STGR |
| PAH, summa övriga      | <b>1.33</b>         |                     | mg/kg TS | 2     | 1   | STGR |
| PAH, summa L           | <b>&lt;0.0150</b>   |                     | mg/kg TS | 2     | 1   | STGR |
| PAH, summa M           | <b>1.17</b>         |                     | mg/kg TS | 2     | 1   | STGR |
| PAH, summa H           | <b>1.42</b>         |                     | mg/kg TS | 2     | 1   | STGR |
| oljeindex >C10-<C40    | <b>32</b>           | 9                   | mg/kg TS | 2     | 1   | STGR |
| fraktion >C10-C12      | <b>&lt;2.0</b>      |                     | mg/kg TS | 2     | 1   | STGR |
| fraktion >C12-C16      | <b>&lt;3.0</b>      |                     | mg/kg TS | 2     | 1   | STGR |
| fraktion >C16-C35      | <b>24</b>           | 7                   | mg/kg TS | 2     | 1   | STGR |
| fraktion >C35-<C40     | <b>7.5</b>          | 2.2                 | mg/kg TS | 2     | 1   | STGR |
| TS_105°C               | <b>91.8</b>         | 2.0                 | %        | 3     | V   | STGR |
| As                     | <b>1.95</b>         | 0.55                | mg/kg TS | 3     | H   | STGR |
| Cd                     | <b>0.0278</b>       | 0.0114              | mg/kg TS | 3     | H   | STGR |
| Co                     | <b>11.6</b>         | 2.8                 | mg/kg TS | 3     | H   | STGR |
| Cr                     | <b>56.3</b>         | 11.1                | mg/kg TS | 3     | H   | STGR |
| Cu                     | <b>46.7</b>         | 9.8                 | mg/kg TS | 3     | H   | STGR |
| Hg                     | <b>0.0387</b>       | 0.0144              | mg/kg TS | 3     | H   | STGR |
| Ni                     | <b>26.3</b>         | 6.9                 | mg/kg TS | 3     | H   | STGR |
| Pb                     | <b>19.0</b>         | 3.9                 | mg/kg TS | 3     | H   | STGR |
| V                      | <b>26.7</b>         | 5.7                 | mg/kg TS | 3     | H   | STGR |
| Zn                     | <b>66.4</b>         | 12.5                | mg/kg TS | 3     | H   | STGR |

# Rapport

Sida 5 (11)



T1923952

1QVRHNY24QP



| Er beteckning          | 19SG115      |                     |          |       |     |      |
|------------------------|--------------|---------------------|----------|-------|-----|------|
|                        | 0-0.5        |                     |          |       |     |      |
| Provtagare             | Filip Nordén |                     |          |       |     |      |
| Provtagningsdatum      | 2019-07-03   |                     |          |       |     |      |
| Labnummer              | O11161991    |                     |          |       |     |      |
| Parameter              | Resultat     | Osäkerhet ( $\pm$ ) | Enhet    | Metod | Utf | Sign |
| Soilpack-2             | -----        |                     |          | 1     | O   | STGR |
| TS_105°C               | 93.0         | 5.61                | %        | 2     | 1   | STGR |
| naftalen               | <0.010       |                     | mg/kg TS | 2     | 1   | STGR |
| acenaftylen            | <0.010       |                     | mg/kg TS | 2     | 1   | STGR |
| acenaften              | <0.010       |                     | mg/kg TS | 2     | 1   | STGR |
| fluoren                | <0.010       |                     | mg/kg TS | 2     | 1   | STGR |
| fenantren              | <0.010       |                     | mg/kg TS | 2     | 1   | STGR |
| antracen               | <0.010       |                     | mg/kg TS | 2     | 1   | STGR |
| fluoranten             | <0.010       |                     | mg/kg TS | 2     | 1   | STGR |
| pyren                  | <0.010       |                     | mg/kg TS | 2     | 1   | STGR |
| bens(a)antracen        | <0.010       |                     | mg/kg TS | 2     | 1   | STGR |
| krysen                 | <0.010       |                     | mg/kg TS | 2     | 1   | STGR |
| bens(b)fluoranten      | <0.010       |                     | mg/kg TS | 2     | 1   | STGR |
| bens(k)fluoranten      | <0.010       |                     | mg/kg TS | 2     | 1   | STGR |
| bens(a)pyren           | <0.010       |                     | mg/kg TS | 2     | 1   | STGR |
| dibens(ah)antracen     | <0.010       |                     | mg/kg TS | 2     | 1   | STGR |
| benso(ghi)perylen      | <0.010       |                     | mg/kg TS | 2     | 1   | STGR |
| indeno(123cd)pyren     | <0.010       |                     | mg/kg TS | 2     | 1   | STGR |
| PAH, summa 16          | <0.080       |                     | mg/kg TS | 2     | 1   | STGR |
| PAH, summa cancerogena | <0.0350      |                     | mg/kg TS | 2     | 1   | STGR |
| PAH, summa övriga      | <0.0450      |                     | mg/kg TS | 2     | 1   | STGR |
| PAH, summa L           | <0.0150      |                     | mg/kg TS | 2     | 1   | STGR |
| PAH, summa M           | <0.0250      |                     | mg/kg TS | 2     | 1   | STGR |
| PAH, summa H           | <0.040       |                     | mg/kg TS | 2     | 1   | STGR |
| oljeindex >C10-<C40    | <20          |                     | mg/kg TS | 2     | 1   | STGR |
| fraktion >C10-C12      | <2.0         |                     | mg/kg TS | 2     | 1   | STGR |
| fraktion >C12-C16      | <3.0         |                     | mg/kg TS | 2     | 1   | STGR |
| fraktion >C16-C35      | <10          |                     | mg/kg TS | 2     | 1   | STGR |
| fraktion >C35-<C40     | <5.0         |                     | mg/kg TS | 2     | 1   | STGR |
| TS_105°C               | 92.7         | 2.0                 | %        | 3     | V   | STGR |
| As                     | 1.45         | 0.43                | mg/kg TS | 3     | H   | STGR |
| Cd                     | <0.009       |                     | mg/kg TS | 3     | H   | STGR |
| Co                     | 3.52         | 0.86                | mg/kg TS | 3     | H   | STGR |
| Cr                     | 14.4         | 2.9                 | mg/kg TS | 3     | H   | STGR |
| Cu                     | 5.91         | 1.27                | mg/kg TS | 3     | H   | STGR |
| Hg                     | <0.04        |                     | mg/kg TS | 3     | H   | STGR |
| Ni                     | 5.99         | 1.63                | mg/kg TS | 3     | H   | STGR |
| Pb                     | 6.82         | 1.40                | mg/kg TS | 3     | H   | STGR |
| V                      | 18.3         | 3.9                 | mg/kg TS | 3     | H   | STGR |
| Zn                     | 24.5         | 4.6                 | mg/kg TS | 3     | H   | STGR |

# Rapport

Sida 6 (11)



T1923952

1QVRHNY24QP



| Er beteckning          | 19SG116      |                     |          |       |     |      |
|------------------------|--------------|---------------------|----------|-------|-----|------|
|                        | 0-0.15       |                     |          |       |     |      |
| Provtagare             | Filip Nordén |                     |          |       |     |      |
| Provtagningsdatum      | 2019-07-03   |                     |          |       |     |      |
| Labnummer              | O11161992    |                     |          |       |     |      |
| Parameter              | Resultat     | Osäkerhet ( $\pm$ ) | Enhet    | Metod | Utf | Sign |
| Soilpack-2             | -----        |                     |          | 1     | O   | STGR |
| TS_105°C               | 93.1         | 5.62                | %        | 2     | 1   | STGR |
| naftalen               | <0.010       |                     | mg/kg TS | 2     | 1   | STGR |
| acenaftylen            | <0.010       |                     | mg/kg TS | 2     | 1   | STGR |
| acenaften              | <0.010       |                     | mg/kg TS | 2     | 1   | STGR |
| fluoren                | <0.010       |                     | mg/kg TS | 2     | 1   | STGR |
| fenantren              | <0.010       |                     | mg/kg TS | 2     | 1   | STGR |
| antracen               | <0.010       |                     | mg/kg TS | 2     | 1   | STGR |
| fluoranten             | 0.019        | 0.006               | mg/kg TS | 2     | 1   | STGR |
| pyren                  | 0.012        | 0.004               | mg/kg TS | 2     | 1   | STGR |
| bens(a)antracen        | <0.010       |                     | mg/kg TS | 2     | 1   | STGR |
| krysen                 | <0.010       |                     | mg/kg TS | 2     | 1   | STGR |
| bens(b)fluoranten      | 0.011        | 0.003               | mg/kg TS | 2     | 1   | STGR |
| bens(k)fluoranten      | <0.010       |                     | mg/kg TS | 2     | 1   | STGR |
| bens(a)pyren           | <0.010       |                     | mg/kg TS | 2     | 1   | STGR |
| dibens(ah)antracen     | <0.010       |                     | mg/kg TS | 2     | 1   | STGR |
| benso(ghi)perylen      | <0.010       |                     | mg/kg TS | 2     | 1   | STGR |
| indeno(123cd)pyren     | <0.010       |                     | mg/kg TS | 2     | 1   | STGR |
| PAH, summa 16          | <0.080       |                     | mg/kg TS | 2     | 1   | STGR |
| PAH, summa cancerogena | <0.0350      |                     | mg/kg TS | 2     | 1   | STGR |
| PAH, summa övriga      | <0.0450      |                     | mg/kg TS | 2     | 1   | STGR |
| PAH, summa L           | <0.0150      |                     | mg/kg TS | 2     | 1   | STGR |
| PAH, summa M           | 0.0310       |                     | mg/kg TS | 2     | 1   | STGR |
| PAH, summa H           | <0.040       |                     | mg/kg TS | 2     | 1   | STGR |
| oljeindex >C10-<C40    | <20          |                     | mg/kg TS | 2     | 1   | STGR |
| fraktion >C10-C12      | <2.0         |                     | mg/kg TS | 2     | 1   | STGR |
| fraktion >C12-C16      | <3.0         |                     | mg/kg TS | 2     | 1   | STGR |
| fraktion >C16-C35      | <10          |                     | mg/kg TS | 2     | 1   | STGR |
| fraktion >C35-<C40     | <5.0         |                     | mg/kg TS | 2     | 1   | STGR |
| TS_105°C               | 93.0         | 2.0                 | %        | 3     | V   | STGR |
| As                     | 1.05         | 0.32                | mg/kg TS | 3     | H   | STGR |
| Cd                     | <0.01        |                     | mg/kg TS | 3     | H   | STGR |
| Co                     | 1.89         | 0.46                | mg/kg TS | 3     | H   | STGR |
| Cr                     | 7.04         | 1.39                | mg/kg TS | 3     | H   | STGR |
| Cu                     | 3.93         | 0.93                | mg/kg TS | 3     | H   | STGR |
| Hg                     | <0.04        |                     | mg/kg TS | 3     | H   | STGR |
| Ni                     | 3.71         | 0.98                | mg/kg TS | 3     | H   | STGR |
| Pb                     | 5.08         | 1.05                | mg/kg TS | 3     | H   | STGR |
| V                      | 10.6         | 2.3                 | mg/kg TS | 3     | H   | STGR |
| Zn                     | 15.8         | 3.0                 | mg/kg TS | 3     | H   | STGR |

# Rapport

Sida 7 (11)



T1923952

1QVRHNY24QP



| Er beteckning          | 19SG120      |                     |          |       |     |      |
|------------------------|--------------|---------------------|----------|-------|-----|------|
|                        | 0-0.8        |                     |          |       |     |      |
| Provtagare             | Filip Nordén |                     |          |       |     |      |
| Provtagningsdatum      | 2019-07-03   |                     |          |       |     |      |
| Labnummer              | O11161993    |                     |          |       |     |      |
| Parameter              | Resultat     | Osäkerhet ( $\pm$ ) | Enhet    | Metod | Utf | Sign |
| Soilpack-2             | -----        |                     |          | 1     | O   | STGR |
| TS_105°C               | 96.6         | 5.83                | %        | 2     | 1   | STGR |
| naftalen               | <0.010       |                     | mg/kg TS | 2     | 1   | STGR |
| acenaftylen            | <0.010       |                     | mg/kg TS | 2     | 1   | STGR |
| acenaften              | <0.010       |                     | mg/kg TS | 2     | 1   | STGR |
| fluoren                | <0.010       |                     | mg/kg TS | 2     | 1   | STGR |
| fenantren              | <0.010       |                     | mg/kg TS | 2     | 1   | STGR |
| antracen               | <0.010       |                     | mg/kg TS | 2     | 1   | STGR |
| fluoranten             | 0.019        | 0.006               | mg/kg TS | 2     | 1   | STGR |
| pyren                  | 0.016        | 0.005               | mg/kg TS | 2     | 1   | STGR |
| bens(a)antracen        | 0.012        | 0.004               | mg/kg TS | 2     | 1   | STGR |
| krysen                 | 0.019        | 0.006               | mg/kg TS | 2     | 1   | STGR |
| bens(b)fluoranten      | 0.027        | 0.008               | mg/kg TS | 2     | 1   | STGR |
| bens(k)fluoranten      | <0.010       |                     | mg/kg TS | 2     | 1   | STGR |
| bens(a)pyren           | 0.014        | 0.004               | mg/kg TS | 2     | 1   | STGR |
| dibens(ah)antracen     | <0.010       |                     | mg/kg TS | 2     | 1   | STGR |
| benso(ghi)perylen      | 0.011        | 0.003               | mg/kg TS | 2     | 1   | STGR |
| indeno(123cd)pyren     | 0.011        | 0.003               | mg/kg TS | 2     | 1   | STGR |
| PAH, summa 16          | 0.129        |                     | mg/kg TS | 2     | 1   | STGR |
| PAH, summa cancerogena | 0.0830       |                     | mg/kg TS | 2     | 1   | STGR |
| PAH, summa övriga      | 0.0460       |                     | mg/kg TS | 2     | 1   | STGR |
| PAH, summa L           | <0.0150      |                     | mg/kg TS | 2     | 1   | STGR |
| PAH, summa M           | 0.0350       |                     | mg/kg TS | 2     | 1   | STGR |
| PAH, summa H           | 0.094        |                     | mg/kg TS | 2     | 1   | STGR |
|                        |              |                     |          |       |     |      |
| oljeindex >C10-<C40    | 23           | 7                   | mg/kg TS | 2     | 1   | STGR |
| fraktion >C10-C12      | <2.0         |                     | mg/kg TS | 2     | 1   | STGR |
| fraktion >C12-C16      | <3.0         |                     | mg/kg TS | 2     | 1   | STGR |
| fraktion >C16-C35      | 18           | 5                   | mg/kg TS | 2     | 1   | STGR |
| fraktion >C35-<C40     | <5.0         |                     | mg/kg TS | 2     | 1   | STGR |
|                        |              |                     |          |       |     |      |
| TS_105°C               | 96.2         | 2.0                 | %        | 3     | V   | STGR |
| As                     | 0.842        | 0.288               | mg/kg TS | 3     | H   | STGR |
| Cd                     | 0.0449       | 0.0137              | mg/kg TS | 3     | H   | STGR |
| Co                     | 7.07         | 1.71                | mg/kg TS | 3     | H   | STGR |
| Cr                     | 25.4         | 5.0                 | mg/kg TS | 3     | H   | STGR |
| Cu                     | 17.0         | 3.6                 | mg/kg TS | 3     | H   | STGR |
| Hg                     | <0.03        |                     | mg/kg TS | 3     | H   | STGR |
| Ni                     | 20.3         | 5.3                 | mg/kg TS | 3     | H   | STGR |
| Pb                     | 6.44         | 1.31                | mg/kg TS | 3     | H   | STGR |
| V                      | 26.1         | 5.6                 | mg/kg TS | 3     | H   | STGR |
| Zn                     | 67.6         | 12.8                | mg/kg TS | 3     | H   | STGR |

# Rapport

Sida 8 (11)



T1923952

1QVRHNY24QP



| Er beteckning          | G190121      |                     |          |       |     |      |
|------------------------|--------------|---------------------|----------|-------|-----|------|
|                        | 0-0.4        |                     |          |       |     |      |
| Provtagare             | Filip Nordén |                     |          |       |     |      |
| Provtagningsdatum      | 2019-07-03   |                     |          |       |     |      |
| Labnummer              | O11161994    |                     |          |       |     |      |
| Parameter              | Resultat     | Osäkerhet ( $\pm$ ) | Enhet    | Metod | Utf | Sign |
| Soilpack-2             | -----        |                     |          | 1     | O   | STGR |
| TS_105°C               | 91.5         | 5.52                | %        | 2     | 1   | STGR |
| naftalen               | <0.010       |                     | mg/kg TS | 2     | 1   | STGR |
| acenaftylen            | <0.010       |                     | mg/kg TS | 2     | 1   | STGR |
| acenaften              | <0.010       |                     | mg/kg TS | 2     | 1   | STGR |
| fluoren                | <0.010       |                     | mg/kg TS | 2     | 1   | STGR |
| fenantren              | 0.028        | 0.008               | mg/kg TS | 2     | 1   | STGR |
| antracen               | 0.010        | 0.003               | mg/kg TS | 2     | 1   | STGR |
| fluoranten             | 0.096        | 0.029               | mg/kg TS | 2     | 1   | STGR |
| pyren                  | 0.074        | 0.022               | mg/kg TS | 2     | 1   | STGR |
| bens(a)antracen        | 0.046        | 0.014               | mg/kg TS | 2     | 1   | STGR |
| krysen                 | 0.060        | 0.018               | mg/kg TS | 2     | 1   | STGR |
| bens(b)fluoranten      | 0.073        | 0.022               | mg/kg TS | 2     | 1   | STGR |
| bens(k)fluoranten      | 0.017        | 0.005               | mg/kg TS | 2     | 1   | STGR |
| bens(a)pyren           | 0.044        | 0.013               | mg/kg TS | 2     | 1   | STGR |
| dibens(ah)antracen     | <0.010       |                     | mg/kg TS | 2     | 1   | STGR |
| benso(ghi)perylen      | 0.036        | 0.011               | mg/kg TS | 2     | 1   | STGR |
| indeno(123cd)pyren     | 0.038        | 0.012               | mg/kg TS | 2     | 1   | STGR |
| PAH, summa 16          | 0.522        |                     | mg/kg TS | 2     | 1   | STGR |
| PAH, summa cancerogena | 0.278        |                     | mg/kg TS | 2     | 1   | STGR |
| PAH, summa övriga      | 0.244        |                     | mg/kg TS | 2     | 1   | STGR |
| PAH, summa L           | <0.0150      |                     | mg/kg TS | 2     | 1   | STGR |
| PAH, summa M           | 0.208        |                     | mg/kg TS | 2     | 1   | STGR |
| PAH, summa H           | 0.314        |                     | mg/kg TS | 2     | 1   | STGR |
|                        |              |                     |          |       |     |      |
| oljeindex >C10-<C40    | 25           | 8                   | mg/kg TS | 2     | 1   | STGR |
| fraktion >C10-C12      | <2.0         |                     | mg/kg TS | 2     | 1   | STGR |
| fraktion >C12-C16      | <3.0         |                     | mg/kg TS | 2     | 1   | STGR |
| fraktion >C16-C35      | 20           | 6                   | mg/kg TS | 2     | 1   | STGR |
| fraktion >C35-<C40     | <5.0         |                     | mg/kg TS | 2     | 1   | STGR |
|                        |              |                     |          |       |     |      |
| TS_105°C               | 93.9         | 2.0                 | %        | 3     | V   | STGR |
| As                     | 1.95         | 0.63                | mg/kg TS | 3     | H   | STGR |
| Cd                     | 0.156        | 0.040               | mg/kg TS | 3     | H   | STGR |
| Co                     | 5.15         | 1.30                | mg/kg TS | 3     | H   | STGR |
| Cr                     | 17.3         | 3.5                 | mg/kg TS | 3     | H   | STGR |
| Cu                     | 15.5         | 3.4                 | mg/kg TS | 3     | H   | STGR |
| Hg                     | 0.119        | 0.051               | mg/kg TS | 3     | H   | STGR |
| Ni                     | 11.4         | 3.2                 | mg/kg TS | 3     | H   | STGR |
| Pb                     | 22.0         | 4.6                 | mg/kg TS | 3     | H   | STGR |
| V                      | 18.0         | 3.9                 | mg/kg TS | 3     | H   | STGR |
| Zn                     | 70.8         | 14.6                | mg/kg TS | 3     | H   | STGR |

# Rapport

Sida 9 (11)



T1923952

1QVRHNY24QP



| Er beteckning          | <b>19SG111</b>      |                     |          |       |     |      |
|------------------------|---------------------|---------------------|----------|-------|-----|------|
|                        | <b>0-0.5</b>        |                     |          |       |     |      |
| Provtagare             | <b>Filip Nordén</b> |                     |          |       |     |      |
| Provtagningsdatum      | <b>2019-07-03</b>   |                     |          |       |     |      |
| Labnummer              | <b>O11161995</b>    |                     |          |       |     |      |
| Parameter              | Resultat            | Osäkerhet ( $\pm$ ) | Enhet    | Metod | Utf | Sign |
| Soilpack-2             | -----               |                     |          | 1     | O   | STGR |
| TS_105°C               | <b>88.4</b>         | 5.34                | %        | 2     | 1   | STGR |
| naftalen               | <b>&lt;0.010</b>    |                     | mg/kg TS | 2     | 1   | STGR |
| acenaftylen            | <b>&lt;0.010</b>    |                     | mg/kg TS | 2     | 1   | STGR |
| acenaften              | <b>&lt;0.010</b>    |                     | mg/kg TS | 2     | 1   | STGR |
| fluoren                | <b>&lt;0.010</b>    |                     | mg/kg TS | 2     | 1   | STGR |
| fenantren              | <b>0.034</b>        | 0.010               | mg/kg TS | 2     | 1   | STGR |
| antracen               | <b>&lt;0.010</b>    |                     | mg/kg TS | 2     | 1   | STGR |
| fluoranten             | <b>0.087</b>        | 0.026               | mg/kg TS | 2     | 1   | STGR |
| pyren                  | <b>0.070</b>        | 0.021               | mg/kg TS | 2     | 1   | STGR |
| bens(a)antracen        | <b>0.038</b>        | 0.011               | mg/kg TS | 2     | 1   | STGR |
| krysen                 | <b>0.053</b>        | 0.016               | mg/kg TS | 2     | 1   | STGR |
| bens(b)fluoranten      | <b>0.073</b>        | 0.022               | mg/kg TS | 2     | 1   | STGR |
| bens(k)fluoranten      | <b>0.021</b>        | 0.006               | mg/kg TS | 2     | 1   | STGR |
| bens(a)pyren           | <b>0.037</b>        | 0.011               | mg/kg TS | 2     | 1   | STGR |
| dibens(ah)antracen     | <b>&lt;0.010</b>    |                     | mg/kg TS | 2     | 1   | STGR |
| benso(ghi)perylen      | <b>0.051</b>        | 0.015               | mg/kg TS | 2     | 1   | STGR |
| indeno(123cd)pyren     | <b>0.031</b>        | 0.009               | mg/kg TS | 2     | 1   | STGR |
| PAH, summa 16          | <b>0.495</b>        |                     | mg/kg TS | 2     | 1   | STGR |
| PAH, summa cancerogena | <b>0.253</b>        |                     | mg/kg TS | 2     | 1   | STGR |
| PAH, summa övriga      | <b>0.242</b>        |                     | mg/kg TS | 2     | 1   | STGR |
| PAH, summa L           | <b>&lt;0.0150</b>   |                     | mg/kg TS | 2     | 1   | STGR |
| PAH, summa M           | <b>0.191</b>        |                     | mg/kg TS | 2     | 1   | STGR |
| PAH, summa H           | <b>0.304</b>        |                     | mg/kg TS | 2     | 1   | STGR |
| oljeindex >C10-<C40    | <b>133</b>          | 40                  | mg/kg TS | 2     | 1   | STGR |
| fraktion >C10-C12      | <b>&lt;2.0</b>      |                     | mg/kg TS | 2     | 1   | STGR |
| fraktion >C12-C16      | <b>&lt;3.0</b>      |                     | mg/kg TS | 2     | 1   | STGR |
| fraktion >C16-C35      | <b>103</b>          | 31                  | mg/kg TS | 2     | 1   | STGR |
| fraktion >C35-<C40     | <b>28.7</b>         | 8.6                 | mg/kg TS | 2     | 1   | STGR |
| TS_105°C               | <b>99.2</b>         | 2.0                 | %        | 3     | V   | STGR |
| As                     | <b>3.02</b>         | 0.84                | mg/kg TS | 3     | H   | STGR |
| Cd                     | <b>0.267</b>        | 0.063               | mg/kg TS | 3     | H   | STGR |
| Co                     | <b>12.9</b>         | 3.2                 | mg/kg TS | 3     | H   | STGR |
| Cr                     | <b>37.4</b>         | 7.5                 | mg/kg TS | 3     | H   | STGR |
| Cu                     | <b>30.1</b>         | 6.4                 | mg/kg TS | 3     | H   | STGR |
| Hg                     | <b>0.116</b>        | 0.036               | mg/kg TS | 3     | H   | STGR |
| Ni                     | <b>24.6</b>         | 6.7                 | mg/kg TS | 3     | H   | STGR |
| Pb                     | <b>38.5</b>         | 8.0                 | mg/kg TS | 3     | H   | STGR |
| V                      | <b>41.2</b>         | 8.7                 | mg/kg TS | 3     | H   | STGR |
| Zn                     | <b>115</b>          | 22                  | mg/kg TS | 3     | H   | STGR |

# Rapport

Sida 10 (11)



T1923952

1QVRHNY24QP



\* efter parameternamn indikerar icke ackrediterad analys.

| <b>Metod</b> |   |
|--------------|---|
| 1            | Soilpack-2.   |
| 2            | <p>Bestämning av polycykiska aromatiska kolväten, PAH (16 föreningar enligt EPA) enligt metod baserad på US EPA 8270 och ISO 18287.<br/>Mätning utförs med GC-MS.</p> <p>PAH cancerogena utgörs av benzo(a)antracen, krysen, benzo(b)fluoranten, benzo(k)fluoranten, benzo(a)pyren, dibenzo(ah)antracen och indeno(123cd)pyren.</p> <p>Summa PAH L: naftalen, acenafthen och acenaftylen.<br/>Summa PAH M: fluoren, fenantren, antracen, fluoranten och pyren<br/>Summa PAH H: benzo(a)antracen, krysen, benzo(b)fluoranten, benzo(k)fluoranten, benzo(a)pyren, indeno(1,2,3-c,d)pyren, dibenzo(a,h)antracen och benzo(g,h,i)perylen)<br/>Enligt nya direktiv från Naturvårdsverket oktober 2008.</p> <p>Bestämning av oljeindex enligt metod CSN EN 14039 och TNRCC metod 1006.<br/>Mätning utförs med GC-FID.</p> <p>Rev 2013-09-18</p> |
| 3            | <p>Bestämning av metaller enligt M-2.<br/>Analysprovet har torkats vid 50°C och elementhalterna TS-korrigerats.<br/>För jord siktas provet efter torkning.<br/>För sediment/slamm alternativt hamras det torkade provet .<br/>Vid expressanalys har upplösning skett på vått samt osiktat/omalt prov.<br/>Upplösning har skett med salpetersyra för slam/sediment och för jord med salpetersyra/väteperoxid.<br/>Analys med ICP-SFMS har skett enligt SS EN ISO 17294-1, 2 (mod) samt EPA-metod 200.8 (mod).</p> <p>Rev 2015-07-24</p>  |

|      | <b>Godkännare</b> |
|------|-------------------|
| STGR | Sture Grågg       |

| <b>Utf<sup>1</sup></b> |   |
|------------------------|---|
| H                      | Mätningen utförd med ICP-SFMS<br>För mätningen svarar ALS Scandinavia AB, Aurorum 10, 977 75 Luleå, som är av det svenska ackrediteringsorganet SWEDAC ackrediterat laboratorium (Reg.nr. 2030).  |
| O                      | För mätningen svarar ALS Scandinavia AB, Box 700, 182 17 Danderyd som är av det svenska ackrediteringsorganet SWEDAC ackrediterat laboratorium (Reg.nr. 2030).  |
| V                      | Våtkemisk analys<br>För mätningen svarar ALS Scandinavia AB, Aurorum 10, 977 75 Luleå, som är av det svenska ackrediteringsorganet SWEDAC ackrediterat laboratorium (Reg.nr. 2030).   |
| 1                      | För mätningen svarar ALS Laboratory Group, Na Harfě 9/336, 190 00, Prag 9, Tjeckien, som är av det tjeckiska ackrediteringsorganet CAI ackrediterat laboratorium (Reg.nr. 1163). CAI är signatär till ett MLA inom EA, samma MLA som SWEDAC är signatär till.<br>Laboratorierna finns lokaliseraade i;<br>Prag, Na Harfě 9/336, 190 00, Praha 9,<br>Ceska Lipa, Bendlova 1687/7, 470 01 Ceska Lipa,<br>Pardubice, V Raji 906, 530 02 Pardubice. |

<sup>1</sup> Utförande teknisk enhet (inom ALS Scandinavia) eller anlitat laboratorium (underleverantör).

# Rapport

Sida 11 (11)



T1923952

1QVRHNY24QP



| Utf <sup>1</sup>                                    |
|---|
| Kontakta ALS Stockholm för ytterligare information. |

Mätosäkerheten anges som en utvidgad osäkerhet (enligt definitionen i "Evaluation of measurement data - Guide to the expression of uncertainty in measurement", JCGM 100:2008 Corrected version 2010) beräknad med täckningsfaktor lika med 2 vilket ger en konfidensnivå på ungefär 95%.

Mätosäkerhet anges endast för detekterade ämnen med halter över rapporteringsgränsen.

Mätosäkerhet från underleverantör anges oftast som en utvidgad osäkerhet beräknad med täckningsfaktor 2. För ytterligare information kontakta laboratoriet.

Denna rapport får endast återges i sin helhet, om inte utfärdande laboratorium i förväg skriftligen godkänt annat.  
Resultaten gäller endast det identifierade, mottagna och provade materialet.

Beträffande laboratoriets ansvar i samband med uppdrag, se aktuell produktkatalog eller vår webbplats [www.alsglobal.se](http://www.alsglobal.se)

Den digitalt signerade PDF filen representerar originalrapporten. Alla utskrifter från denna är att betrakta som kopior.

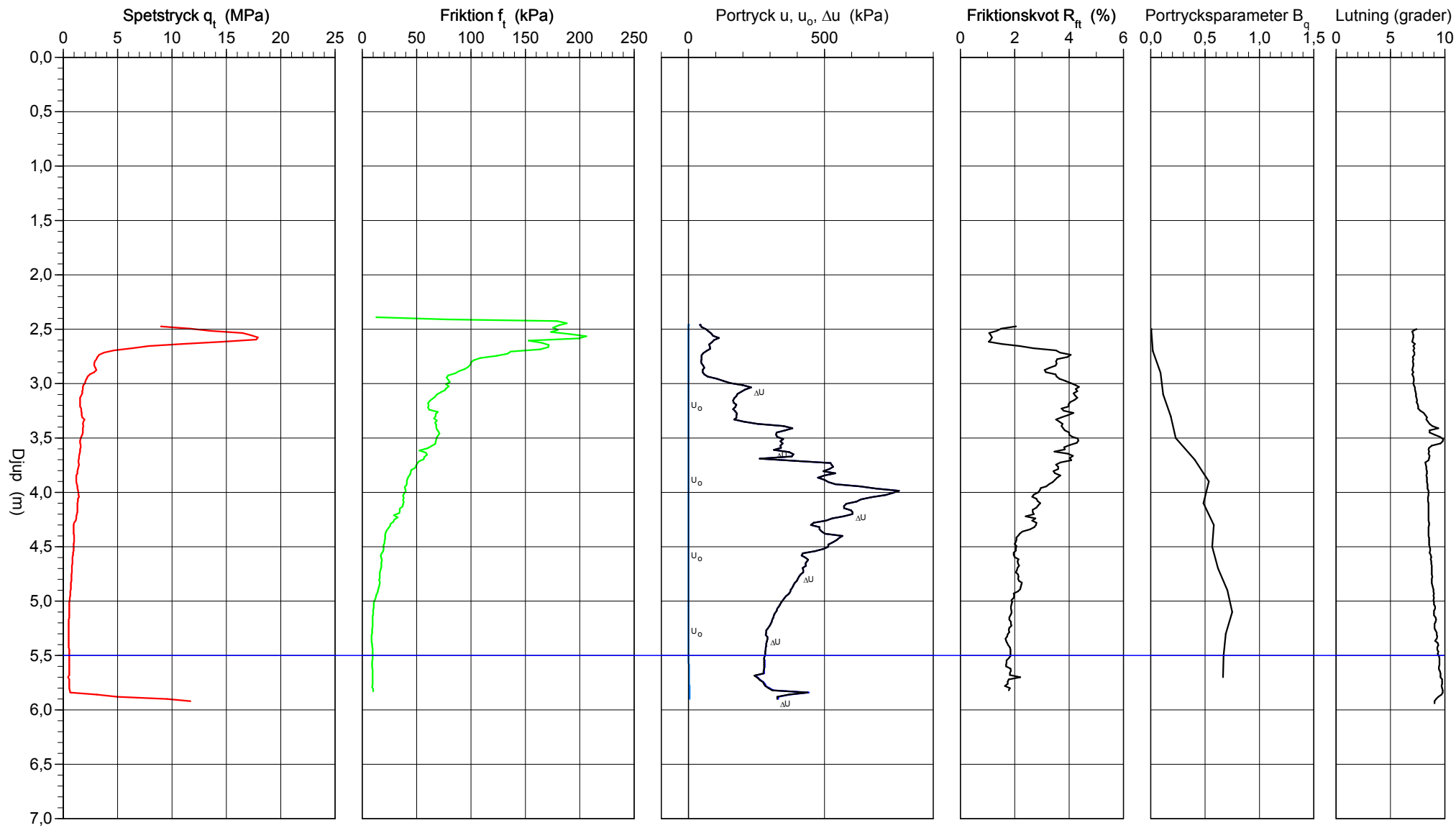
## CPT-sondering utförd enligt EN ISO 22476-1

Förborringsdjup 2,50 m  
 Start djup 2,50 m  
 Stopp djup 5,98 m  
 Grundvattennivå 5,50 m

Referens my  
 Nivå vid referens 29,30 m  
 Förborrat material F/Fr  
 Geometri Normal

Vätska i filter  
 Borrpunkten koord.  
 Utrustning Geotech 505DD  
 Sond nr 4742

Projekt Gamla Tyresövägen  
 Projekt nr G19025  
 Plats Skarpnäck  
 Borrhål 19SG102  
 Datum 2019-07-22



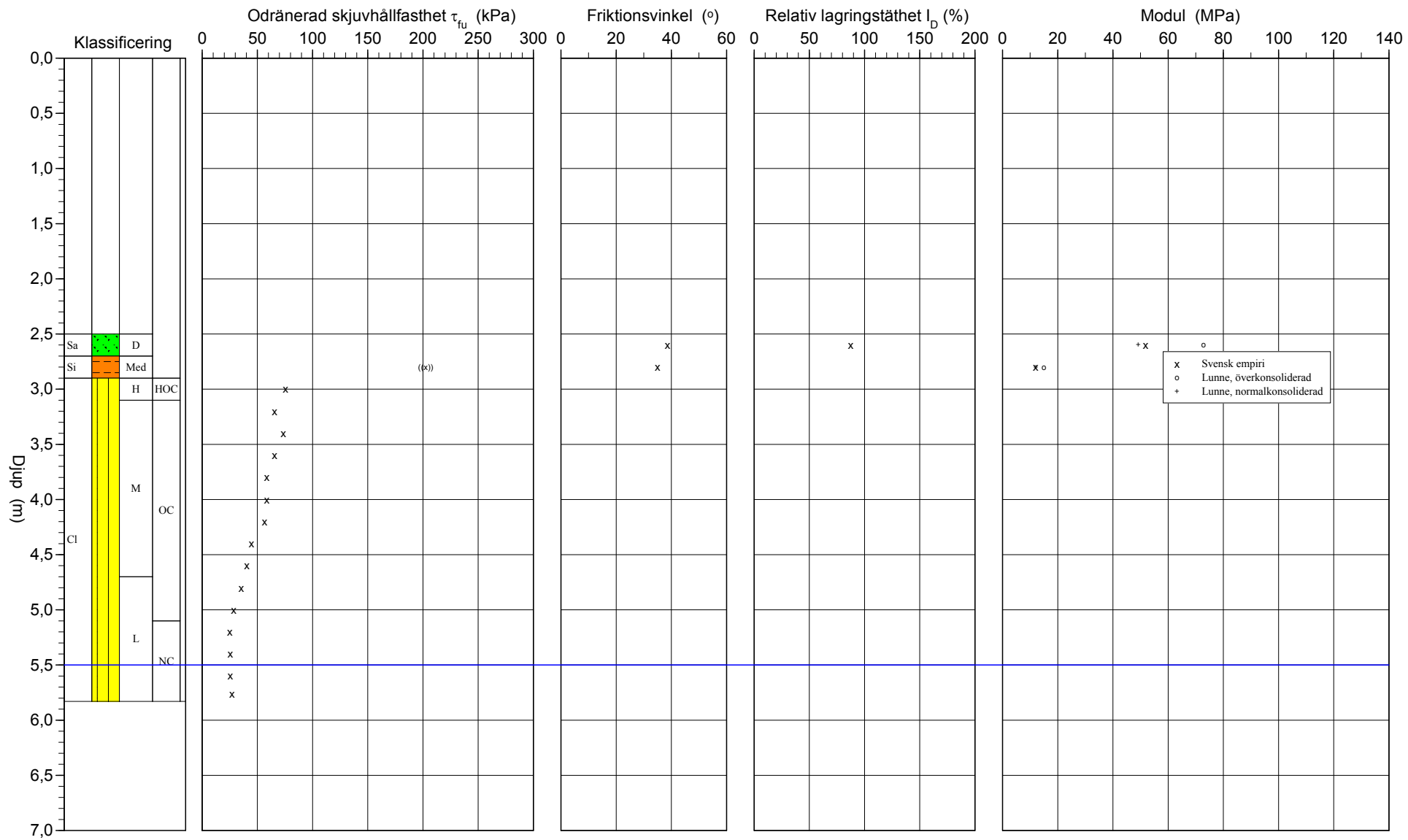
# CPT-sondering utvärderad enligt SGI Information 15 rev.2007

Referens my  
Nivå vid referens 29,30 m  
Grundvattenyta 5,50 m  
Startdjup 2,50 m

Förborrningsdjup 2,50 m  
Förborrat material F/Fr  
Utrustning Geotech 505DD nr 531  
Geometri Normal

Utvärderare R Ramak  
Datum för utvärdering 2019-08-01

Projekt Gamla Tyresövägen  
Projekt nr G19025  
Plats Skarpnäck  
Borrhål 19SG102  
Datum 2019-07-22



# CPT-sondering utvärderad enligt SGI Information 15 rev.2007

Referens my  
Nivå vid referens 29,30 m  
Grundvattenyta 5,50 m  
Startdjup 2,50 m

Förborrningsdjup 2,50 m

Förborrat material F/Fr

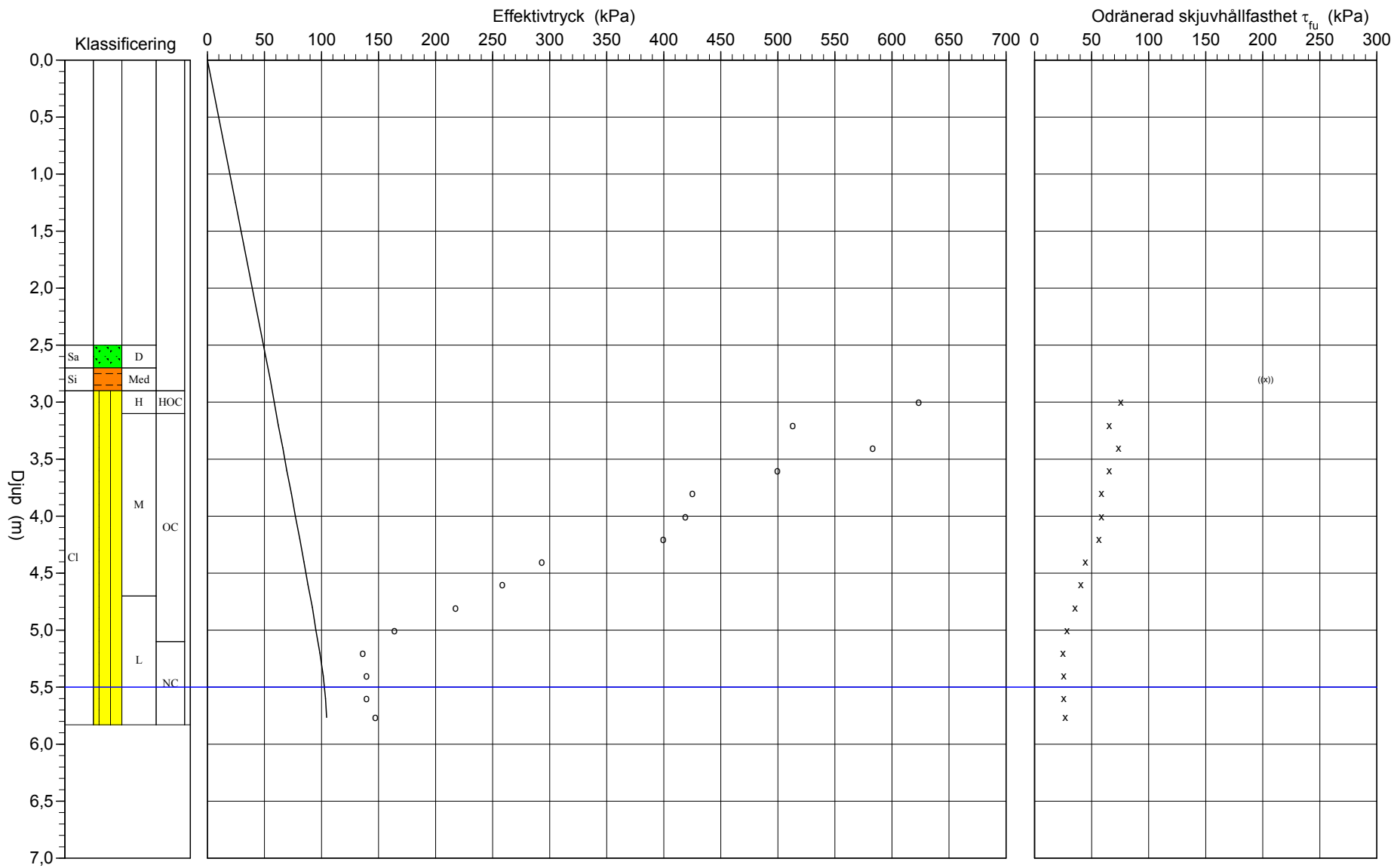
Utrustning Geotech 505DD nr 531

Geometri Normal

Utvärderare R Ramak

Datum för utvärdering 2019-08-01

Projekt Gamla Tyresövägen  
Projekt nr G19025  
Plats Skarpnäck  
Borrhål 19SG102  
Datum 2019-07-22



# C P T - sondering

| <b>Projekt</b><br><b>Gamla Tyresövägen<br/>G19025</b>  |   | <b>Plats</b> <b>Skarpnäck</b><br><b>Borrhål</b> <b>19SG102</b><br><b>Datum</b> <b>2019-07-22</b>  |            |                |          |                                |           |         |                                |           |         |        |        |      |      |       |      |       |      |  |  |  |  |  |      |      |  |      |  |  |  |  |  |      |      |  |  |  |
|--|---|---|------------|----------------|----------|--------------------------------|-----------|---------|--------------------------------|-----------|---------|--------|--------|------|------|-------|------|-------|------|--|--|--|--|--|------|------|--|------|--|--|--|--|--|------|------|--|--|--|
| Förborningsdjup<br>Startdjup<br>Stoppdjup<br>Grundvattenyta<br>Referens<br>Nivå vid referens | 2,50 m<br>2,50 m<br>5,98 m<br>5,50 m<br>my<br>29,30 m | Förborrat material<br>Geometri<br>Vätska i filter<br>Operatör<br>Utrustning<br><input checked="" type="checkbox"/> <b>Portryck registrerat vid sondering</b>  |            |                |          |                                |           |         |                                |           |         |        |        |      |      |       |      |       |      |  |  |  |  |  |      |      |  |      |  |  |  |  |  |      |      |  |  |  |
| <b>Kalibreringsdata</b>  |   | <b>Nollvärden, kPa</b> <table border="1"> <thead> <tr> <th></th> <th>Portryck</th> <th>Friktion</th> <th>Spetstryck</th> </tr> </thead> <tbody> <tr> <td>Före</td> <td>253,10</td> <td>129,50</td> <td>7,38</td> </tr> <tr> <td>Efter</td> <td>273,00</td> <td>129,70</td> <td>7,30</td> </tr> <tr> <td>Diff</td> <td>19,90</td> <td>0,20</td> <td>-0,08</td> </tr> </tbody> </table>   |            | Portryck       | Friktion | Spetstryck                     | Före      | 253,10  | 129,50                         | 7,38      | Efter   | 273,00 | 129,70 | 7,30 | Diff | 19,90 | 0,20 | -0,08 |      |  |  |  |  |  |      |      |  |      |  |  |  |  |  |      |      |  |  |  |
|  | Portryck  | Friktion  | Spetstryck |                |          |                                |           |         |                                |           |         |        |        |      |      |       |      |       |      |  |  |  |  |  |      |      |  |      |  |  |  |  |  |      |      |  |  |  |
| Före   | 253,10  | 129,50  | 7,38       |                |          |                                |           |         |                                |           |         |        |        |      |      |       |      |       |      |  |  |  |  |  |      |      |  |      |  |  |  |  |  |      |      |  |  |  |
| Efter  | 273,00  | 129,70  | 7,30       |                |          |                                |           |         |                                |           |         |        |        |      |      |       |      |       |      |  |  |  |  |  |      |      |  |      |  |  |  |  |  |      |      |  |  |  |
| Diff   | 19,90   | 0,20  | -0,08      |                |          |                                |           |         |                                |           |         |        |        |      |      |       |      |       |      |  |  |  |  |  |      |      |  |      |  |  |  |  |  |      |      |  |  |  |
| <b>Skalfaktorer</b>  |   | <b>Korrigering</b><br>Portryck (ingen)<br>Friktion (ingen)<br>Spetstryck (ingen)<br><br>Bedömd sonderingsklass  |            |                |          |                                |           |         |                                |           |         |        |        |      |      |       |      |       |      |  |  |  |  |  |      |      |  |      |  |  |  |  |  |      |      |  |  |  |
| <input type="checkbox"/> Använd skalfaktorer vid beräkning                                   |   |   |            |                |          |                                |           |         |                                |           |         |        |        |      |      |       |      |       |      |  |  |  |  |  |      |      |  |      |  |  |  |  |  |      |      |  |  |  |
| <b>Portrycksobservationer</b>  |   | <b>Skiktgränser</b> <b>Klassificering</b> <table border="1"> <thead> <tr> <th>Djup (m)</th> <th>Portryck (kPa)</th> <th>Djup (m)</th> <th>Djup (m)</th> <th>Från</th> <th>Till</th> <th>Densitet (ton/m<sup>3</sup>)</th> <th>Flytgräns</th> <th>Jordart</th> </tr> </thead> <tbody> <tr> <td>5,50</td> <td>0,00</td> <td></td> <td></td> <td>0,00</td> <td>2,50</td> <td>2,00</td> <td>0,40</td> <td></td> </tr> <tr> <td></td> <td></td> <td></td> <td></td> <td>2,50</td> <td>4,50</td> <td></td> <td>0,40</td> <td></td> </tr> <tr> <td></td> <td></td> <td></td> <td></td> <td>4,50</td> <td>5,90</td> <td></td> <td></td> <td></td> </tr> </tbody> </table> | Djup (m)   | Portryck (kPa) | Djup (m) | Djup (m)                       | Från      | Till    | Densitet (ton/m <sup>3</sup> ) | Flytgräns | Jordart | 5,50   | 0,00   |      |      | 0,00  | 2,50 | 2,00  | 0,40 |  |  |  |  |  | 2,50 | 4,50 |  | 0,40 |  |  |  |  |  | 4,50 | 5,90 |  |  |  |
| Djup (m)   | Portryck (kPa)  | Djup (m)  | Djup (m)   | Från           | Till     | Densitet (ton/m <sup>3</sup> ) | Flytgräns | Jordart |                                |           |         |        |        |      |      |       |      |       |      |  |  |  |  |  |      |      |  |      |  |  |  |  |  |      |      |  |  |  |
| 5,50   | 0,00  |   |            | 0,00           | 2,50     | 2,00                           | 0,40      |         |                                |           |         |        |        |      |      |       |      |       |      |  |  |  |  |  |      |      |  |      |  |  |  |  |  |      |      |  |  |  |
|  |   |   |            | 2,50           | 4,50     |                                | 0,40      |         |                                |           |         |        |        |      |      |       |      |       |      |  |  |  |  |  |      |      |  |      |  |  |  |  |  |      |      |  |  |  |
|  |   |   |            | 4,50           | 5,90     |                                |           |         |                                |           |         |        |        |      |      |       |      |       |      |  |  |  |  |  |      |      |  |      |  |  |  |  |  |      |      |  |  |  |
| <b>Anmärkning</b>  |   | Konflytgräns från punkt B15 sydöst om området   |            |                |          |                                |           |         |                                |           |         |        |        |      |      |       |      |       |      |  |  |  |  |  |      |      |  |      |  |  |  |  |  |      |      |  |  |  |

# C P T - sondering

Sida 1 av 1

| Projekt<br>Gamla Tyresövägen<br>G19025 |                  |                |                            |       | Plats<br>Borrhål<br>Datum |             | Skarpnäck<br>19SG102<br>2019-07-22 |                       |                      |       |                     |          |                        |                        |
|--|------------------|----------------|----------------------------|-------|---------------------------|-------------|------------------------------------|-----------------------|----------------------|-------|---------------------|----------|------------------------|------------------------|
| Djup (m)<br>Från                       | Djup (m)<br>Till | Klassificering | $\rho$<br>t/m <sup>3</sup> | $W_L$ | $\tau_{fu}$<br>kPa        | $\phi$<br>° | $\sigma_{vo}$<br>kPa               | $\sigma'_{vo}$<br>kPa | $\sigma'_{c}$<br>kPa | OCR   | I <sub>D</sub><br>% | E<br>MPa | M <sub>OC</sub><br>MPa | M <sub>NC</sub><br>MPa |
| 0,00                                   | 2,50             |                | 2,00                       |       |                           |             | 24,5                               | 24,5                  |                      |       |                     |          |                        |                        |
| 2,50                                   | 2,70             | Sa D           | 2,00                       | 0,40  |                           | 38,6        | 51,0                               | 51,0                  |                      |       | 87,4                | 51,9     | 72,7                   | 49,1                   |
| 2,70                                   | 2,90             | Si Med         | 1,80                       | 0,40  | ((202,5))                 | (35,0)      | 54,7                               | 54,7                  |                      |       |                     | 11,9     | 15,0                   | 12,0                   |
| 2,90                                   | 3,10             | CI H           | HOC                        | 1,90  | 0,40                      | 75,6        | 58,4                               | 58,4                  | 623,2                | 10,68 |                     |          |                        |                        |
| 3,10                                   | 3,30             | CI M           | OC                         | 1,90  | 0,40                      | 65,5        | 62,1                               | 62,1                  | 512,8                | 8,26  |                     |          |                        |                        |
| 3,30                                   | 3,50             | CI M           | OC                         | 1,90  | 0,40                      | 73,5        | 65,8                               | 65,8                  | 583,0                | 8,86  |                     |          |                        |                        |
| 3,50                                   | 3,70             | CI M           | OC                         | 1,90  | 0,40                      | 65,6        | 69,6                               | 69,6                  | 499,4                | 7,18  |                     |          |                        |                        |
| 3,70                                   | 3,90             | CI M           | OC                         | 1,90  | 0,40                      | 58,3        | 73,3                               | 73,3                  | 425,2                | 5,80  |                     |          |                        |                        |
| 3,90                                   | 4,10             | CI M           | OC                         | 1,90  | 0,40                      | 58,2        | 77,0                               | 77,0                  | 418,8                | 5,44  |                     |          |                        |                        |
| 4,10                                   | 4,30             | CI M           | OC                         | 1,90  | 0,40                      | 56,5        | 80,7                               | 80,7                  | 399,5                | 4,95  |                     |          |                        |                        |
| 4,30                                   | 4,50             | CI M           | OC                         | 1,85  | 0,40                      | 44,5        | 84,4                               | 84,4                  | 292,9                | 3,47  |                     |          |                        |                        |
| 4,50                                   | 4,70             | CI M           | OC                         | 1,85  | 0,40                      | 40,6        | 88,0                               | 88,0                  | 258,4                | 2,93  |                     |          |                        |                        |
| 4,70                                   | 4,90             | CI L           | OC                         | 1,85  | 0,40                      | 35,7        | 91,7                               | 91,7                  | 217,5                | 2,37  |                     |          |                        |                        |
| 4,90                                   | 5,10             | CI L           | OC                         | 1,60  | 0,40                      | 28,6        | 95,1                               | 95,1                  | 163,7                | 1,72  |                     |          |                        |                        |
| 5,10                                   | 5,30             | CI L           | NC                         | 1,60  | 0,40                      | 24,8        | 98,2                               | 98,2                  | 136,1                | 1,39  |                     |          |                        |                        |
| 5,30                                   | 5,50             | CI L           | NC                         | 1,60  | 0,40                      | 25,5        | 101,3                              | 101,3                 | 139,3                | 1,37  |                     |          |                        |                        |
| 5,50                                   | 5,70             | CI L           | NC                         | 1,60  | 0,40                      | 25,6        | 104,5                              | 103,5                 | 139,6                | 1,35  |                     |          |                        |                        |
| 5,70                                   | 5,83             | CI L           | NC                         | 1,60  | 0,40                      | 26,7        | 107,1                              | 104,4                 | 146,9                | 1,41  |                     |          |                        |                        |

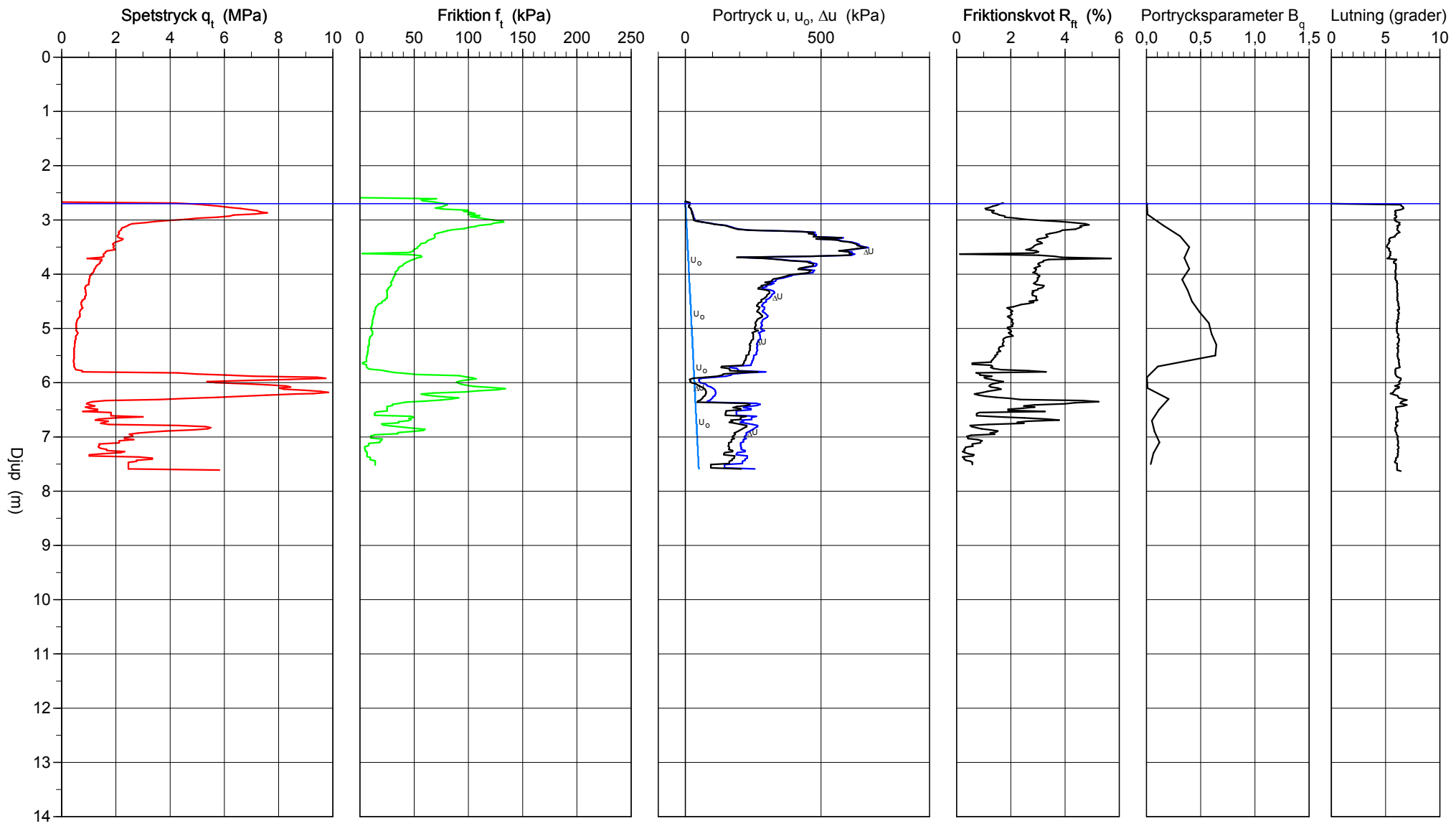
# CPT-sondering utförd enligt EN ISO 22476-1

Förborringsdjup 2,70 m  
Start djup 2,70 m  
Stopp djup 7,66 m  
Grundvattennivå 2,70 m

Referens my  
Nivå vid referens 28,86 m  
Förborrat material F/Fr  
Geometri Normal

Vätska i filter  
Borrpunktens koord.  
Utrustning Geotech 505DD  
Sond nr 4742

Projekt Gamla Tyresövägen  
Projekt nr G19025  
Plats Skarpnäck  
Borrhål 19SG106  
Datum 2019-07-22



# CPT-sondering utvärderad enligt SGI Information 15 rev.2007

Referens my  
Nivå vid referens 28,86 m  
Grundvattenyta 2,70 m  
Startdjup 2,70 m

Förborrningsdjup 2,70 m

Förborrat material F/Fr

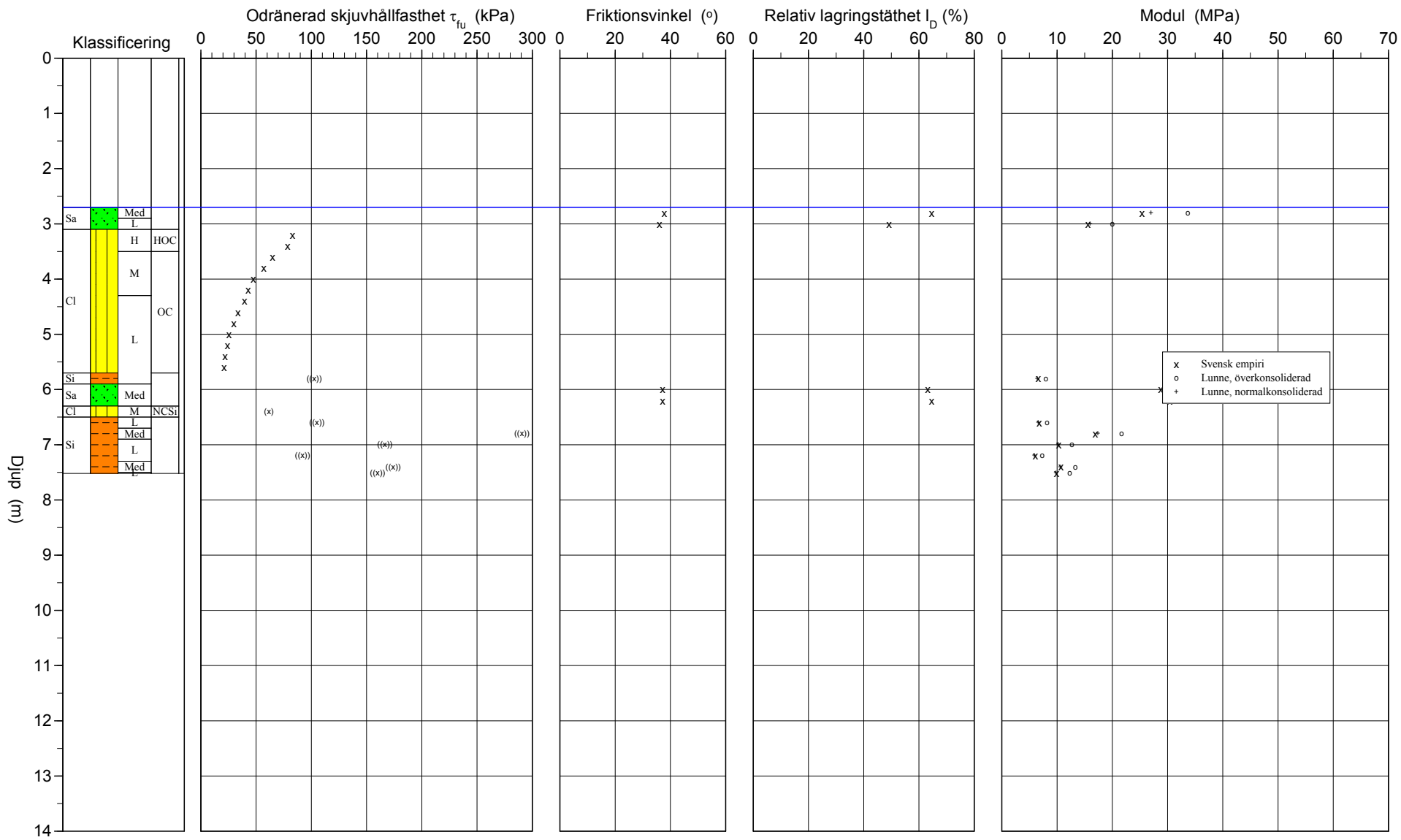
Utrustning Geotech 505DD nr 531

Geometri Normal

Utvärderare R Ramak

Datum för utvärdering 2019-08-01

Projekt Gamla Tyresövägen  
Projekt nr G19025  
Plats Skarpnäck  
Borrhål 19SG106  
Datum 2019-07-22



# CPT-sondering utvärderad enligt SGI Information 15 rev.2007

Referens my  
Nivå vid referens 28,86 m  
Grundvattenyta 2,70 m  
Startdjup 2,70 m

Förborrningsdjup 2,70 m

Förborrat material F/Fr

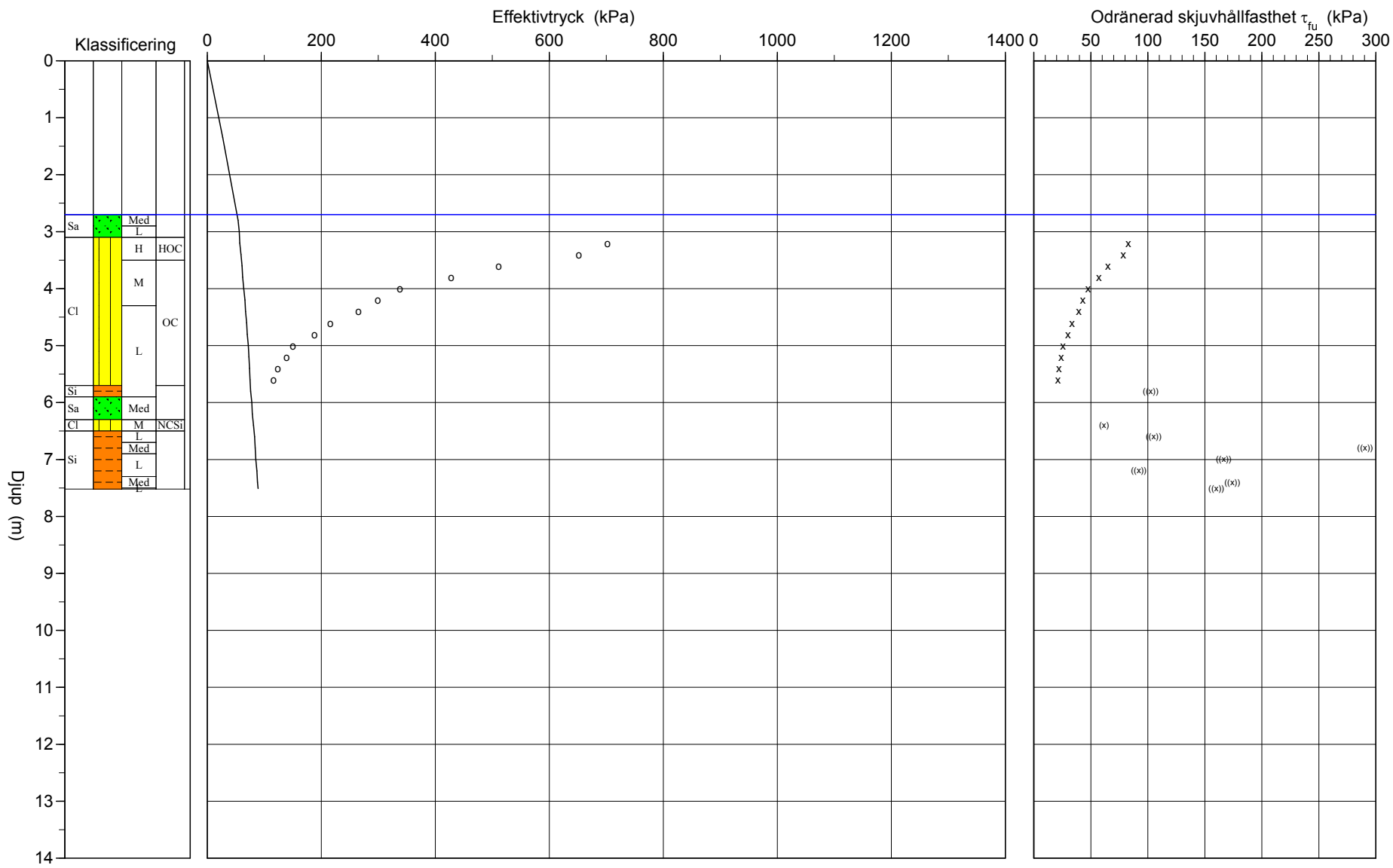
Utrustning Geotech 505DD nr 531

Geometri Normal

Utvärderare R Ramak

Datum för utvärdering 2019-08-01

Projekt Gamla Tyresövägen  
Projekt nr G19025  
Plats Skarpnäck  
Borrhål 19SG106  
Datum 2019-07-22



# C P T - sondering

| <b>Projekt</b><br><b>Gamla Tyresövägen<br/>G19025</b>  |   | <b>Plats</b> <b>Skarpnäck</b><br><b>Borrhål</b> <b>19SG106</b><br><b>Datum</b> <b>2019-07-22</b>   |            |                |          |                                |           |         |                                |           |         |        |        |      |      |       |      |       |      |  |  |  |  |  |      |      |  |  |  |
|--|---|--|------------|----------------|----------|--------------------------------|-----------|---------|--------------------------------|-----------|---------|--------|--------|------|------|-------|------|-------|------|--|--|--|--|--|------|------|--|--|--|
| Förborningsdjup<br>Startdjup<br>Stoppdjup<br>Grundvattenyta<br>Referens<br>Nivå vid referens | 2,70 m<br>2,70 m<br>7,66 m<br>2,70 m<br>my<br>28,86 m | Förborrat material<br>Geometri<br>Vätska i filter<br>Operatör<br>Utrustning<br><input checked="" type="checkbox"/> <b>Portryck registrerat vid sondering</b>   |            |                |          |                                |           |         |                                |           |         |        |        |      |      |       |      |       |      |  |  |  |  |  |      |      |  |  |  |
| <b>Kalibreringsdata</b>  |   | <b>Nollvärden, kPa</b> <table border="1"> <thead> <tr> <th></th> <th>Portryck</th> <th>Friktion</th> <th>Spetstryck</th> </tr> </thead> <tbody> <tr> <td>Före</td> <td>253,60</td> <td>129,20</td> <td>7,39</td> </tr> <tr> <td>Efter</td> <td>250,50</td> <td>129,40</td> <td>7,33</td> </tr> <tr> <td>Diff</td> <td>-3,10</td> <td>0,20</td> <td>-0,06</td> </tr> </tbody> </table>  |            | Portryck       | Friktion | Spetstryck                     | Före      | 253,60  | 129,20                         | 7,39      | Efter   | 250,50 | 129,40 | 7,33 | Diff | -3,10 | 0,20 | -0,06 |      |  |  |  |  |  |      |      |  |  |  |
|  | Portryck  | Friktion   | Spetstryck |                |          |                                |           |         |                                |           |         |        |        |      |      |       |      |       |      |  |  |  |  |  |      |      |  |  |  |
| Före   | 253,60  | 129,20   | 7,39       |                |          |                                |           |         |                                |           |         |        |        |      |      |       |      |       |      |  |  |  |  |  |      |      |  |  |  |
| Efter  | 250,50  | 129,40   | 7,33       |                |          |                                |           |         |                                |           |         |        |        |      |      |       |      |       |      |  |  |  |  |  |      |      |  |  |  |
| Diff   | -3,10   | 0,20   | -0,06      |                |          |                                |           |         |                                |           |         |        |        |      |      |       |      |       |      |  |  |  |  |  |      |      |  |  |  |
| <b>Skalfaktorer</b>  |   | <b>Korrigering</b><br>Portryck (ingen)<br>Friktion (ingen)<br>Spetstryck (ingen)<br><br>Bedömd sonderingsklass   |            |                |          |                                |           |         |                                |           |         |        |        |      |      |       |      |       |      |  |  |  |  |  |      |      |  |  |  |
| <input type="checkbox"/> Använd skalfaktorer vid beräkning                                   |   |  |            |                |          |                                |           |         |                                |           |         |        |        |      |      |       |      |       |      |  |  |  |  |  |      |      |  |  |  |
| <b>Portrycksobservationer</b>  |   | <b>Skiktgränser</b> <b>Klassificering</b> <table border="1"> <thead> <tr> <th>Djup (m)</th> <th>Portryck (kPa)</th> <th>Djup (m)</th> <th>Djup (m)</th> <th>Från</th> <th>Till</th> <th>Densitet (ton/m<sup>3</sup>)</th> <th>Flytgräns</th> <th>Jordart</th> </tr> </thead> <tbody> <tr> <td>2,70</td> <td>0,00</td> <td></td> <td></td> <td>0,00</td> <td>2,70</td> <td>2,00</td> <td>0,40</td> <td></td> </tr> <tr> <td></td> <td></td> <td></td> <td></td> <td>2,70</td> <td>5,90</td> <td></td> <td></td> <td></td> </tr> </tbody> </table> | Djup (m)   | Portryck (kPa) | Djup (m) | Djup (m)                       | Från      | Till    | Densitet (ton/m <sup>3</sup> ) | Flytgräns | Jordart | 2,70   | 0,00   |      |      | 0,00  | 2,70 | 2,00  | 0,40 |  |  |  |  |  | 2,70 | 5,90 |  |  |  |
| Djup (m)   | Portryck (kPa)  | Djup (m)   | Djup (m)   | Från           | Till     | Densitet (ton/m <sup>3</sup> ) | Flytgräns | Jordart |                                |           |         |        |        |      |      |       |      |       |      |  |  |  |  |  |      |      |  |  |  |
| 2,70   | 0,00  |  |            | 0,00           | 2,70     | 2,00                           | 0,40      |         |                                |           |         |        |        |      |      |       |      |       |      |  |  |  |  |  |      |      |  |  |  |
|  |   |  |            | 2,70           | 5,90     |                                |           |         |                                |           |         |        |        |      |      |       |      |       |      |  |  |  |  |  |      |      |  |  |  |
| <b>Anmärkning</b>  |   | Konflytgräns från undersökningspunkt B15 sydöst om området   |            |                |          |                                |           |         |                                |           |         |        |        |      |      |       |      |       |      |  |  |  |  |  |      |      |  |  |  |

# C P T - sondering

Sida 1 av 1

| Projekt<br>Gamla Tyresövägen<br>G19025 |                  |                |      | Plats<br>Borrhål<br>Datum |                | Skarpnäck<br>19SG106<br>2019-07-22 |           |                        |                         |                        |      |                     |          |                        |                        |      |
|--|------------------|----------------|------|---------------------------|----------------|------------------------------------|-----------|------------------------|-------------------------|------------------------|------|---------------------|----------|------------------------|------------------------|------|
| Djup (m)<br>Från                       | Djup (m)<br>Till | Klassificering |      | ρ<br>t/m³                 | W <sub>L</sub> | τ <sub>fu</sub><br>kPa             | ϕ<br>o    | σ <sub>vo</sub><br>kPa | σ' <sub>vo</sub><br>kPa | σ' <sub>c</sub><br>kPa | OCR  | I <sub>D</sub><br>% | E<br>MPa | M <sub>OC</sub><br>MPa | M <sub>NC</sub><br>MPa |      |
| 0,00                                   | 2,70             | Sa Med         |      | 2,00                      |                |                                    |           | 26,5                   | 26,5                    |                        |      |                     |          |                        |                        |      |
| 2,70                                   | 2,90             | Sa L           | HOC  | 1,90                      | 0,40           | 82,8                               | 37,8      | 54,8                   | 53,8                    |                        |      | 64,6                | 25,4     | 33,7                   | 27,0                   |      |
| 2,90                                   | 3,10             | CI H           |      | 1,80                      | 0,40           |                                    | 36,0      | 58,5                   | 55,5                    |                        |      | 49,1                | 15,6     | 20,0                   | 16,0                   |      |
| 3,10                                   | 3,30             | CI M           |      | OC                        | 1,90           | 0,40                               | 65,0      | 69,6                   | 60,6                    | 510,4                  |      |                     | 8,43     |                        |                        |      |
| 3,30                                   | 3,50             | CI M           |      | OC                        | 1,90           | 0,40                               | 56,7      | 73,3                   | 62,3                    | 428,1                  |      |                     | 6,87     |                        |                        |      |
| 3,50                                   | 3,70             | CI M           |      | OC                        | 1,85           | 0,40                               | 47,2      | 77,0                   | 64,0                    | 337,7                  |      |                     | 5,28     |                        |                        |      |
| 3,70                                   | 3,90             | CI M           |      | OC                        | 1,85           | 0,40                               | 43,0      | 80,6                   | 65,6                    | 299,2                  |      |                     | 4,56     |                        |                        |      |
| 4,10                                   | 4,30             | CI L           |      | OC                        | 1,85           | 0,40                               | 39,2      | 84,2                   | 67,2                    | 264,6                  |      |                     | 3,94     |                        |                        |      |
| 4,30                                   | 4,50             | CI L           |      | OC                        | 1,85           | 0,40                               | 33,5      | 87,8                   | 68,8                    | 216,3                  |      |                     | 3,14     |                        |                        |      |
| 4,50                                   | 4,70             | CI L           |      | OC                        | 1,60           | 0,40                               | 30,0      | 91,2                   | 70,2                    | 187,5                  |      |                     | 2,67     |                        |                        |      |
| 4,70                                   | 4,90             | CI L           |      | OC                        | 1,60           | 0,40                               | 25,2      | 94,4                   | 71,4                    | 150,2                  |      |                     | 2,10     |                        |                        |      |
| 4,90                                   | 5,10             | CI L           |      | OC                        | 1,60           | 0,40                               | 23,7      | 97,5                   | 72,5                    | 138,7                  |      |                     | 1,91     |                        |                        |      |
| 5,10                                   | 5,30             | CI L           |      | OC                        | 1,60           | 0,40                               | 21,8      | 100,7                  | 73,7                    | 123,9                  |      |                     | 1,68     |                        |                        |      |
| 5,30                                   | 5,50             | CI L           |      | OC                        | 1,60           | 0,40                               | 20,7      | 103,8                  | 74,8                    | 115,9                  |      |                     | 1,55     |                        |                        |      |
| 5,50                                   | 5,70             | Si L           |      |                           | 1,70           | 0,40                               | ((102,3)) |                        | 107,0                   | 76,0                   |      |                     |          | 6,6                    | 8,0                    | 6,4  |
| 5,70                                   | 5,90             | Si L           |      |                           |                |                                    |           |                        | 110,6                   | 77,6                   |      |                     |          | 63,2                   | 28,8                   | 38,6 |
| 5,90                                   | 6,10             | Sa Med         |      |                           |                |                                    |           |                        | 114,3                   | 79,3                   |      |                     |          | 64,6                   | 30,3                   | 40,9 |
| 6,10                                   | 6,30             | Sa Med         | NCSi | 1,85                      |                | (61,7)                             |           | 118,0                  | 81,0                    |                        | 1,00 |                     |          |                        |                        | 32,7 |
| 6,30                                   | 6,50             | CI M           |      |                           |                |                                    |           |                        |                         |                        |      |                     |          | 6,8                    | 8,2                    | 6,6  |
| 6,50                                   | 6,70             | Si L           |      |                           |                |                                    |           |                        | 121,4                   | 82,4                   |      |                     |          | 16,8                   | 21,7                   | 17,4 |
| 6,70                                   | 6,90             | Si Med         |      |                           |                |                                    |           |                        | 124,9                   | 83,9                   |      |                     |          | 10,2                   | 12,7                   | 10,2 |
| 6,90                                   | 7,10             | Si L           |      |                           |                |                                    |           |                        | 128,3                   | 85,3                   |      |                     |          | 6,1                    | 7,3                    | 5,9  |
| 7,10                                   | 7,30             | Si L           |      |                           |                |                                    |           |                        | 131,7                   | 86,7                   |      |                     |          | 10,7                   | 13,3                   | 10,6 |
| 7,30                                   | 7,50             | Si Med         |      |                           |                |                                    |           |                        | 135,1                   | 88,1                   |      |                     |          | 9,9                    | 12,3                   | 9,8  |
| 7,50                                   | 7,52             | Si L           |      |                           |                |                                    |           |                        | 137,0                   | 88,9                   |      |                     |          |                        |                        |      |

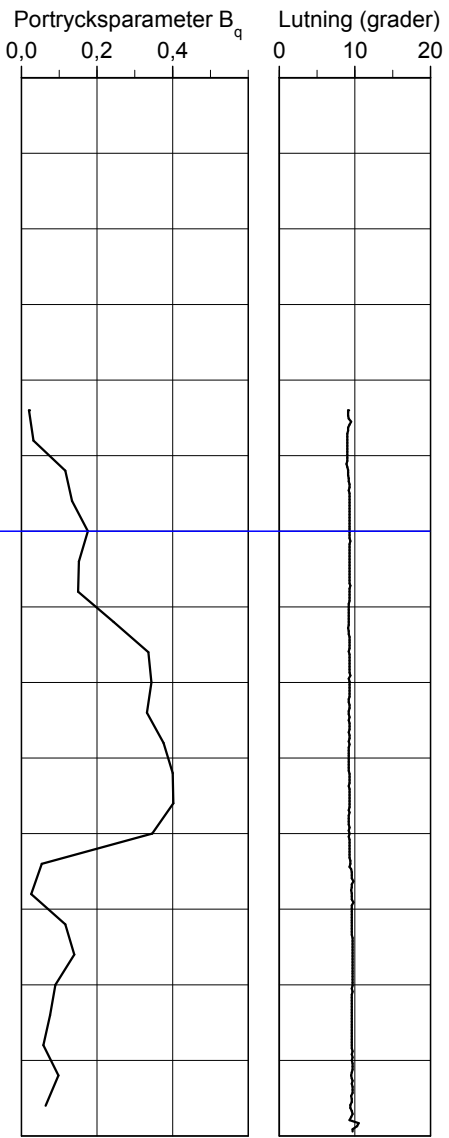
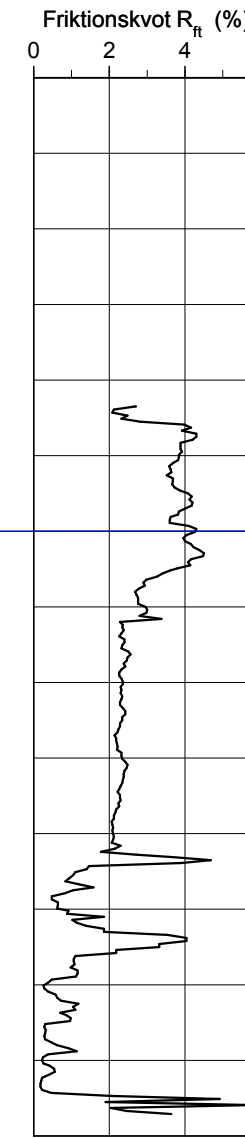
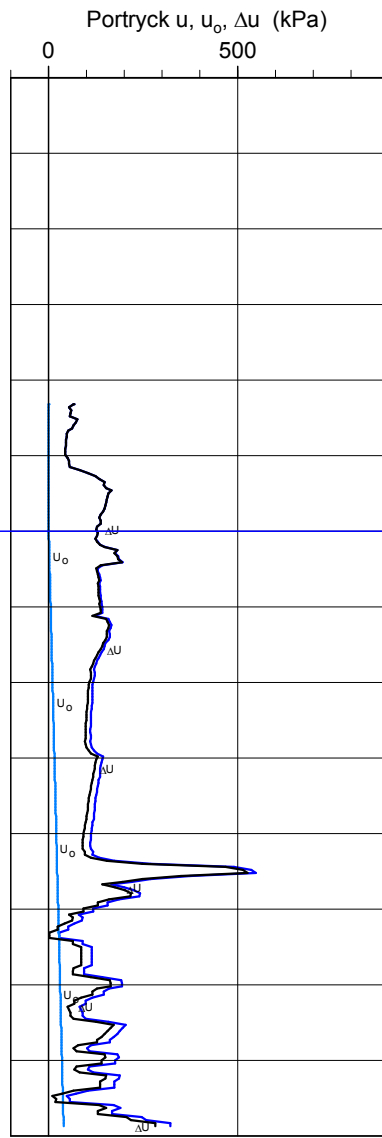
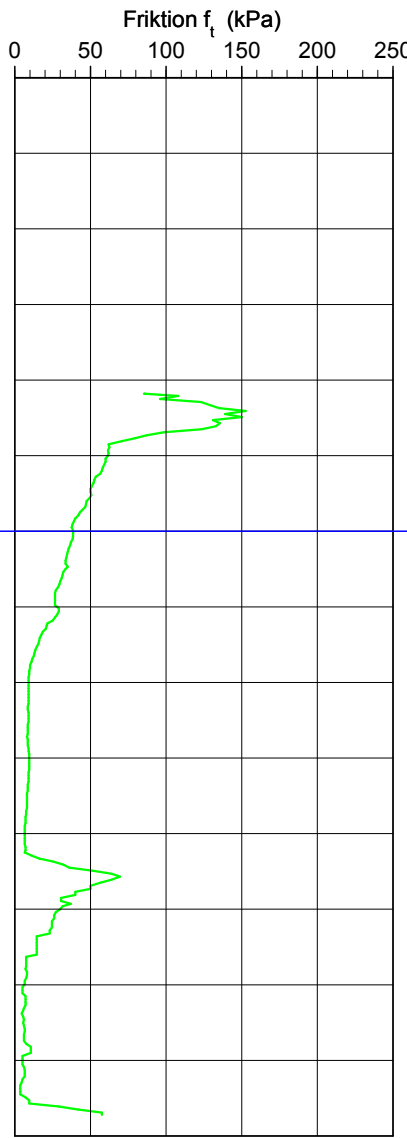
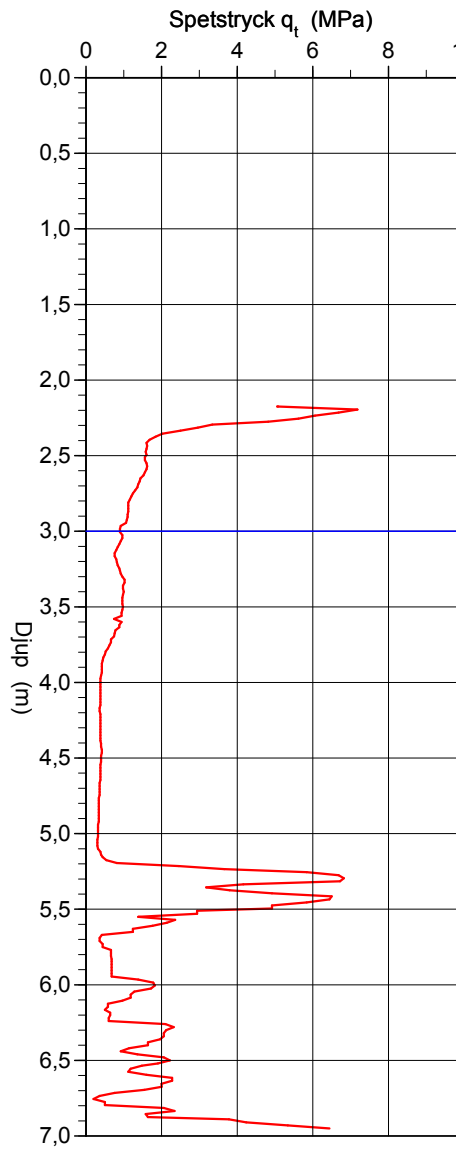
# CPT-sondering utförd enligt EN ISO 22476-1

Förborringsdjup 2,20 m  
Start djup 2,20 m  
Stopp djup 7,04 m  
Grundvattennivå 3,00 m

Referens my  
Nivå vid referens 28,30 m  
Förborrat material F  
Geometri Normal

Vätska i filter  
Borrpunktens koord.  
Utrustning Geotech 505DD  
Sond nr 4742

Projekt Gamla Tyresövägen  
Projekt nr G19025  
Plats Skarpnäck  
Borrhåll 19SG107  
Datum 2019-07-22



# CPT-sondering utvärderad enligt SGI Information 15 rev.2007

Referens my  
Nivå vid referens 28,30 m  
Grundvattenyta 3,00 m  
Startdjup 2,20 m

Förborrningsdjup 2,20 m

Förborrat material F

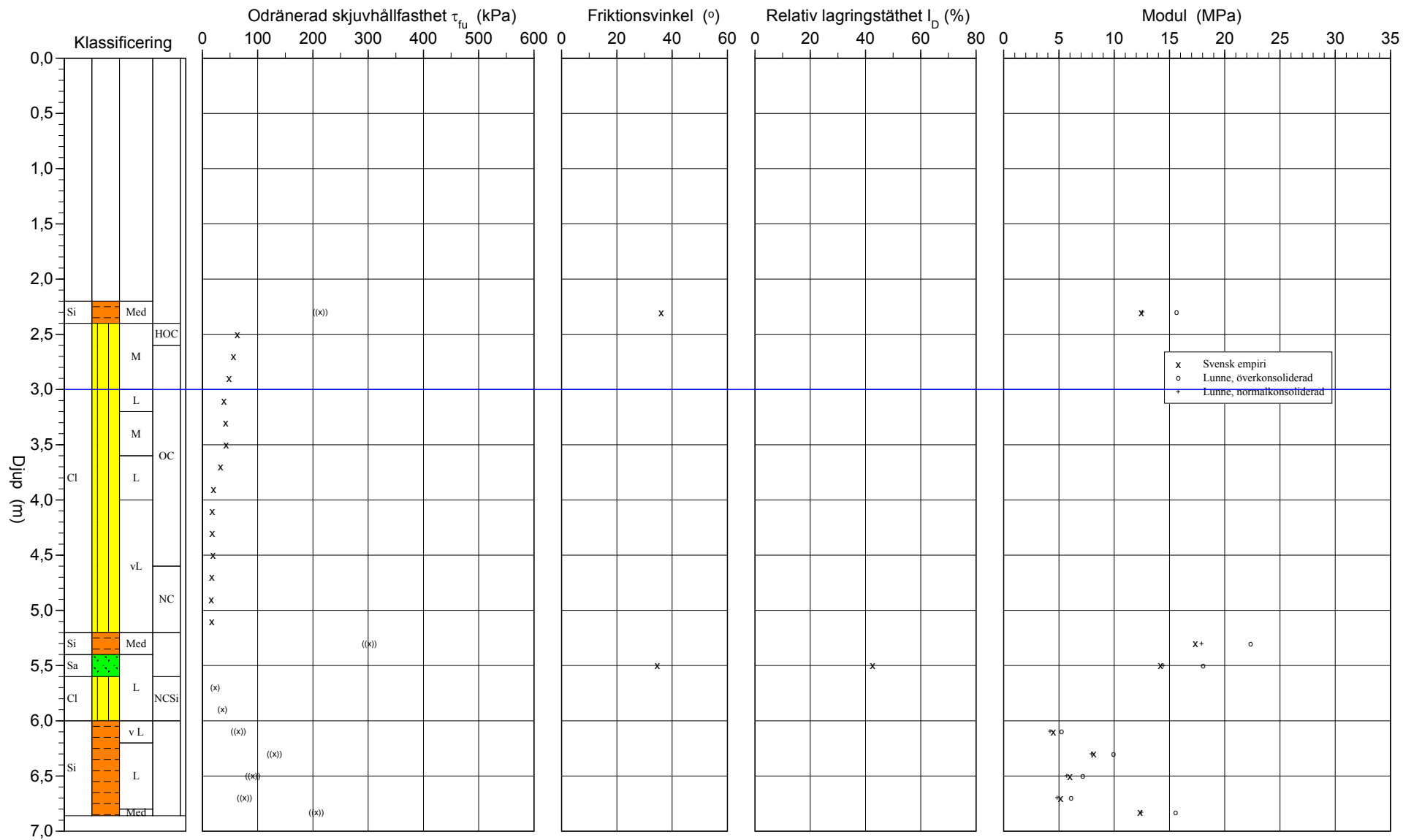
Utrustning Geotech 505DD nr 531

Geometri Normal

Utvärderare R Ramak

Datum för utvärdering 2019-08-01

Projekt Gamla Tyresövägen  
Projekt nr G19025  
Plats Skarpnäck  
Borrhål 19SG107  
Datum 2019-07-22



# CPT-sondering utvärderad enligt SGI Information 15 rev.2007

Referens my  
Nivå vid referens 28,30 m  
Grundvattenyta 3,00 m  
Startdjup 2,20 m

Förborrningsdjup 2,20 m

Förborrat material F

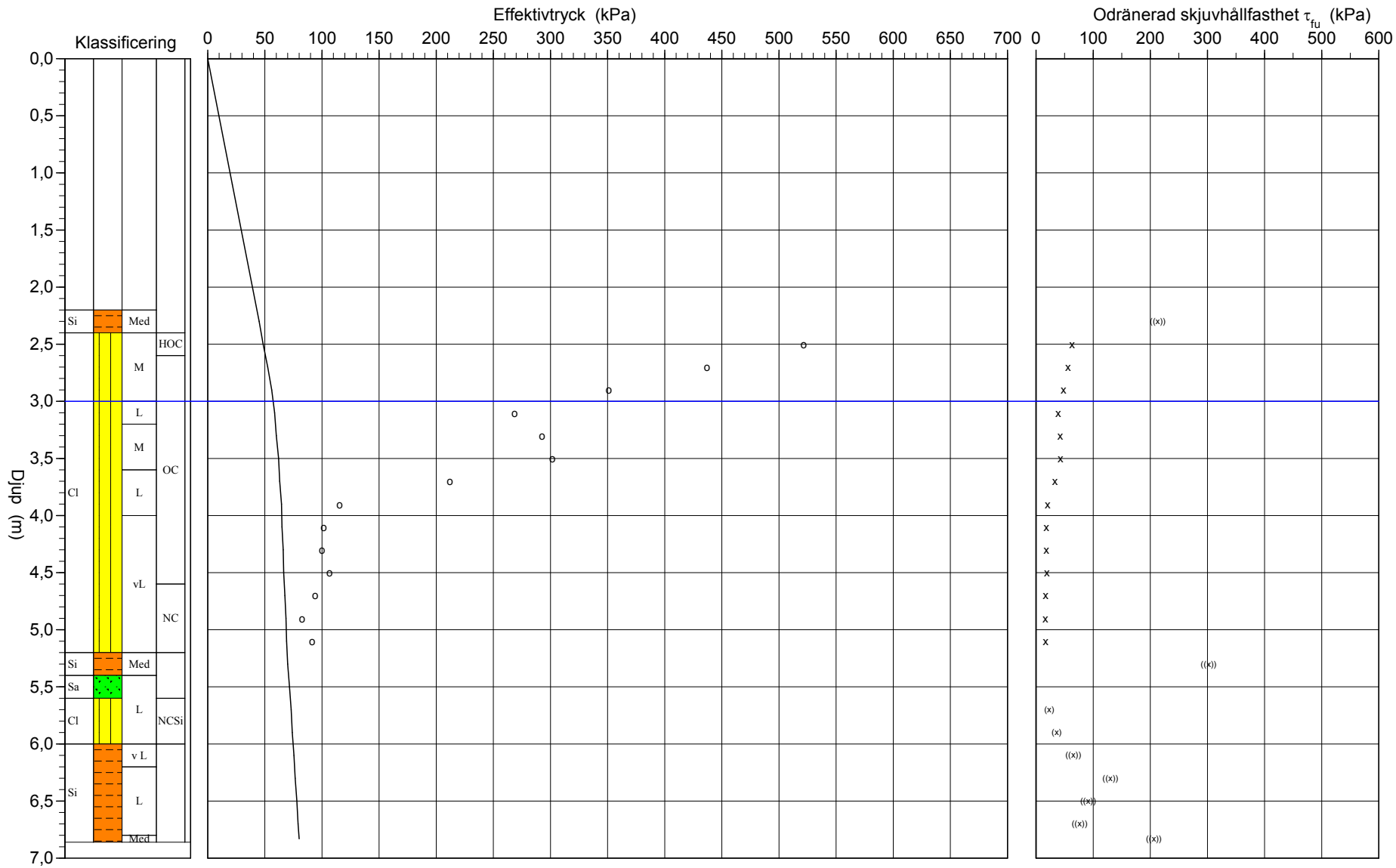
Utrustning Geotech 505DD nr 531

Geometri Normal

Utvärderare R Ramak

Datum för utvärdering 2019-08-01

Projekt Gamla Tyresövägen  
Projekt nr G19025  
Plats Skarpnäck  
Borrhål 19SG107  
Datum 2019-07-22



# C P T - sondering

| <b>Projekt</b><br><b>Gamla Tyresövägen<br/>G19025</b>  |   | <b>Plats</b> <b>Skarpnäck</b><br><b>Borrhål</b> <b>19SG107</b><br><b>Datum</b> <b>2019-07-22</b>  |            |                |          |            |      |        |          |      |                                |           |         |      |      |       |      |       |      |      |      |      |  |      |      |  |  |  |
|--|---|---|------------|----------------|----------|------------|------|--------|----------|------|--------------------------------|-----------|---------|------|------|-------|------|-------|------|------|------|------|--|------|------|--|--|--|
| Förborningsdjup<br>Startdjup<br>Stoppdjup<br>Grundvattenyta<br>Referens<br>Nivå vid referens | 2,20 m<br>2,20 m<br>7,04 m<br>3,00 m<br>my<br>28,30 m | Förborrat material<br>Geometri<br>Vätska i filter<br>Operatör<br>Utrustning<br><input checked="" type="checkbox"/> <b>Portryck registrerat vid sondering</b>  |            |                |          |            |      |        |          |      |                                |           |         |      |      |       |      |       |      |      |      |      |  |      |      |  |  |  |
| <b>Kalibreringsdata</b>  |   | <b>Nollvärden, kPa</b> <table border="1"> <thead> <tr> <th></th> <th>Portryck</th> <th>Friktion</th> <th>Spetstryck</th> </tr> </thead> <tbody> <tr> <td>Före</td> <td>253,30</td> <td>129,20</td> <td>7,38</td> </tr> <tr> <td>Efter</td> <td>265,10</td> <td>130,60</td> <td>7,34</td> </tr> <tr> <td>Diff</td> <td>11,80</td> <td>1,40</td> <td>-0,03</td> </tr> </tbody> </table>   |            | Portryck       | Friktion | Spetstryck | Före | 253,30 | 129,20   | 7,38 | Efter                          | 265,10    | 130,60  | 7,34 | Diff | 11,80 | 1,40 | -0,03 |      |      |      |      |  |      |      |  |  |  |
|  | Portryck  | Friktion  | Spetstryck |                |          |            |      |        |          |      |                                |           |         |      |      |       |      |       |      |      |      |      |  |      |      |  |  |  |
| Före   | 253,30  | 129,20  | 7,38       |                |          |            |      |        |          |      |                                |           |         |      |      |       |      |       |      |      |      |      |  |      |      |  |  |  |
| Efter  | 265,10  | 130,60  | 7,34       |                |          |            |      |        |          |      |                                |           |         |      |      |       |      |       |      |      |      |      |  |      |      |  |  |  |
| Diff   | 11,80   | 1,40  | -0,03      |                |          |            |      |        |          |      |                                |           |         |      |      |       |      |       |      |      |      |      |  |      |      |  |  |  |
| <b>Skalfaktorer</b>  |   | <b>Korrigering</b><br>Portryck (ingen)<br>Friktion (ingen)<br>Spetstryck (ingen)<br><br>Bedömd sonderingsklass  |            |                |          |            |      |        |          |      |                                |           |         |      |      |       |      |       |      |      |      |      |  |      |      |  |  |  |
| <input type="checkbox"/> Använd skalfaktorer vid beräkning                                   |   |   |            |                |          |            |      |        |          |      |                                |           |         |      |      |       |      |       |      |      |      |      |  |      |      |  |  |  |
| <b>Portrycksobservationer</b>  |   | <b>Skiktgränser</b> <table border="1"> <thead> <tr> <th>Djup (m)</th> <th>Portryck (kPa)</th> <th>Djup (m)</th> </tr> </thead> <tbody> <tr> <td>3,00</td> <td>0,00</td> <td></td> </tr> </tbody> </table> <b>Klassificering</b> <table border="1"> <thead> <tr> <th colspan="2">Djup (m)</th> <th>Densitet (ton/m<sup>3</sup>)</th> <th>Flytgräns</th> <th>Jordart</th> </tr> <tr> <th>Från</th> <th>Till</th> <td></td> <td></td> <td></td> </tr> </thead> <tbody> <tr> <td>0,00</td> <td>2,20</td> <td>2,00</td> <td>0,40</td> <td></td> </tr> <tr> <td>2,20</td> <td>5,20</td> <td></td> <td></td> <td></td> </tr> </tbody> </table> | Djup (m)   | Portryck (kPa) | Djup (m) | 3,00       | 0,00 |        | Djup (m) |      | Densitet (ton/m <sup>3</sup> ) | Flytgräns | Jordart | Från | Till |       |      |       | 0,00 | 2,20 | 2,00 | 0,40 |  | 2,20 | 5,20 |  |  |  |
| Djup (m)   | Portryck (kPa)  | Djup (m)  |            |                |          |            |      |        |          |      |                                |           |         |      |      |       |      |       |      |      |      |      |  |      |      |  |  |  |
| 3,00   | 0,00  |   |            |                |          |            |      |        |          |      |                                |           |         |      |      |       |      |       |      |      |      |      |  |      |      |  |  |  |
| Djup (m)   |   | Densitet (ton/m <sup>3</sup> )  | Flytgräns  | Jordart        |          |            |      |        |          |      |                                |           |         |      |      |       |      |       |      |      |      |      |  |      |      |  |  |  |
| Från   | Till  |   |            |                |          |            |      |        |          |      |                                |           |         |      |      |       |      |       |      |      |      |      |  |      |      |  |  |  |
| 0,00   | 2,20  | 2,00  | 0,40       |                |          |            |      |        |          |      |                                |           |         |      |      |       |      |       |      |      |      |      |  |      |      |  |  |  |
| 2,20   | 5,20  |   |            |                |          |            |      |        |          |      |                                |           |         |      |      |       |      |       |      |      |      |      |  |      |      |  |  |  |
| <b>Anmärkning</b><br>Konflytgräns från punkt B15 sydöst om området                           |   |   |            |                |          |            |      |        |          |      |                                |           |         |      |      |       |      |       |      |      |      |      |  |      |      |  |  |  |

# C P T - sondering

Sida 1 av 1

| Projekt<br>Gamla Tyresövägen<br>G19025 |      |                |      |  | Plats<br>Borrhål |                 | Skarpnäck        |                 |       |                |       |                 |                 |
|--|------|----------------|------|--|------------------|-----------------|------------------|-----------------|-------|----------------|-------|-----------------|-----------------|
|  |      |                |      |  | Datum            |                 | 19SG107          |                 |       |                |       |                 |                 |
| Djup (m)                               |      |                |      |  | φ                | σ <sub>vo</sub> | σ' <sub>vo</sub> | σ' <sub>c</sub> | OCR   | I <sub>D</sub> | E     | M <sub>OC</sub> | M <sub>NC</sub> |
| Från                                   | Till | Klassificering |      |  | o                | kPa             | kPa              | kPa             |       | %              | MPa   | MPa             | MPa             |
| 0,00                                   | 2,20 | Si Med         |      |  | 2,00             |                 |                  |                 |       |                |       |                 |                 |
| 2,20                                   | 2,40 | Si Med         |      |  | 1,80             | 0,40            | ((212,8))        | (35,9)          | 21,6  | 21,6           |       |                 |                 |
| 2,40                                   | 2,60 | Cl M           | HOC  |  | 1,90             | 0,40            | 63,2             |                 | 44,9  | 44,9           |       |                 |                 |
| 2,60                                   | 2,80 | Cl M           | OC   |  | 1,85             | 0,40            | 55,7             |                 | 48,6  | 48,6           | 521,4 | 10,74           |                 |
| 2,80                                   | 3,00 | Cl M           | OC   |  | 1,85             | 0,40            | 47,4             |                 | 52,2  | 52,2           | 437,1 | 8,37            |                 |
| 3,00                                   | 3,20 | Cl L           | OC   |  | 1,85             | 0,40            | 38,6             |                 | 55,9  | 55,9           | 351,2 | 6,29            |                 |
| 3,20                                   | 3,40 | Cl M           | OC   |  | 1,85             | 0,40            | 41,5             |                 | 63,1  | 60,1           | 292,5 | 4,59            |                 |
| 3,40                                   | 3,60 | Cl M           | OC   |  | 1,85             | 0,40            | 42,8             |                 | 66,8  | 61,8           | 301,3 | 4,86            |                 |
| 3,60                                   | 3,80 | Cl L           | OC   |  | 1,60             | 0,40            | 32,4             |                 | 70,1  | 63,1           | 211,7 | 3,35            |                 |
| 3,80                                   | 4,00 | Cl L           | OC   |  | 1,60             | 0,40            | 20,0             |                 | 73,3  | 64,3           | 115,4 | 1,79            |                 |
| 4,00                                   | 4,20 | Cl vL          | OC   |  | 1,30             | 0,40            | 18,1             |                 | 76,1  | 65,1           | 101,6 | 1,56            |                 |
| 4,20                                   | 4,40 | Cl vL          | OC   |  | 1,30             | 0,40            | 17,9             |                 | 78,7  | 65,7           | 99,8  | 1,52            |                 |
| 4,40                                   | 4,60 | Cl vL          | OC   |  | 1,60             | 0,40            | 18,9             |                 | 81,5  | 66,5           | 106,7 | 1,60            |                 |
| 4,60                                   | 4,80 | Cl vL          | NC   |  | 1,45             | 0,40            | 17,1             |                 | 84,5  | 67,5           | 93,8  | 1,39            |                 |
| 4,80                                   | 5,00 | Cl vL          | NC   |  | 1,45             | 0,40            | 15,5             |                 | 87,4  | 68,4           | 82,6  | 1,21            |                 |
| 5,00                                   | 5,20 | Cl vL          | NC   |  | 1,30             | 0,40            | 16,8             |                 | 90,1  | 69,1           | 91,3  | 1,32            |                 |
| 5,20                                   | 5,40 | Si Med         |      |  | 1,80             |                 | ((302,0))        |                 | 93,1  | 70,1           |       |                 |                 |
| 5,40                                   | 5,60 | Sa L           |      |  | 1,80             |                 |                  | 34,6            | 96,6  | 71,6           |       |                 |                 |
| 5,60                                   | 5,80 | Cl L           | NCSI |  | 1,60             |                 | (23,1)           |                 | 100,0 | 73,0           |       |                 |                 |
| 5,80                                   | 6,00 | Cl L           | NCSI |  | 1,60             |                 | (35,5)           |                 | 103,1 | 74,1           |       |                 |                 |
| 6,00                                   | 6,20 | Si v L         |      |  | 1,60             |                 | ((64,7))         |                 | 106,2 | 75,2           |       |                 |                 |
| 6,20                                   | 6,40 | Si L           |      |  | 1,70             |                 | ((129,5))        |                 | 109,5 | 76,5           |       |                 |                 |
| 6,40                                   | 6,60 | Si L           |      |  | 1,70             |                 | ((90,5))         |                 | 112,8 | 77,8           |       |                 |                 |
| 6,60                                   | 6,80 | Si L           |      |  | 1,70             |                 | ((75,8))         |                 | 116,2 | 79,2           |       |                 |                 |
| 6,80                                   | 6,86 | Si Med         |      |  | 1,80             |                 | ((206,0))        |                 | 118,4 | 80,1           |       |                 |                 |

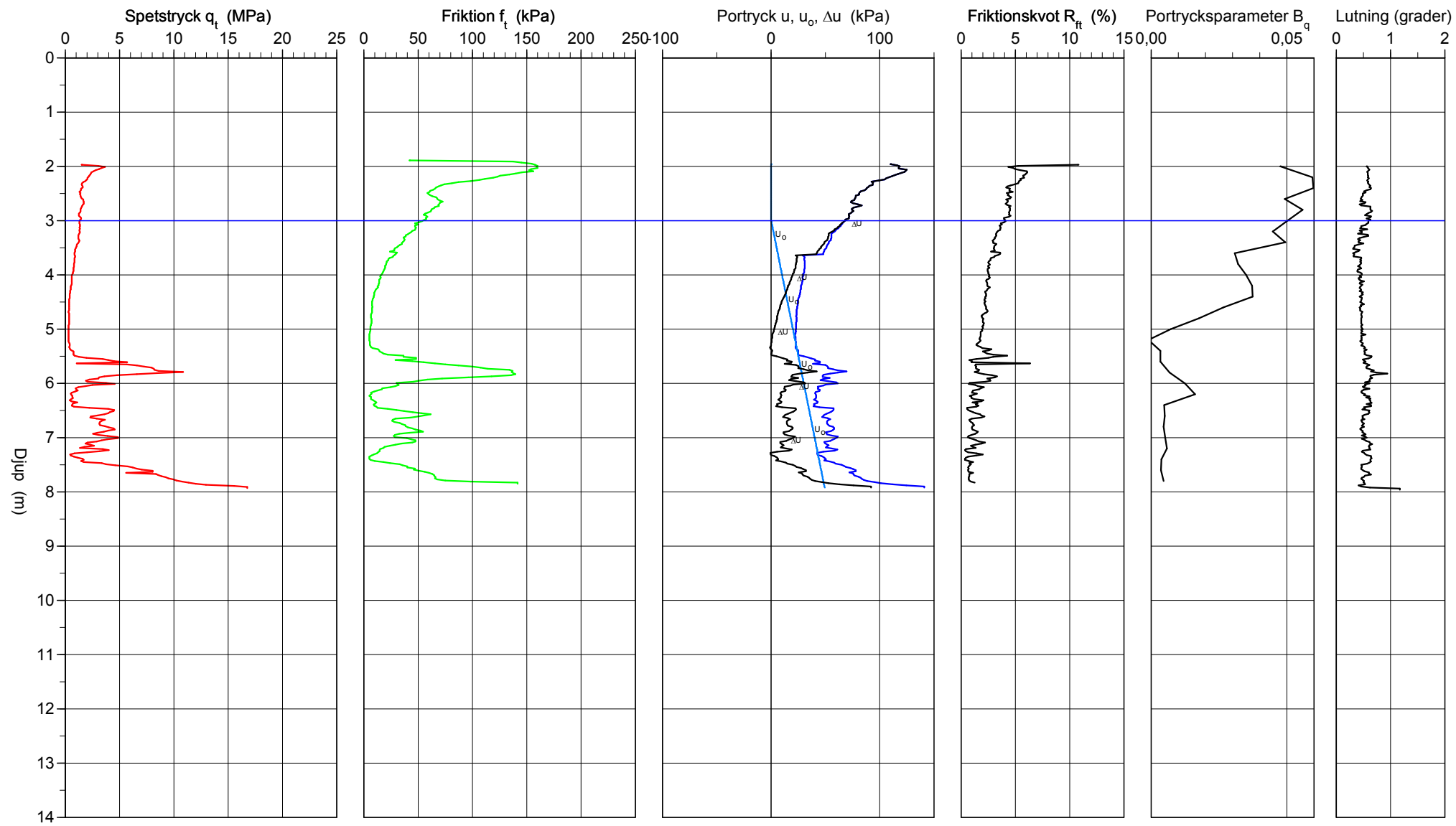
# CPT-sondering utförd enligt EN ISO 22476-1

Förborringsdjup 2,00 m  
Start djup 2,00 m  
Stopp djup 7,96 m  
Grundvattennivå 3,00 m

Referens my  
Nivå vid referens 28,31 m  
Förborrat material F  
Geometri Normal

Vätska i filter  
Borrpunktens koord.  
Utrustning Geotech 505DD  
Sond nr 4742

Projekt Gamla Tyresövägen  
Projekt nr G19025  
Plats Skarpnäck  
Borrhål 19SG109  
Datum 2019-07-22



# CPT-sondering utvärderad enligt SGI Information 15 rev.2007

Referens my  
Nivå vid referens 28,31 m  
Grundvattenyta 3,00 m  
Startdjup 2,00 m

Förborrningsdjup 2,00 m

Förborrat material F

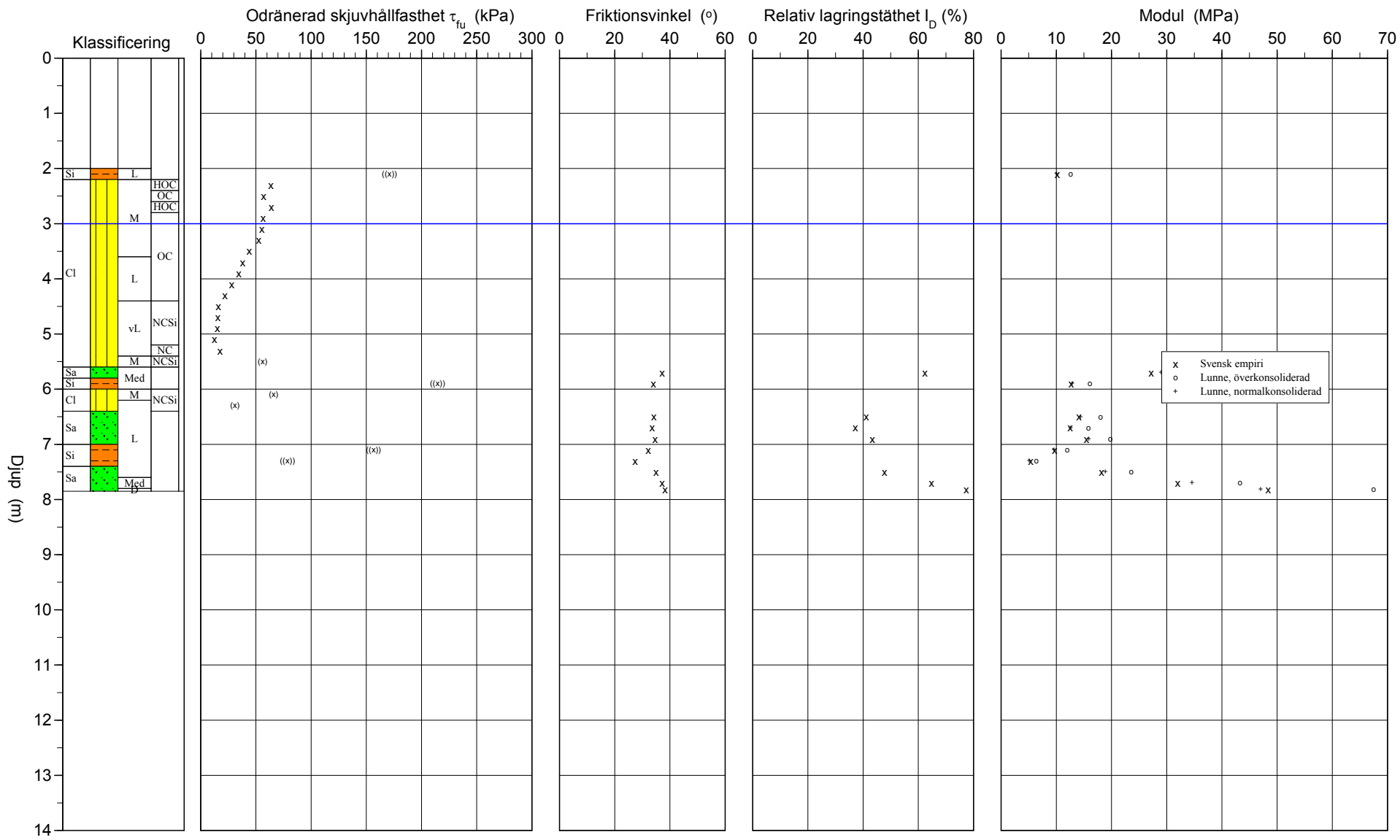
Utrustning Geotech 505DD nr 531

Geometri Normal

Utvärderare R Ramak

Datum för utvärdering 2019-08-01

Projekt Gamla Tyresövägen  
Projekt nr G19025  
Plats Skarpnäck  
Borrhål 19SG109  
Datum 2019-07-22



# CPT-sondering utvärderad enligt SGI Information 15 rev.2007

Referens my  
Nivå vid referens 28,31 m  
Grundvattenyta 3,00 m  
Startdjup 2,00 m

Förborrningsdjup 2,00 m

Förborrat material F

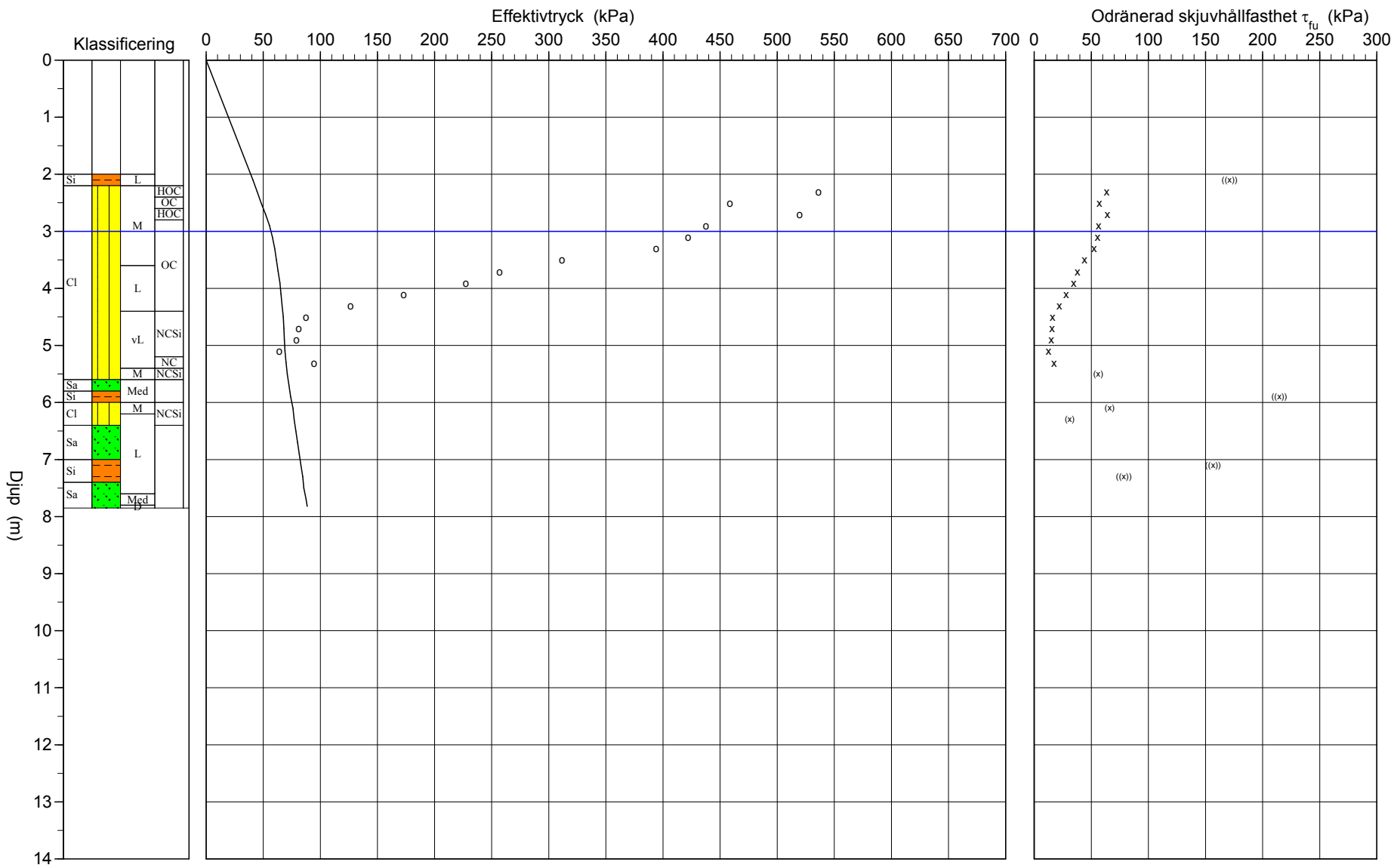
Utrustning Geotech 505DD nr 531

Geometri Normal

Utvärderare R Ramak

Datum för utvärdering 2019-08-01

Projekt Gamla Tyresövägen  
Projekt nr G19025  
Plats Skarpnäck  
Borrhål 19SG109  
Datum 2019-07-22



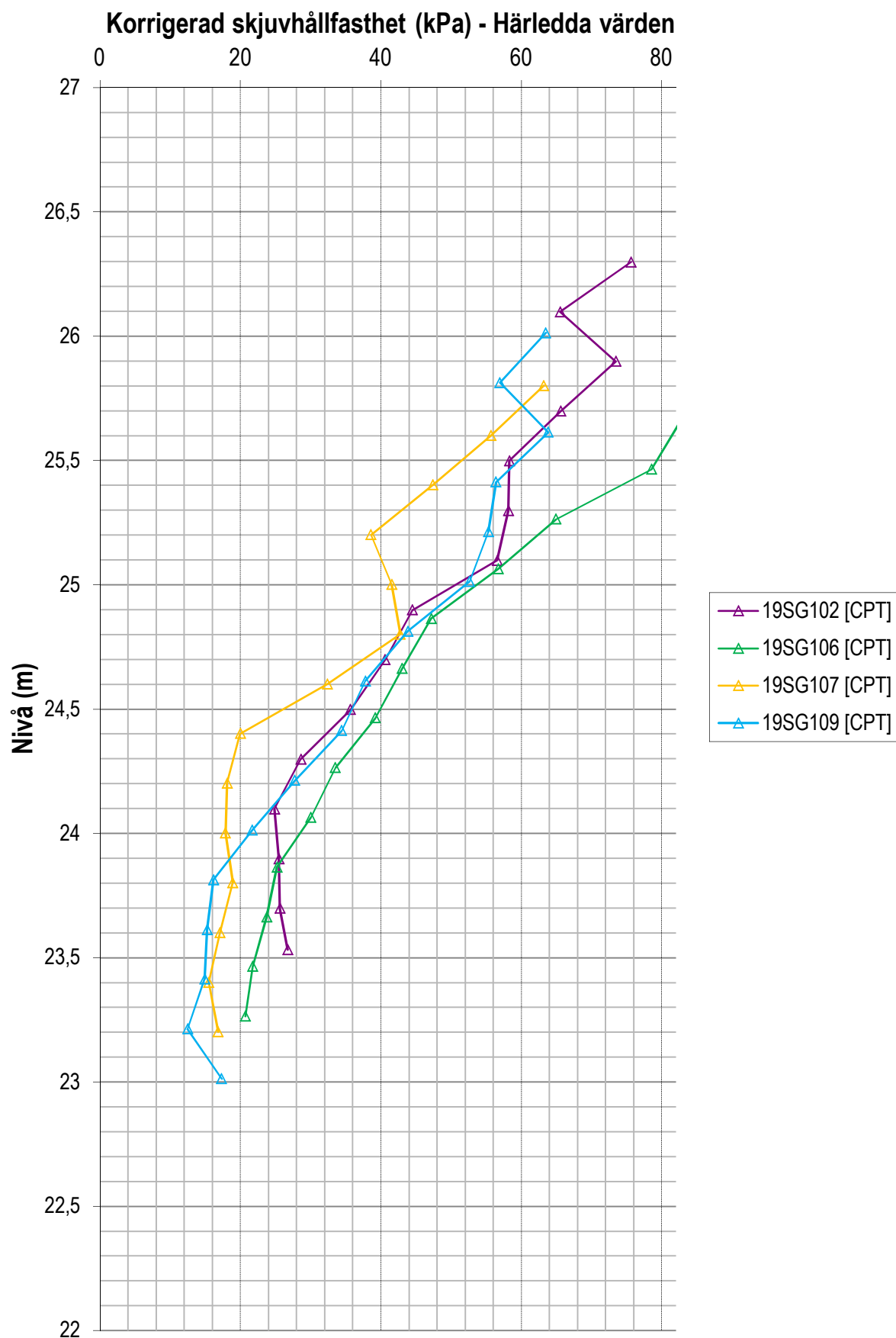
# C P T - sondering

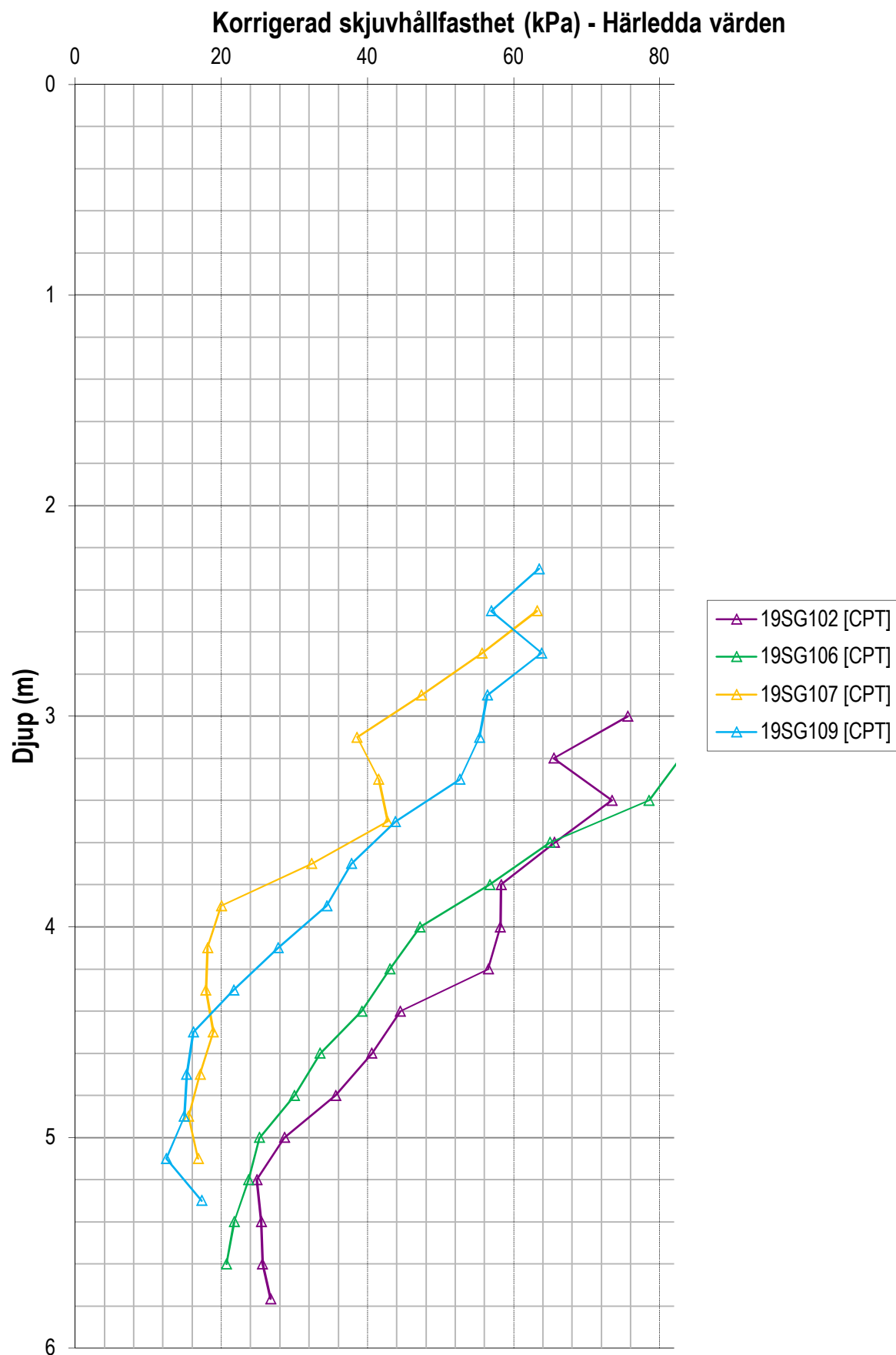
| <b>Projekt</b><br><b>Gamla Tyresövägen<br/>G19025</b>  |   | <b>Plats</b> <b>Skarpnäck</b><br><b>Borrhål</b> <b>19SG109</b><br><b>Datum</b> <b>2019-07-22</b>  |            |                |          |            |      |        |          |      |                                |           |         |      |      |       |      |       |      |      |      |      |  |      |      |  |  |  |
|--|---|---|------------|----------------|----------|------------|------|--------|----------|------|--------------------------------|-----------|---------|------|------|-------|------|-------|------|------|------|------|--|------|------|--|--|--|
| Förborningsdjup<br>Startdjup<br>Stoppdjup<br>Grundvattenyta<br>Referens<br>Nivå vid referens | 2,00 m<br>2,00 m<br>7,96 m<br>3,00 m<br>my<br>28,31 m | Förborrat material<br>Geometri<br>Vätska i filter<br>Operatör<br>Utrustning<br><input checked="" type="checkbox"/> <b>Portryck registrerat vid sondering</b>  |            |                |          |            |      |        |          |      |                                |           |         |      |      |       |      |       |      |      |      |      |  |      |      |  |  |  |
| <b>Kalibreringsdata</b>  |   | <b>Nollvärden, kPa</b> <table border="1"> <thead> <tr> <th></th> <th>Portryck</th> <th>Friktion</th> <th>Spetstryck</th> </tr> </thead> <tbody> <tr> <td>Före</td> <td>253,10</td> <td>129,20</td> <td>7,40</td> </tr> <tr> <td>Efter</td> <td>286,70</td> <td>129,50</td> <td>7,32</td> </tr> <tr> <td>Diff</td> <td>33,60</td> <td>0,30</td> <td>-0,08</td> </tr> </tbody> </table>   |            | Portryck       | Friktion | Spetstryck | Före | 253,10 | 129,20   | 7,40 | Efter                          | 286,70    | 129,50  | 7,32 | Diff | 33,60 | 0,30 | -0,08 |      |      |      |      |  |      |      |  |  |  |
|  | Portryck  | Friktion  | Spetstryck |                |          |            |      |        |          |      |                                |           |         |      |      |       |      |       |      |      |      |      |  |      |      |  |  |  |
| Före   | 253,10  | 129,20  | 7,40       |                |          |            |      |        |          |      |                                |           |         |      |      |       |      |       |      |      |      |      |  |      |      |  |  |  |
| Efter  | 286,70  | 129,50  | 7,32       |                |          |            |      |        |          |      |                                |           |         |      |      |       |      |       |      |      |      |      |  |      |      |  |  |  |
| Diff   | 33,60   | 0,30  | -0,08      |                |          |            |      |        |          |      |                                |           |         |      |      |       |      |       |      |      |      |      |  |      |      |  |  |  |
| <b>Skalfaktorer</b>  |   | <b>Korrigering</b><br>Portryck (ingen)<br>Friktion (ingen)<br>Spetstryck (ingen)<br><br>Bedömd sonderingsklass  |            |                |          |            |      |        |          |      |                                |           |         |      |      |       |      |       |      |      |      |      |  |      |      |  |  |  |
| <input type="checkbox"/> Använd skalfaktorer vid beräkning                                   |   |   |            |                |          |            |      |        |          |      |                                |           |         |      |      |       |      |       |      |      |      |      |  |      |      |  |  |  |
| <b>Portrycksobservationer</b>  |   | <b>Skiktgränser</b> <table border="1"> <thead> <tr> <th>Djup (m)</th> <th>Portryck (kPa)</th> <th>Djup (m)</th> </tr> </thead> <tbody> <tr> <td>3,00</td> <td>0,00</td> <td></td> </tr> </tbody> </table> <b>Klassificering</b> <table border="1"> <thead> <tr> <th colspan="2">Djup (m)</th> <th>Densitet (ton/m<sup>3</sup>)</th> <th>Flytgräns</th> <th>Jordart</th> </tr> <tr> <th>Från</th> <th>Till</th> <td></td> <td></td> <td></td> </tr> </thead> <tbody> <tr> <td>0,00</td> <td>2,00</td> <td>2,00</td> <td>0,40</td> <td></td> </tr> <tr> <td>2,00</td> <td>5,50</td> <td></td> <td></td> <td></td> </tr> </tbody> </table> | Djup (m)   | Portryck (kPa) | Djup (m) | 3,00       | 0,00 |        | Djup (m) |      | Densitet (ton/m <sup>3</sup> ) | Flytgräns | Jordart | Från | Till |       |      |       | 0,00 | 2,00 | 2,00 | 0,40 |  | 2,00 | 5,50 |  |  |  |
| Djup (m)   | Portryck (kPa)  | Djup (m)  |            |                |          |            |      |        |          |      |                                |           |         |      |      |       |      |       |      |      |      |      |  |      |      |  |  |  |
| 3,00   | 0,00  |   |            |                |          |            |      |        |          |      |                                |           |         |      |      |       |      |       |      |      |      |      |  |      |      |  |  |  |
| Djup (m)   |   | Densitet (ton/m <sup>3</sup> )  | Flytgräns  | Jordart        |          |            |      |        |          |      |                                |           |         |      |      |       |      |       |      |      |      |      |  |      |      |  |  |  |
| Från   | Till  |   |            |                |          |            |      |        |          |      |                                |           |         |      |      |       |      |       |      |      |      |      |  |      |      |  |  |  |
| 0,00   | 2,00  | 2,00  | 0,40       |                |          |            |      |        |          |      |                                |           |         |      |      |       |      |       |      |      |      |      |  |      |      |  |  |  |
| 2,00   | 5,50  |   |            |                |          |            |      |        |          |      |                                |           |         |      |      |       |      |       |      |      |      |      |  |      |      |  |  |  |
| <b>Anmärkning</b>  |   |   |            |                |          |            |      |        |          |      |                                |           |         |      |      |       |      |       |      |      |      |      |  |      |      |  |  |  |

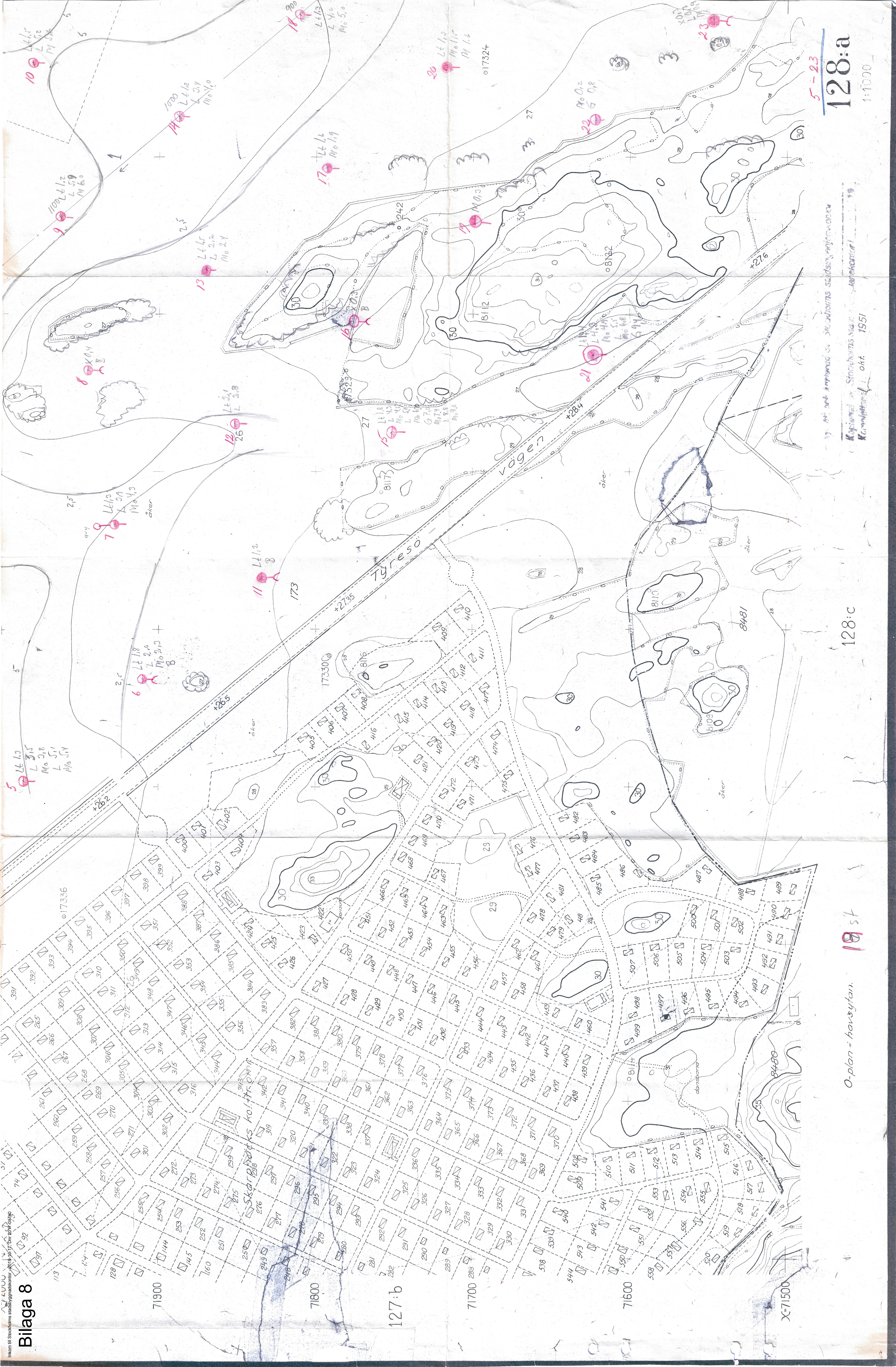
# C P T - sondering

Sida 1 av 1

| Projekt<br>Gamla Tyresövägen<br>G19025 |                  |                |                            |       | Plats<br>Borrhål   |             | Skarpnäck<br>19SG109<br>Datum 2019-07-22 |                       |                      |       |                     |          |                        |                        |
|--|------------------|----------------|----------------------------|-------|--------------------|-------------|--|-----------------------|----------------------|-------|---------------------|----------|------------------------|------------------------|
| Djup (m)<br>Från                       | Djup (m)<br>Till | Klassificering | $\rho$<br>t/m <sup>3</sup> | $W_L$ | $\tau_{fu}$<br>kPa | $\phi$<br>° | $\sigma_{vo}$<br>kPa                     | $\sigma'_{vo}$<br>kPa | $\sigma'_{c}$<br>kPa | OCR   | I <sub>D</sub><br>% | E<br>MPa | M <sub>OC</sub><br>MPa | M <sub>NC</sub><br>MPa |
| 0,00                                   | 2,00             |                | 2,00                       |       |                    |             | 19,6                                     | 19,6                  |                      |       |                     |          |                        |                        |
| 2,00                                   | 2,20             | Si L           | 1,70                       | 0,40  | ((170,8))          |             | 40,9                                     | 40,9                  |                      |       |                     |          |                        |                        |
| 2,20                                   | 2,40             | CI M           | HOC                        | 1,90  | 0,40               | 63,5        | 44,4                                     | 44,4                  | 535,9                | 12,06 |                     |          |                        |                        |
| 2,40                                   | 2,60             | CI M           | OC                         | 1,85  | 0,40               | 56,9        | 48,1                                     | 48,1                  | 458,6                | 9,53  |                     |          |                        |                        |
| 2,60                                   | 2,80             | CI M           | HOC                        | 1,90  | 0,40               | 63,8        | 51,8                                     | 51,8                  | 519,4                | 10,03 |                     |          |                        |                        |
| 2,80                                   | 3,00             | CI M           | OC                         | 1,85  | 0,40               | 56,4        | 55,5                                     | 55,5                  | 437,4                | 7,89  |                     |          |                        |                        |
| 3,00                                   | 3,20             | CI M           | OC                         | 1,85  | 0,40               | 55,3        | 59,1                                     | 58,1                  | 422,1                | 7,26  |                     |          |                        |                        |
| 3,20                                   | 3,40             | CI M           | OC                         | 1,85  | 0,40               | 52,6        | 62,7                                     | 59,7                  | 393,8                | 6,59  |                     |          |                        |                        |
| 3,40                                   | 3,60             | CI M           | OC                         | 1,85  | 0,40               | 43,8        | 66,4                                     | 61,4                  | 311,2                | 5,07  |                     |          |                        |                        |
| 3,60                                   | 3,80             | CI L           | OC                         | 1,85  | 0,40               | 37,8        | 70,0                                     | 63,0                  | 257,0                | 4,08  |                     |          |                        |                        |
| 3,80                                   | 4,00             | CI L           | OC                         | 1,60  | 0,40               | 34,4        | 73,4                                     | 64,4                  | 227,4                | 3,53  |                     |          |                        |                        |
| 4,00                                   | 4,20             | CI L           | OC                         | 1,60  | 0,40               | 27,8        | 76,5                                     | 65,5                  | 173,0                | 2,64  |                     |          |                        |                        |
| 4,20                                   | 4,40             | CI L           | OC                         | 1,60  | 0,40               | 21,7        | 79,7                                     | 66,7                  | 126,5                | 1,90  |                     |          |                        |                        |
| 4,40                                   | 4,60             | CI VL          | NCSi                       | 1,30  | 0,40               | 16,2        | 82,5                                     | 67,5                  | 87,3                 | 1,29  |                     |          |                        |                        |
| 4,60                                   | 4,80             | Cl VL          | NCSi                       | 1,30  | 0,40               | 15,3        | 85,1                                     | 68,1                  | 81,1                 | 1,19  |                     |          |                        |                        |
| 4,80                                   | 5,00             | Cl VL          | NCSi                       | 1,30  | 0,40               | 14,9        | 87,6                                     | 68,6                  | 78,7                 | 1,15  |                     |          |                        |                        |
| 5,00                                   | 5,20             | Cl VL          | NCSi                       | 1,30  | 0,40               | 12,5        | 90,2                                     | 69,2                  | 64,0                 | 1,00  |                     |          |                        |                        |
| 5,20                                   | 5,40             | Cl VL          | NC                         | 1,30  | 0,40               | 17,3        | 92,7                                     | 69,7                  | 94,4                 | 1,35  |                     |          |                        |                        |
| 5,40                                   | 5,60             | Cl M           | NCSi                       | 1,85  |                    | (55,9)      | 95,8                                     | 70,8                  |                      | 1,00  |                     |          |                        |                        |
| 5,60                                   | 5,80             | Sa Med         |                            | 1,90  |                    |             | 37,1                                     | 99,5                  | 72,5                 |       |                     |          |                        |                        |
| 5,80                                   | 6,00             | Si Med         |                            | 1,80  | ((214,4))          | (34,0)      | 103,1                                    | 74,1                  |                      |       | 62,4                | 27,2     | 36,3                   | 29,0                   |
| 6,00                                   | 6,20             | CI M           | NCSi                       | 1,85  | (65,8)             |             | 106,7                                    | 75,7                  |                      | 1,00  |                     |          | 12,7                   | 16,1                   |
| 6,20                                   | 6,40             | CI L           | NCSi                       | 1,60  | (30,9)             |             | 110,1                                    | 77,1                  |                      | 1,00  |                     |          |                        | 12,8                   |
| 6,40                                   | 6,60             | Sa L           |                            | 1,80  |                    |             | 34,2                                     | 113,4                 | 78,4                 |       |                     | 41,1     | 14,1                   | 18,0                   |
| 6,60                                   | 6,80             | Sa L           |                            | 1,80  |                    |             | 33,6                                     | 116,9                 | 79,9                 |       |                     | 37,1     | 12,5                   | 15,7                   |
| 6,80                                   | 7,00             | Sa L           |                            | 1,80  |                    |             | 34,5                                     | 120,5                 | 81,5                 |       |                     | 43,4     | 15,5                   | 19,8                   |
| 7,00                                   | 7,20             | Si L           |                            | 1,70  | ((156,4))          | (32,2)      | 123,9                                    | 82,9                  |                      |       |                     | 9,7      | 12,0                   | 9,6                    |
| 7,20                                   | 7,40             | Si L           |                            | 1,70  | ((78,6))           | (27,5)      | 127,2                                    | 84,2                  |                      |       |                     | 5,4      | 6,3                    | 5,1                    |
| 7,40                                   | 7,60             | Sa L           |                            | 1,80  |                    |             | 35,0                                     | 130,7                 | 85,7                 |       |                     | 47,7     | 18,2                   | 23,6                   |
| 7,60                                   | 7,80             | Sa Med         |                            | 1,90  |                    |             | 37,1                                     | 134,3                 | 87,3                 |       |                     | 64,8     | 32,0                   | 43,2                   |
| 7,80                                   | 7,85             | Sa D           |                            | 2,00  |                    |             | 38,2                                     | 136,7                 | 88,4                 |       |                     | 77,4     | 48,4                   | 67,5                   |
|  |                  |                |                            |       |                    |             |  |                       |                      |       |                     |          |                        | 47,0                   |







Kopieret af K. G. W. 1951

128:c

5

O-plan = havsyta!

1:1000

1:1000

Plats Skarpnäck flygfält

Borrning nr. 21  
Kartblad nr. 128a  
Renskrivet av L.B.  
Infört av

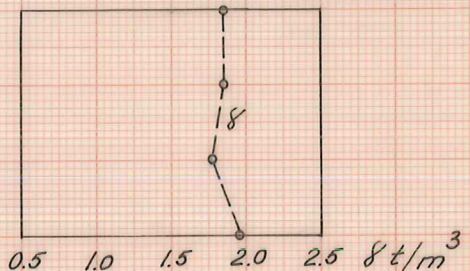
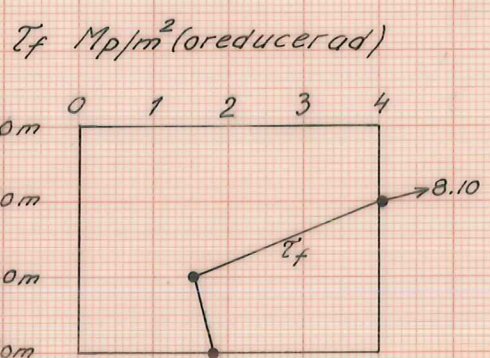
Beteckning på arbetsplan

Borrningen verkställd Sept månad 1951 av E. Jansson  
(borrningsledare)

| Borrning<br>nr | Borrhålets             |                    | Höjd<br>över<br>stadens<br>O-plan | Borr-<br>spetsens<br>djup<br>m | Belast-<br>ning<br>kg | Vridna<br>halva<br>varv | Jordart         | Anteckningar                   |
|----------------|------------------------|--------------------|-----------------------------------|--------------------------------|-----------------------|-------------------------|-----------------|--------------------------------|
|                | sektion<br>eller<br>nr | läge<br>i<br>sekt. |                                   |                                |                       |                         |                 |                                |
| 21             | 0+740                  | V325+2667          | 0.00                              |                                |                       |                         |                 | Prov!<br>busk & gräsvegetation |
|                |                        |                    | 0.20                              | SP                             |                       |                         | Jord            |                                |
|                |                        |                    | 1.40                              | 100                            | 19                    |                         | Lera            |                                |
|                |                        |                    | 2.70                              | 75                             |                       |                         |                 |                                |
|                |                        |                    | 4.05                              | 50                             |                       |                         |                 |                                |
|                |                        |                    | 4.40                              | 100                            | 25                    |                         | Mo              | inget ljud                     |
|                |                        |                    | 4.65                              | 4                              | 4                     |                         |                 | - - -                          |
|                |                        |                    | 4.70                              | 4                              | 4                     |                         |                 | - - -                          |
|                |                        |                    | 4.75                              | 4                              | 4                     |                         |                 | - - -                          |
|                |                        |                    | 4.80                              | 4                              | 4                     |                         |                 | - - -                          |
|                |                        |                    | 4.90                              | 4                              | 4                     |                         | Lera            | - - -                          |
|                |                        |                    | 5.50                              | 4                              | 4                     |                         |                 | - - -                          |
|                |                        |                    | 5.65                              | 4                              | 4                     |                         | Mo              |                                |
|                |                        |                    | 5.80                              | 4                              | 4                     |                         |                 |                                |
|                |                        |                    | 6.20                              | 4                              | 4                     |                         |                 |                                |
|                |                        |                    | 6.55                              | 4                              | 4                     |                         |                 |                                |
|                |                        |                    | 6.65                              | 4                              | 4                     |                         |                 |                                |
|                |                        |                    | 6.80                              | 4                              | 4                     |                         | Grus & sten     |                                |
|                |                        |                    | 6.90                              | 4                              | 4                     |                         |                 | - - -                          |
|                |                        |                    | 6.93                              | st                             |                       |                         | Sten            | 5x 75 kg                       |
|                |                        |                    | 7.00                              | 100                            | 25                    |                         | Asgrus-rullsten | gnissel                        |
|                |                        |                    | 7.25                              | 4                              | 4                     |                         |                 | - - -                          |
|                |                        |                    | 7.45                              | 4                              | 4                     |                         |                 | - - -                          |
|                |                        |                    | 7.70                              | 4                              | 4                     |                         |                 | - - -                          |
|                |                        |                    | 7.95                              | 4                              | 4                     |                         |                 | - - -                          |
|                |                        |                    | 8.40                              | 4                              | 4                     |                         |                 | - - -                          |
|                |                        |                    | 8.90                              | 4                              | 4                     |                         |                 | - - -                          |
|                |                        |                    | 9.05                              | st                             |                       |                         |                 | 5x 75 kg                       |
|                |                        |                    | 9.15                              | 100                            | 25                    |                         |                 |                                |
|                |                        |                    | 9.30                              | 4                              | 4                     |                         |                 | - - -                          |
|                |                        |                    | 9.40                              | st                             |                       |                         | Berg el. block  | 5x 75 kg                       |
|                |                        |                    | 9.40                              |                                |                       |                         |                 |                                |

Kbl. 128:9  
Lab. diagr. 3a  
Pkt 21

Pkt 21 Kbl. 128:a



ST  
523 A4  
73 25 01

(TULLBERG  
RST  
KLIPPAN)

Nr 1634

## STOCKHOLMS STADS GATUKONTOR

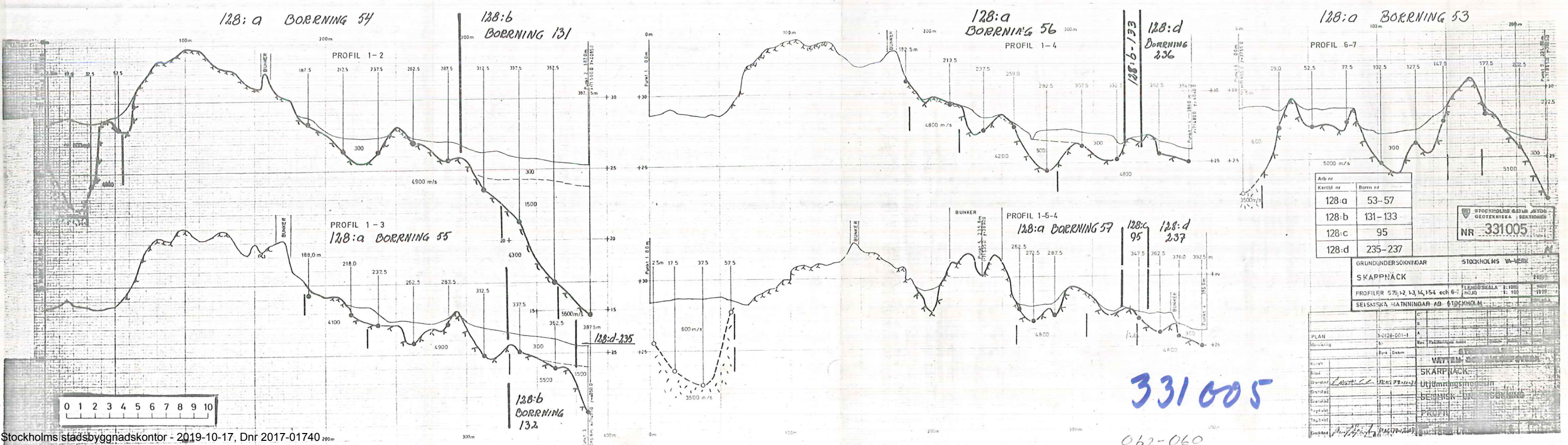
## PROTOKOLL ÖVER JORDPROV SUNDERSÖKNING

| Samp. nr<br>m. y. | Prov<br>nr | Kon prov |     |     | $H_3$ | $H_1$ | $H_3$<br>$H_1$ | Vått<br>prov<br>g | Torkat<br>prov<br>g | $H_2O$<br>g | V<br>% | V<br>% | F | Volym-<br>vikt | K<br>$t/m^2$ |
|-------------------|------------|----------|-----|-----|-------|-------|----------------|-------------------|---------------------|-------------|--------|--------|---|----------------|--------------|
|                   |            | 10       | 60  | 100 |       |       |                |                   |                     |             |        |        |   |                |              |
| 4,0               | 239        |          | 2,8 |     |       |       |                |                   |                     |             |        |        |   |                |              |
| "                 | 432        |          | 2,8 |     |       |       |                |                   |                     |             |        |        |   |                |              |
| 10,0              | 1023       |          | 4,0 |     |       |       |                |                   |                     |             |        |        |   |                |              |
| "                 | 1069       |          | 4,9 |     |       |       |                |                   |                     |             |        |        |   |                |              |
| 3,0               | 469        |          | 7,4 |     |       |       |                |                   |                     |             |        |        |   |                |              |
| "                 | 1500       |          | 3,2 | 3,2 |       |       |                |                   |                     |             |        |        |   |                |              |
| 3,0               | 3212       |          | 3,2 | 8,2 |       |       |                |                   |                     |             |        |        |   |                |              |
| 4,0               | 480        |          | —   |     |       |       |                |                   |                     |             |        |        |   |                |              |
| 5,0               | —          |          | —   |     |       |       |                |                   |                     |             |        |        |   |                |              |

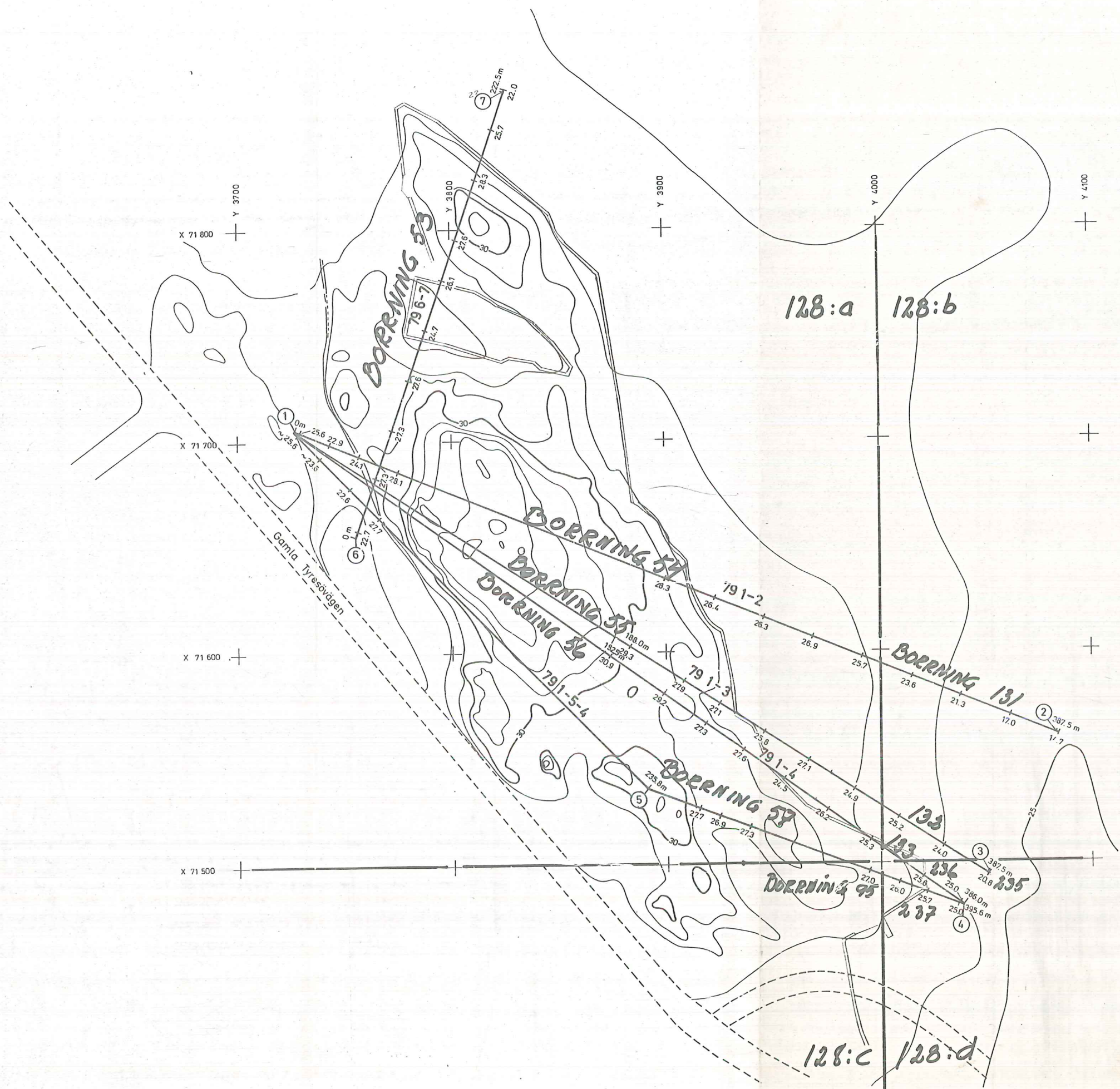
| Jordartsbenämning och anmärkningar |      |            |         |  |  |  |  |  |  |  |  |  |  |  |  |
|------------------------------------|------|------------|---------|--|--|--|--|--|--|--|--|--|--|--|--|
|                                    |      |            |         |  |  |  |  |  |  |  |  |  |  |  |  |
| 1.84                               | 8,10 | Lera, moig | Gråbrun |  |  |  |  |  |  |  |  |  |  |  |  |
| 2,00                               | 8,10 | "          | "       |  |  |  |  |  |  |  |  |  |  |  |  |
| 1.83                               | 5,85 | "          | Mjälig  |  |  |  |  |  |  |  |  |  |  |  |  |
| 1.84                               | 4,05 | "          | brungrå |  |  |  |  |  |  |  |  |  |  |  |  |
| 1.84                               | 2,20 | "          | grå     |  |  |  |  |  |  |  |  |  |  |  |  |
| 1.77                               | 1,55 | "          | "       |  |  |  |  |  |  |  |  |  |  |  |  |
| 1.96                               | 1,80 | "          | moig    |  |  |  |  |  |  |  |  |  |  |  |  |
| 1.96                               | —    | Mjäla      | "       |  |  |  |  |  |  |  |  |  |  |  |  |
| Missfärd, proutgång                |      |            |         |  |  |  |  |  |  |  |  |  |  |  |  |

| Borrtyper                                | Plats | Koordinater | Borrkarta nr              | 1/28a |
|--|-------|-------------|---------------------------|-------|
| Provtagning den 13/9 1994 av E. Jonsson  |       | x =         | Borrhålets nr             | 211   |
| utförd                                   |       |             | Borrhåll nr               |       |
| Prover undersökta den 22/9 1994 av Calle |       |             | Infört på borrharkarta av |       |
| 2000. 4. 49. U.                          |       |             |                           |       |

128:a  
53-57



128:a  
53-57



|     | X       | Y      |
|-----|---------|--------|
| (1) | 71704.5 | 3725.0 |
| (2) | 71560.0 | 4085.0 |
| (3) | 71495.0 | 4050.0 |
| (4) | 71480.0 | 4040.0 |
| (5) | 71535.0 | 3890.0 |
| (6) | 71655.0 | 3755.0 |
| (7) | 71365.0 | 3825.0 |

Arb nr  
Kartbl nr Borrn nr

128:a 53-57  
128:b 131-133  
128:c 95  
128:d 235-237

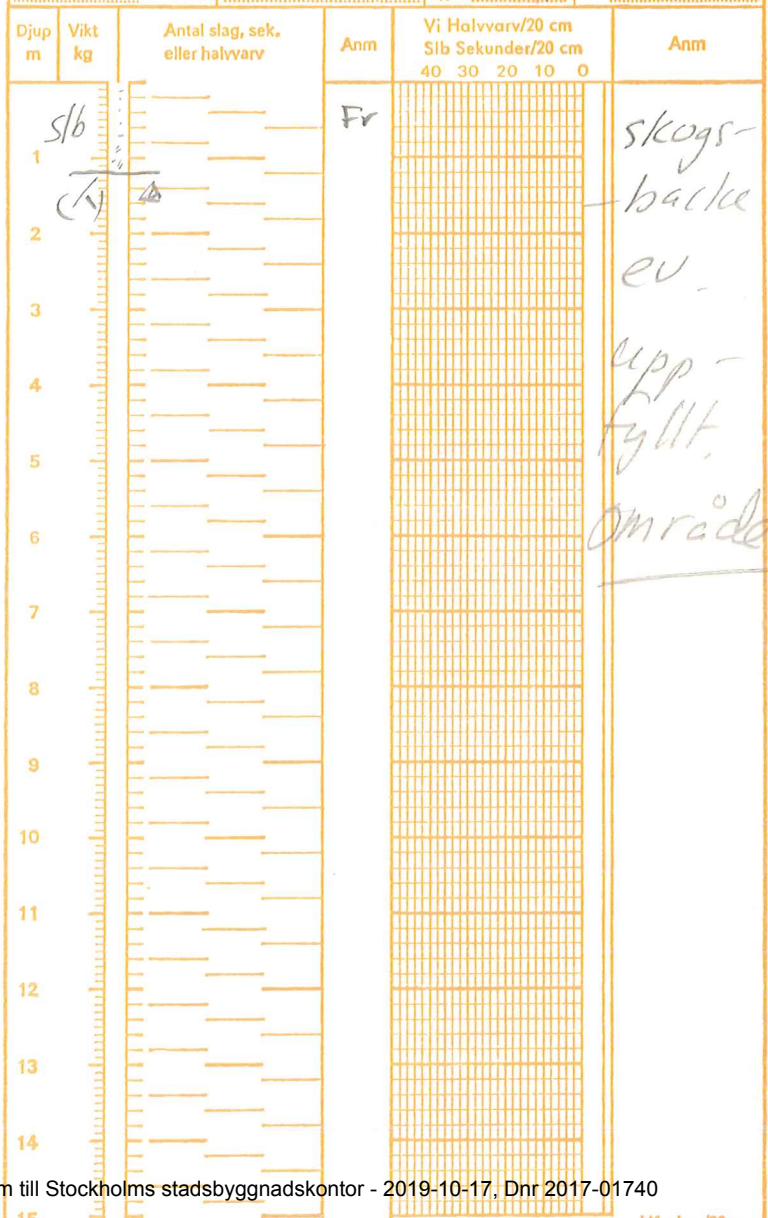
STOCKHOLMS GATUKONTOR  
GEOTEKNIKA SEKTIONEN  
NR 331004

331004

GRUNDUNDERÖKNINGAR:  
SKARPNÄCK  
PROFILERNA 791-2, 791-3, 791-4, 791-5-4, 796-7 SKALA 1: 1000 NOV 1979  
SEISMISKA MÄTNINGAR AB STOCKHOLM BILAGA 2

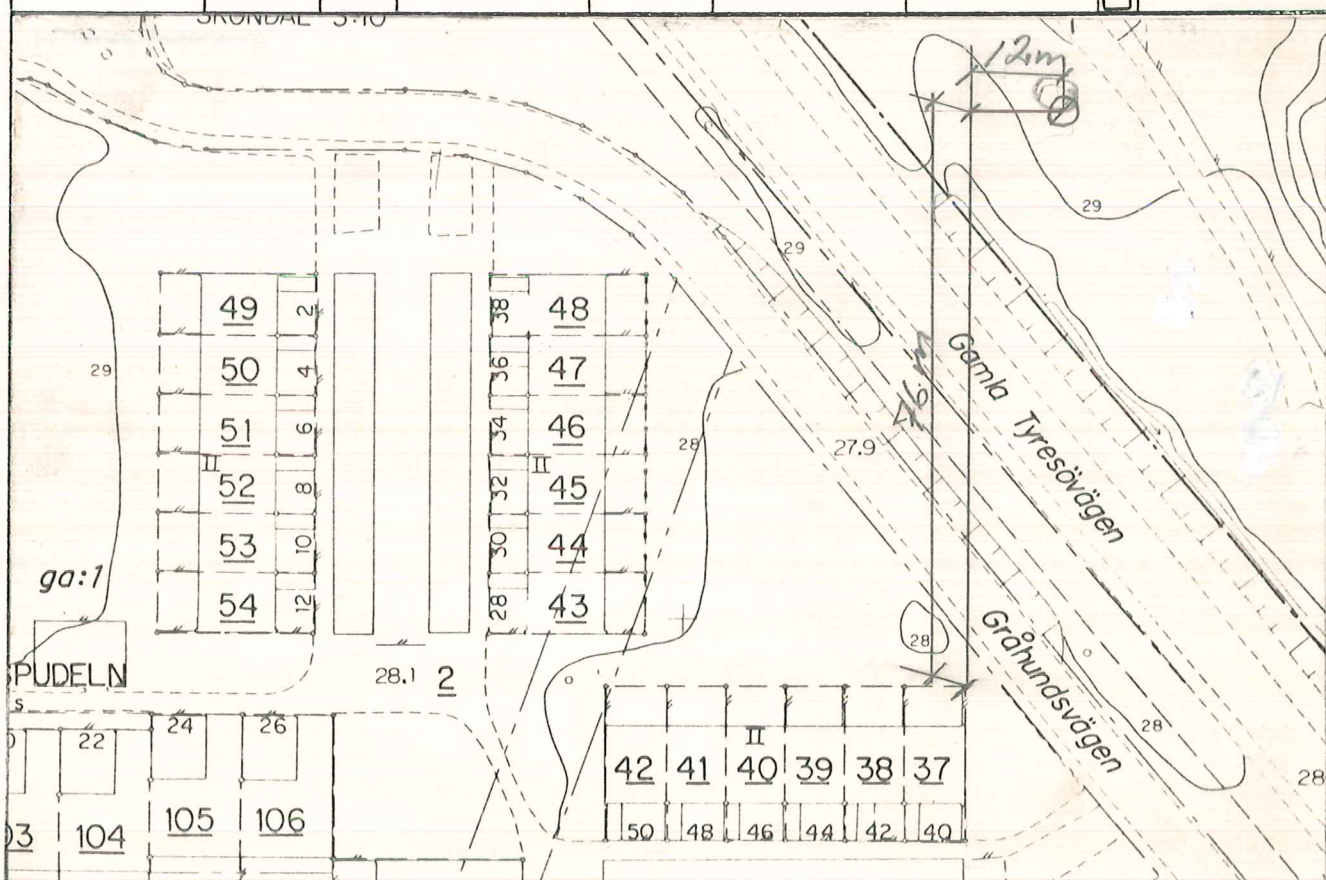
|            |              |  |
|------------|--------------|--|
| PROFIL     | 1-0128-002-0 | C                                      |
| Hänvisning | Nr:          | A                                      |
| Konstr.    | Byrå Datum   | Revideringen avser                     |
| Ritad      |              | Datum Konstr Gr. Godf                  |
| Granskad   |              | Tagit del                              |
| Granskad   |              | Stockholms VATTEN- OCH AVLOPPSVERK     |
| Granskad   |              | SKARPNÄCK                              |
| Granskad   |              | Utgångsmagasin                         |
| Tagit del  |              | SEISMISK UNDERSÖKNING                  |
| Tagit del  |              | PLAN                                   |
| Gedkand    | Rev. 1-11-84 | Skala 1:1000 Nr 1-0128-001-1 Rev. Reg. |

|   |                                      |                               |                                  |  |  |
|---|--------------------------------------|-------------------------------|----------------------------------|--|--|
| Uppdrag<br>Gw-försök Gammla Tyresövägen |                                      |                               |                                  |  | Blad nr  |
| Sektion<br>försök                       | Hål nr<br>a                          | Marktyta<br>+ 28.73           | Ref. nivå<br>+ H.g               | Sign.<br>QR  | datum<br>81-02-03                                |
| VIKTSONDERING                           |                                      | HEJARSONDERING                |                                  | MOTORSLAG-<br>SONDERING                              |  |
| <input type="checkbox"/> Manuell        | <input type="checkbox"/> Bensinmotor | <input type="checkbox"/> Lös  | <input type="checkbox"/> Fast    | <input type="checkbox"/> Cobra                       | <input type="checkbox"/> JORD-BERG-<br>SONDERING |
| <input type="checkbox"/> El. motor      |                                      | <input type="checkbox"/> Rund | <input type="checkbox"/> Fyrkant | <input checked="" type="checkbox"/> Pionjär          | <input type="checkbox"/> BBC 100 F.              |
| Rot. hastighet:<br>1/2 v/min            |                                      | <input type="checkbox"/> Hf   | <input type="checkbox"/> Ho      | <input type="checkbox"/> .....<br>Spets-<br>typ vnid | <input type="checkbox"/> .....<br>Ø              |



| Borrp. nr.<br>på arb. pl.   | Adress<br><i>Gamla Tyresöv. mit mot Grähund</i> | Kartbl. nr.<br><i>SV-28-38</i> | ÖGRIÄVANEN     |                                      |
|-----------------------------|---|--------------------------------|----------------|--------------------------------------|
| Datum<br><i>820223</i>      | Borrn. led.<br><i>A. Carlgren</i>               | GW-rör nr.<br><i>76</i>        |                |                                      |
| Ärendet handläggs av        | Mät periodens längd                             | Mättähet                       | Anmärkning     |                                      |
|                             |   |                                |                |                                      |
| Total längd                 | Markytा   | Rör överkant                   | Slang överkant | Anmärkning                           |
| <i>Slang</i> <b>11.21 m</b> | <b>28.96</b>                                    | <b>+ 29.96</b>                 | <b>+ 29.96</b> | <i>OBS! Röret lutar<br/>c:a 1:10</i> |

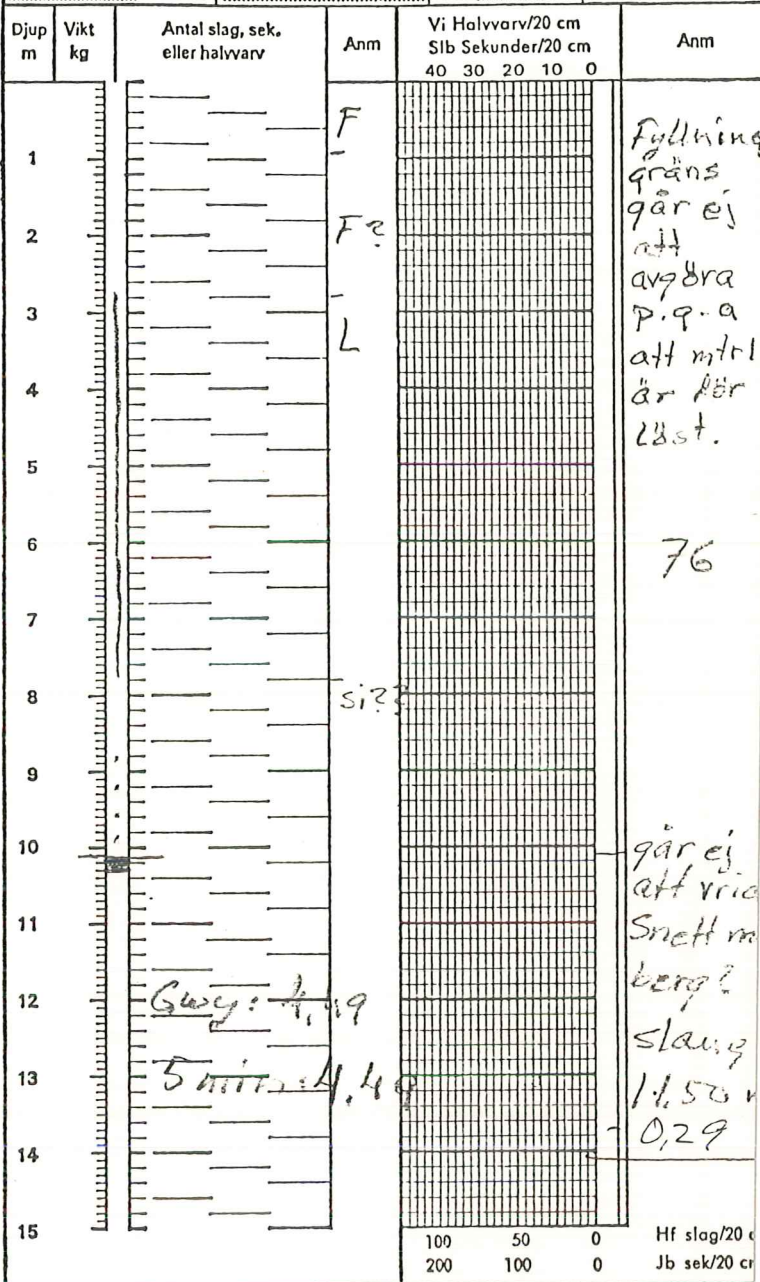
## FUNKTIONSKONTROLL / GW - MÄTNING



Uppdrag  
Gärör Skarpnäcksfältet

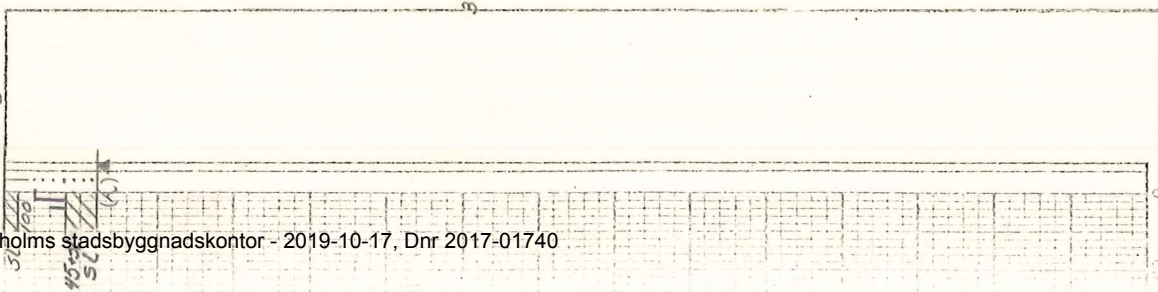
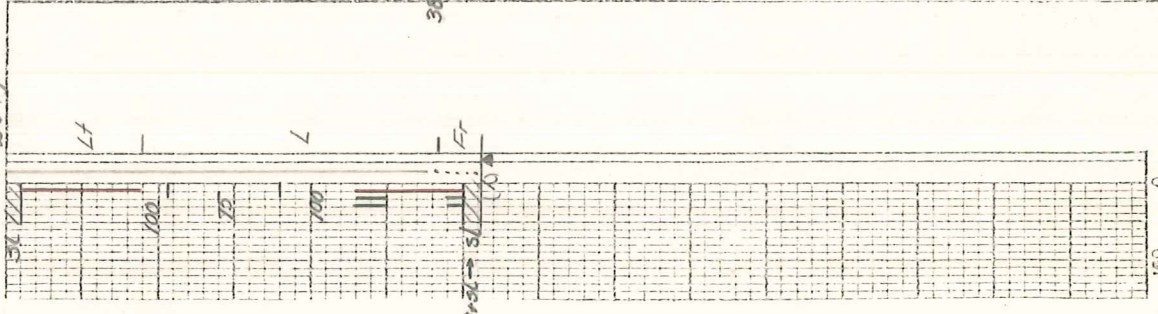
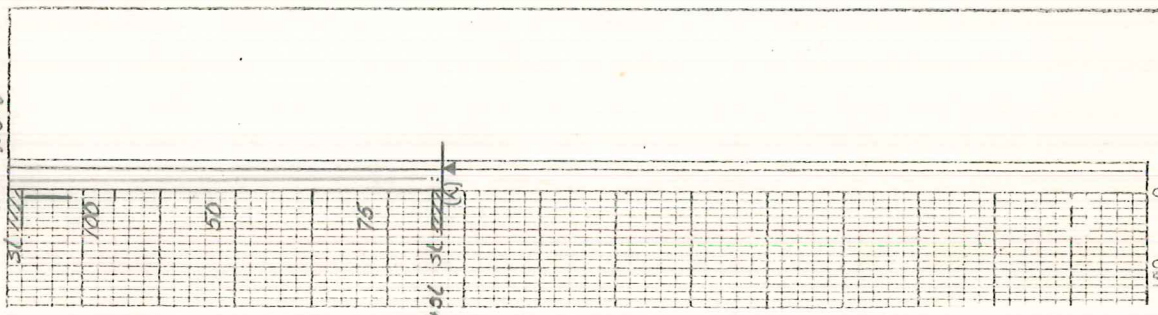
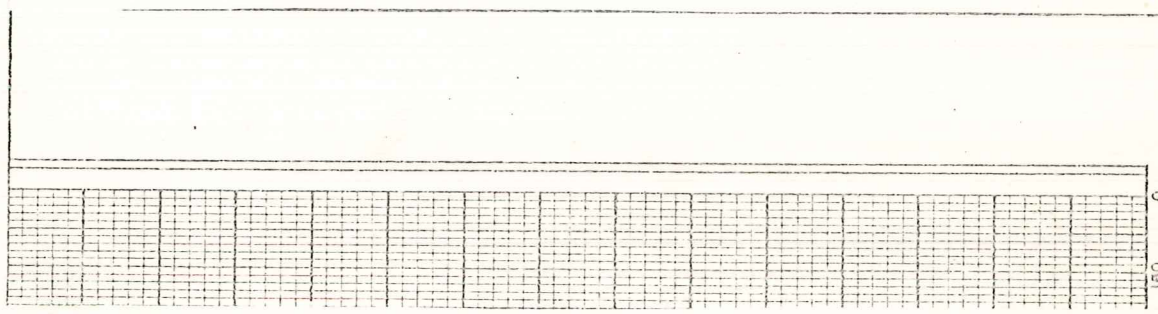
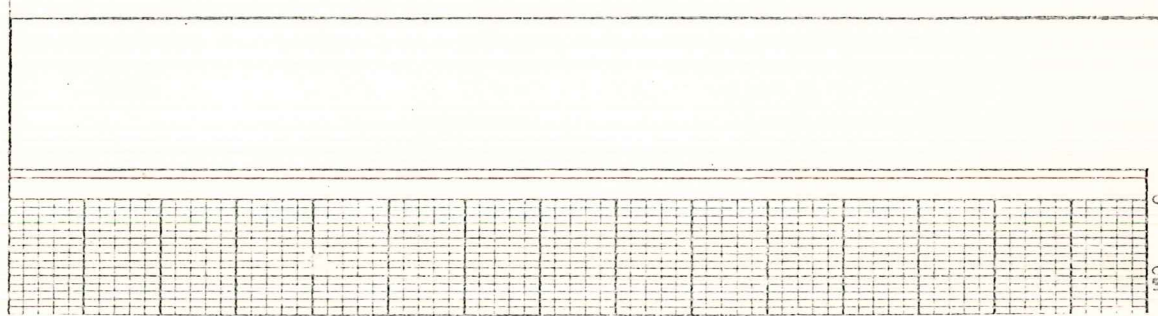
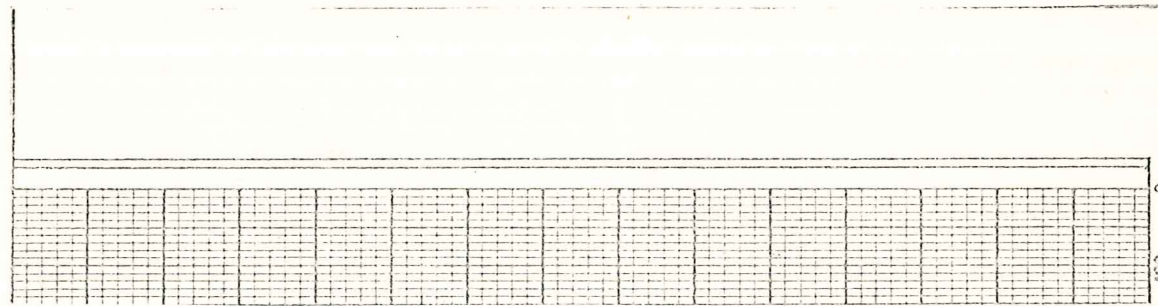
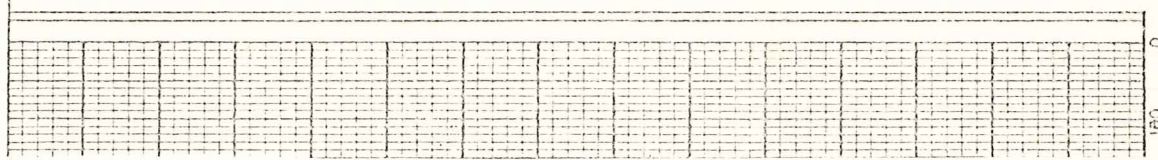
Blad nr

|   |   |  |  |       |                            |
|---|---|--|--|-------|----------------------------|
| Sektion<br><b>KBL 128:a</b>   | Hål nr  | Markytा<br>+ 28.96   | Ref. nivå<br>+ My  | Sign. | datum<br><b>AC 8.20219</b> |
| VIKTSONDERING<br><input type="checkbox"/> Manuell<br><input type="checkbox"/> Bensinmotor<br><input type="checkbox"/> El. motor | HEJARSONDERING<br>Spetsotyp:<br><input type="checkbox"/> Lös <input checked="" type="checkbox"/> Fast<br><input type="checkbox"/> Rund <input checked="" type="checkbox"/> Fyrkant<br><input type="checkbox"/> Hf <input type="checkbox"/> Ho | MOTORSLAG-<br>SONDERING<br><input type="checkbox"/> Cobra<br><input checked="" type="checkbox"/> Pionjär<br><input type="checkbox"/> ....<br>Spets- typ <b>Vivid</b> | JORD-BERG-<br>SONDERING<br><input type="checkbox"/> BBC 100 F.<br><input type="checkbox"/> |       |                            |
| Rot. hastighet:<br>1/2 v/min  |   |  |  |       |                            |



128a 37, 38

三



huijje 14

10

55

118.4 ✓ 18.0

Viert 25.8

Vii + 25:9

23

# Bilaga 9



Gamla Tyresövägen

Uppdragsnr: G19023

Värde överskrider KM (överskider bostadsanvändning enligt generella riktvärden)

Halt överskrider MKM (överskider kontorsanvändning enligt generella riktvärden)

Fet stil - Halt överskrider nivån för mindre än Ringa risk

Samtliga haltnivåer i tabellen nedan redovisas i mg/kg

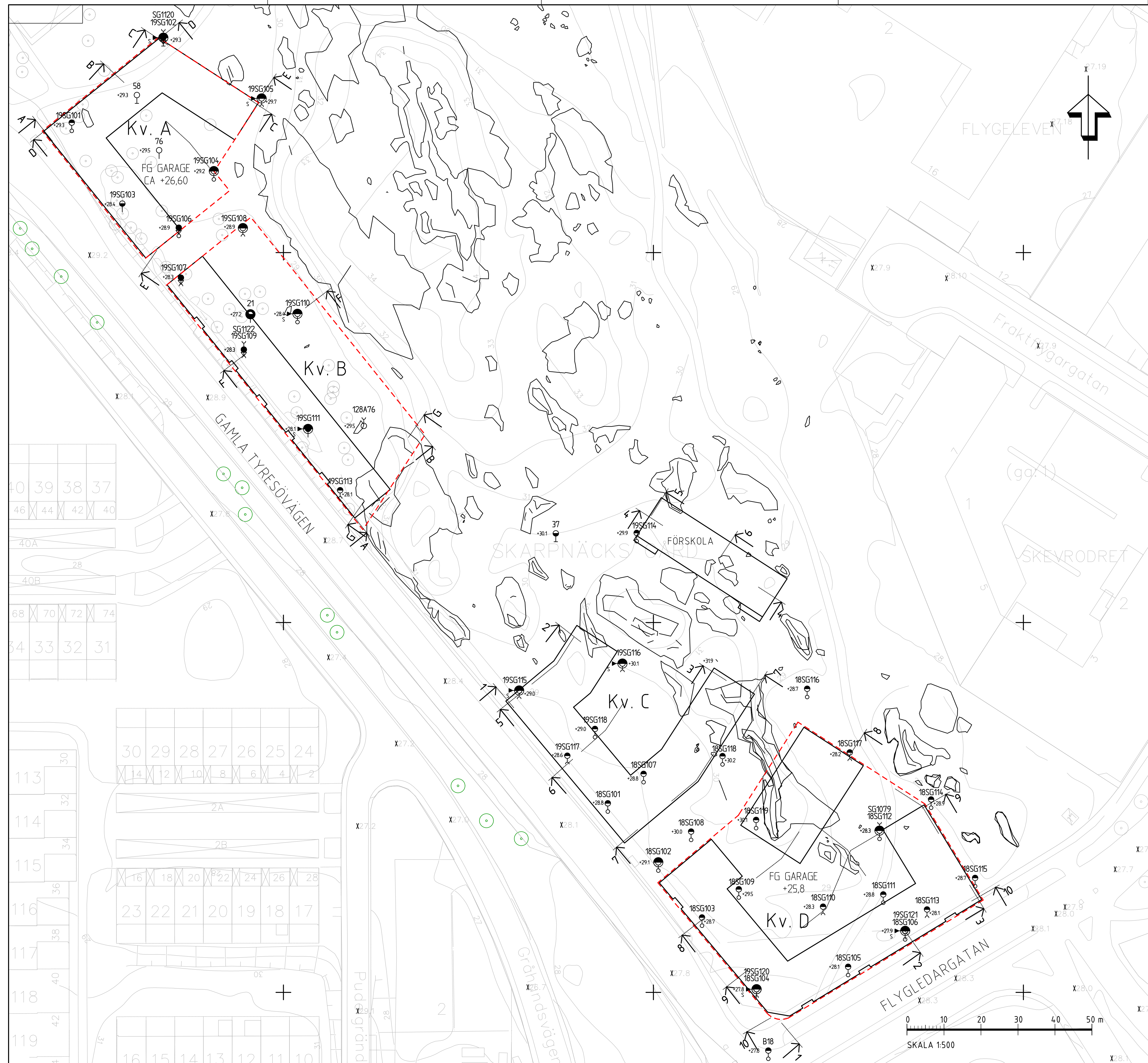
| Prov                   | 19SG102 0-0,4 | 19SG105 0-0,6 | 19SG110 0-0,6 | 19SG111 0-0,5 | 19SG115 0-0,5 | Generella riktvärden           | Nivå för mindre än ringa risk |
|------------------------|---------------|---------------|---------------|---------------|---------------|--------------------------------|-------------------------------|
| TS_105°C               | 94,8          | 88,3          | 93,1          | 88,4          | 93            | KM<br>100<br>100<br>100<br>100 | MKM<br>500<br>500<br>1000     |
| <b>Oljekolväten</b>    |               |               |               |               |               |                                |                               |
| oljeindex >C10-<C40    | 41            | 49            | 32            | 133           | <20           |                                |                               |
| fraktion >C10-C12      | <2,0          | <2,0          | <2,0          | <2,0          | <2,0          | 100                            | 500                           |
| fraktion >C12-C16      | <3,0          | <3,0          | <3,0          | <3,0          | <3,0          | 100                            | 500                           |
| fraktion >C16-C35      | 31            | 40            | 24            | 103           | <10           | 100                            | 1000                          |
| fraktion >C35-<C40     | 10            | 8,7           | 7,5           | 28,7          | <5,0          |                                |                               |
| <b>Tjärammen</b>       |               |               |               |               |               |                                |                               |
| naftalen               | <0,010        | <0,010        | <0,010        | <0,010        | <0,010        | -                              | -                             |
| acenaftylen            | <0,010        | <0,010        | <0,010        | <0,010        | <0,010        | -                              | -                             |
| acenaften              | <0,010        | <0,010        | 0,014         | <0,010        | <0,010        | -                              | -                             |
| fluoren                | <0,010        | <0,010        | 0,013         | <0,010        | <0,010        | -                              | -                             |
| fenantren              | 0,07          | <0,010        | 0,221         | 0,034         | <0,010        | -                              | -                             |
| antracen               | 0,023         | <0,010        | 0,048         | <0,010        | <0,010        | -                              | -                             |
| fluoranten             | 0,335         | <0,010        | 0,499         | 0,087         | <0,010        | -                              | -                             |
| pyren                  | 0,252         | <0,010        | 0,393         | 0,07          | <0,010        | -                              | -                             |
| bens(a)antracen        | 0,175         | <0,010        | 0,216         | 0,038         | <0,010        | -                              | -                             |
| krysen                 | 0,174         | <0,010        | 0,241         | 0,053         | <0,010        | -                              | -                             |
| bens(b)fluoranten      | 0,275         | <0,010        | 0,276         | 0,073         | <0,010        | -                              | -                             |
| bens(k)fluoranten      | 0,115         | <0,010        | 0,135         | 0,021         | <0,010        | -                              | -                             |
| bens(a)pyren           | 0,172         | <0,010        | 0,219         | 0,037         | <0,010        | -                              | -                             |
| dibens(ah)antracen     | 0,035         | <0,010        | 0,036         | <0,010        | <0,010        | -                              | -                             |
| beno(ghi)peryen        | 0,116         | <0,010        | 0,146         | 0,051         | <0,010        | -                              | -                             |
| indeno(123cd)pyren     | 0,112         | <0,010        | 0,156         | 0,031         | <0,010        | -                              | -                             |
| PAH, summa 16          | 1,85          | <0,080        | 2,61          | 0,495         | <0,080        | -                              | -                             |
| PAH, summa cancerogena | 1,06          | <0,0350       | 1,28          | 0,253         | <0,0350       | -                              | -                             |
| PAH, summa övriga      | 0,796         | <0,0450       | 1,33          | 0,242         | <0,0450       | -                              | -                             |
| PAH, summa L           | <0,0150       | <0,0150       | <0,0150       | <0,0150       | <0,0150       | 3<br>-<br>3,5<br>1             | 15<br>-<br>20<br>10           |
| PAH, summa M           | 0,68          | <0,0250       | 1,17          | 0,191         | <0,0250       | -<br>3,5                       | 2                             |
| PAH, summa H           | 1,17          | <0,040        | 1,42          | 0,304         | <0,040        | -<br>1                         | 0,5                           |
| <b>Tungmetaller</b>    |               |               |               |               |               |                                |                               |
| TS_105°C               | 92,7          | 88,7          | 91,8          | 99,2          | 92,7          |                                |                               |
| As                     | 1,61          | 1,63          | 1,95          | 3,02          | 1,45          | 10<br>0,8<br>15                | 10<br>0,2<br>35               |
| Cd                     | <0,008        | <0,009        | 0,0278        | 0,267         | <0,009        | 25<br>12                       | 0,09<br>0,02                  |
| Co                     | 5,16          | 3,34          | 11,6          | 12,9          | 3,52          | -<br>80<br>150                 | -<br>40*<br>1                 |
| Cr                     | 17,6          | 14,9          | 56,3          | 37,4          | 14,4          | 80<br>80<br>200                | 40*<br>40<br>0,8              |
| Cu                     | 11,7          | 5,89          | 46,7          | 30,1          | 5,91          | 200                            | 40                            |
| Hg                     | <0,03         | 0,0465        | 0,0387        | 0,116         | <0,04         | 0,25<br>40<br>120              | 0,1<br>0,01<br>35             |
| Ni                     | 10,1          | 6,29          | 26,3          | 24,6          | 5,99          | 120                            | 0,4                           |
| Pb                     | 12,6          | 7,03          | 19            | 38,5          | 6,82          | 400                            | 20                            |
| V                      | 19,7          | 16,7          | 26,7          | 41,2          | 18,3          | 200                            | -                             |
| Zn                     | 45,2          | 36,8          | 66,4          | 115           | 24,5          | 250<br>500                     | 120<br>4                      |

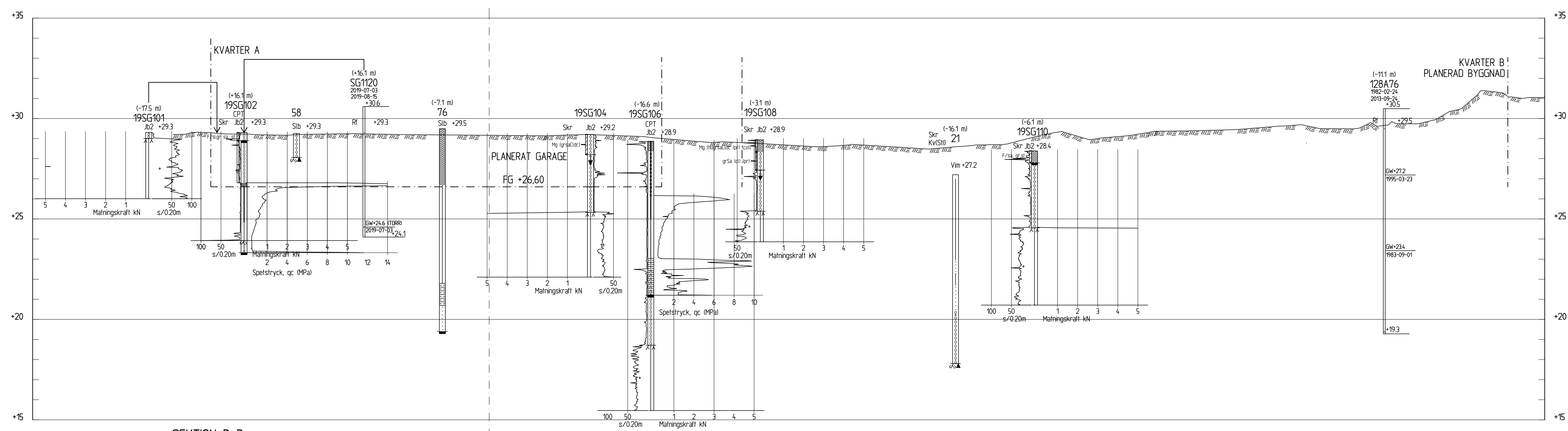
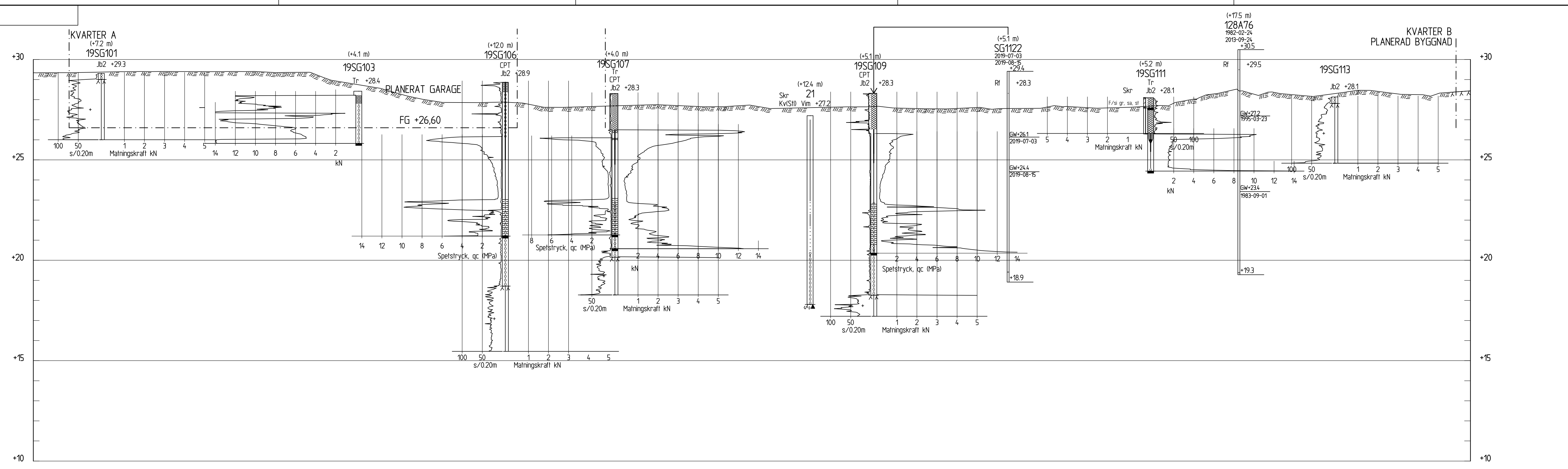
\* avser totalhalt

Samtliga haltnivåer i tabellen nedan redovisas i mg/kg

| Prov                   | 19SG116 0-0,15 | 19S6120 0-0,8 | 19SG121 0-0,4 | Generella riktvärden |      | Nivå för mindre än ringa risk |                   |
|------------------------|----------------|---------------|---------------|----------------------|------|-------------------------------|-------------------|
| TS_105°C               | 93,1           | 96,6          | 91,5          | KM                   | MKM  | Halt                          | Utakning L/S = 10 |
| <b>Oljekolväten</b>    |                |               |               |                      |      |                               |                   |
| oljeindex >C10-<C40    | <20            | 23            | 25            |                      |      | -                             | -                 |
| fraktion >C10-C12      | <2,0           | <2,0          | <2,0          | 100                  | 500  |                               |                   |
| fraktion >C12-C16      | <3,0           | <3,0          | <3,0          | 100                  | 500  |                               |                   |
| fraktion >C16-C35      | <10            | 18            | 20            | 100                  | 1000 |                               |                   |
| fraktion >C35-<C40     | <5,0           | <5,0          | <5,0          |                      |      |                               |                   |
| <b>Tjäramnen</b>       |                |               |               |                      |      |                               |                   |
| naftalen               | <0,010         | <0,010        | <0,010        | -                    | -    | -                             | -                 |
| acenaftylen            | <0,010         | <0,010        | <0,010        | -                    | -    | -                             | -                 |
| acenaften              | <0,010         | <0,010        | <0,010        | -                    | -    | -                             | -                 |
| fluoren                | <0,010         | <0,010        | <0,010        | -                    | -    | -                             | -                 |
| fenantren              | <0,010         | <0,010        | 0,028         | -                    | -    | -                             | -                 |
| antracen               | <0,010         | <0,010        | 0,01          | -                    | -    | -                             | -                 |
| fluoranten             | 0,019          | 0,019         | 0,096         | -                    | -    | -                             | -                 |
| pyren                  | 0,012          | 0,016         | 0,074         | -                    | -    | -                             | -                 |
| bens(a)antracen        | <0,010         | 0,012         | 0,046         | -                    | -    | -                             | -                 |
| krysen                 | <0,010         | 0,019         | 0,06          | -                    | -    | -                             | -                 |
| bens(b)fluoranten      | 0,011          | 0,027         | 0,073         | -                    | -    | -                             | -                 |
| bens(k)fluoranten      | <0,010         | <0,010        | 0,017         | -                    | -    | -                             | -                 |
| bens(a)pyren           | <0,010         | 0,014         | 0,044         | -                    | -    | -                             | -                 |
| dibens(ah)antracen     | <0,010         | <0,010        | <0,010        | -                    | -    | -                             | -                 |
| beno(ghi)peryler       | <0,010         | 0,011         | 0,036         | -                    | -    | -                             | -                 |
| indeno(123cd)pyrer     | <0,010         | 0,011         | 0,038         | -                    | -    | -                             | -                 |
| PAH, summa 16          | <0,080         | 0,129         | 0,522         | -                    | -    | -                             | -                 |
| PAH, summa cancerogena | <0,0350        | 0,083         | 0,278         | -                    | -    | -                             | -                 |
| PAH, summa övriga      | <0,0450        | 0,046         | 0,244         | -                    | -    | -                             | -                 |
| PAH, summa L           | <0,0150        | <0,0150       | <0,0150       | 3                    | 15   | 0,6                           | -                 |
| PAH, summa M           | 0,031          | 0,035         | 0,208         | 3,5                  | 20   | 2                             | -                 |
| PAH, summa H           | <0,040         | 0,094         | 0,314         | 1                    | 10   | 0,5                           | -                 |
| <b>Tungmetaller</b>    |                |               |               |                      |      |                               |                   |
| TS_105°C               | 93             | 96,2          | 93,9          |                      |      |                               |                   |
| As                     | 1,05           | 0,842         | 1,95          | 10                   | 25   | 10                            | 0,09              |
| Cd                     | <0,01          | 0,0449        | 0,156         | 0,8                  | 12   | 0,2                           | 0,02              |
| Co                     | 1,89           | 7,07          | 5,15          | 15                   | 35   | -                             | -                 |
| Cr                     | 7,04           | 25,4          | 17,3          | 80                   | 150  | 40*                           | 1                 |
| Cu                     | 3,93           | 17            | 15,5          | 80                   | 200  | 40                            | 0,8               |
| Hg                     | <0,04          | <0,03         | 0,119         | 0,25                 | 2,5  | 0,1                           | 0,01              |
| Ni                     | 3,71           | 20,3          | 11,4          | 40                   | 120  | 35                            | 0,4               |
| Pb                     | 5,08           | 6,44          | 22            | 50                   | 400  | 20                            | 0,2               |
| V                      | 10,6           | 26,1          | 18            | 100                  | 200  | -                             | -                 |
| Zn                     | 15,8           | 67,6          | 70,8          | 250                  | 500  | 120                           | 4                 |

\* avser totalhalt





**KOORDINATSYSTEM**  
KOORDINATSSYSTEM: SWEREF 99 18 00  
HÖJDSSYSTEM: RH2000

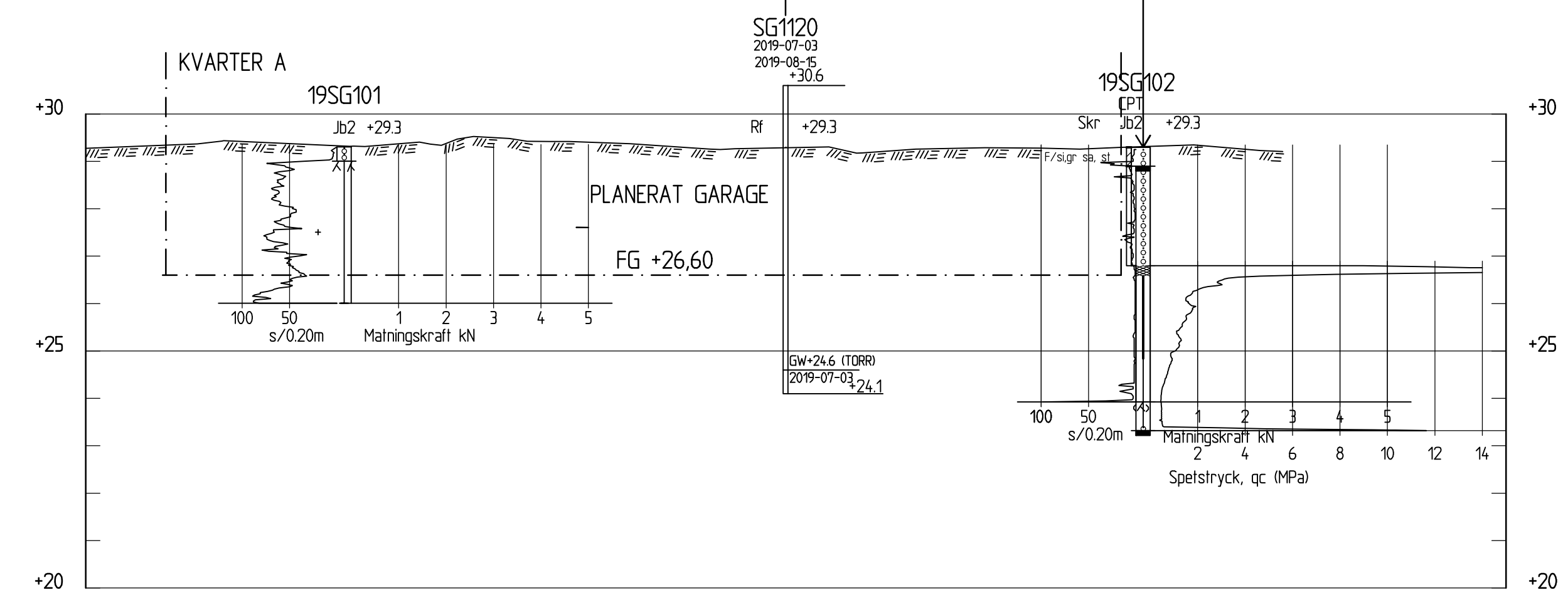
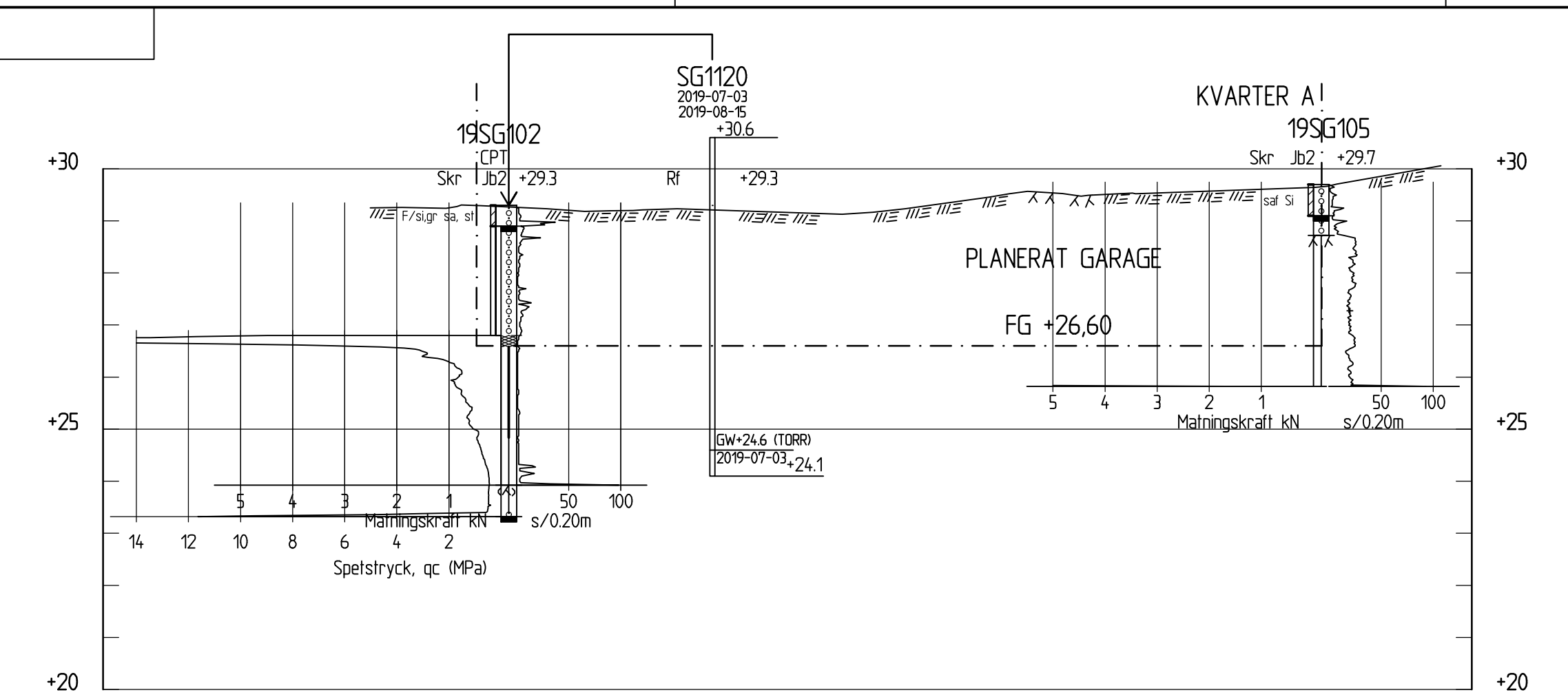
**TECKENFÖRKLARING**  
FÖR BETECKNINGAR OCH SYMBOLER, SE SGF:s  
BETECKNINGSSYSTEM [www.sgf.net](http://www.sgf.net)

TOLKAD MARKYTA  
INMATT BERG I DAGEN  
PLANERADE BYGGNADER

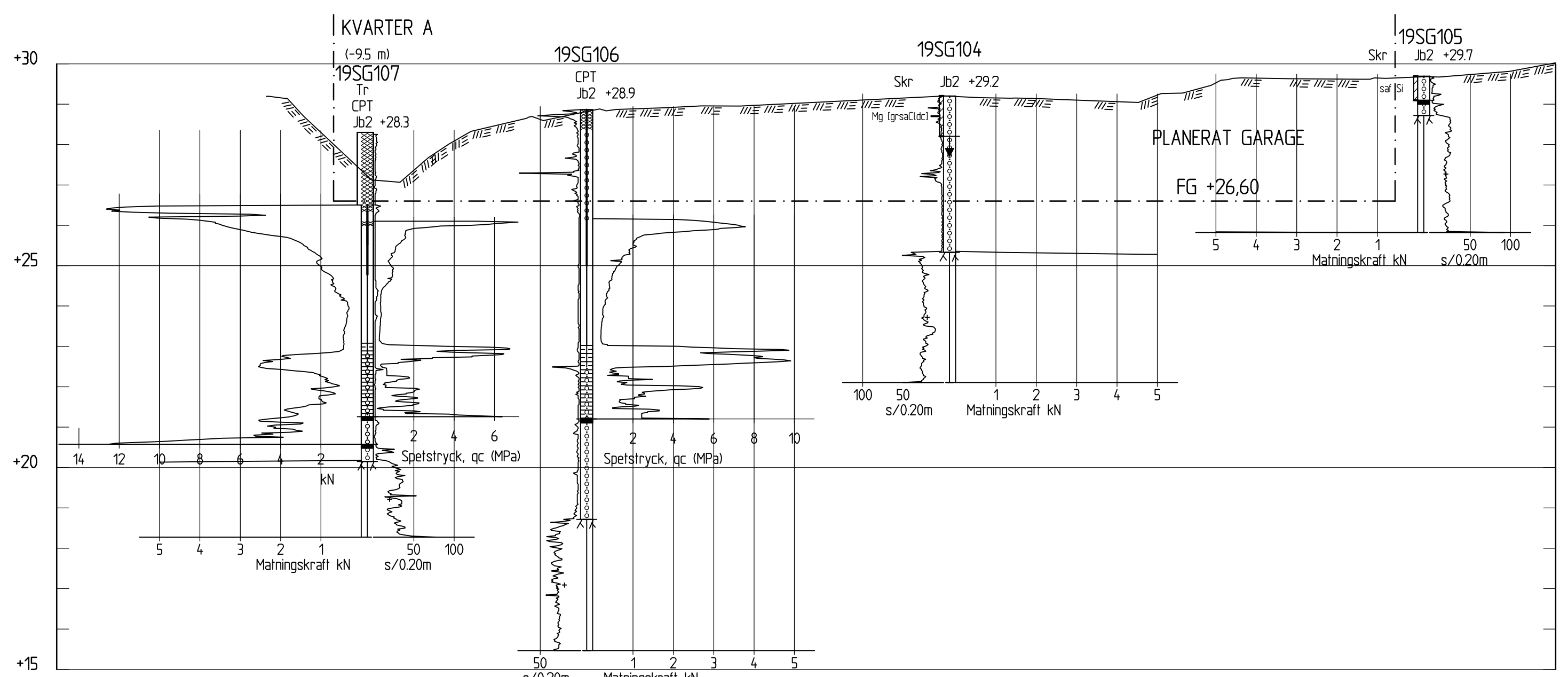
**ANMÄRKNING**  
PLACERING OCH GOLNVÄÄR FÖR PLANERADE  
BYGGNADER ÄR ENDAST ILLUSTRERADE OCH FÄR INTE  
ÅBEROPAS FÖR PROJEKTERING, ELLER REGLERING AV  
SCHAKT- OCH GRUNDLAGGningsARBETEN.

**HÄVNISNINGAR**  
PLAN G-17.1-001

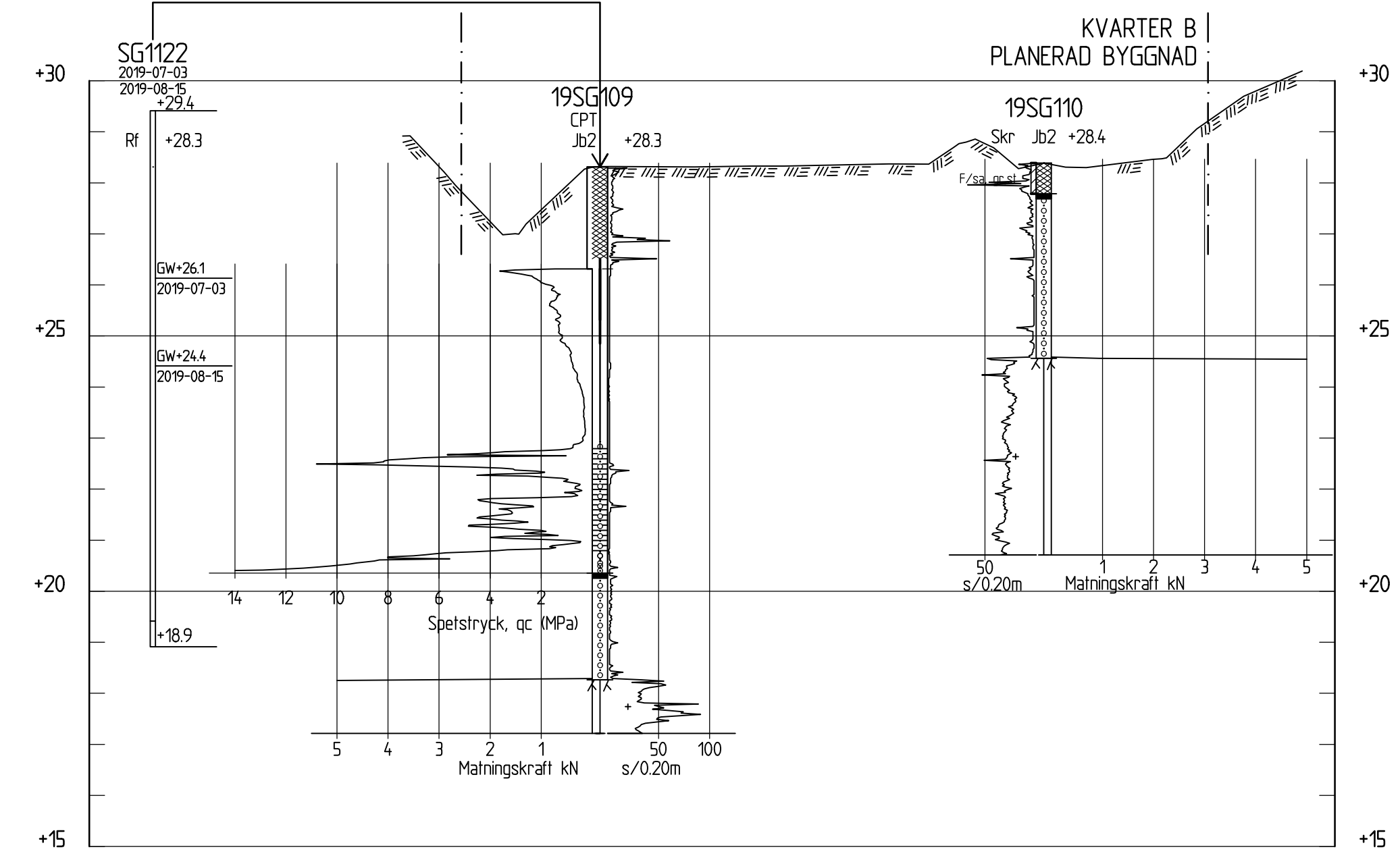
| REV  | ANT                       | ÄNDRINGEN AVSER | GODKÄND        | DATUM |
|--|---------------------------|-----------------|----------------|-------|
| <b>UNDERLAG TILL DETALJPLAN</b>                    |                           |                 |                |       |
| <b>GAMLA TYRESÖVÄGEN</b><br><b>STOCKHOLMS STAD</b> |                           |                 |                |       |
| <b>NYA BOSTÄDER KVARTER A-D</b>                    |                           |                 |                |       |
| UPPROGANSÅRSÅRG<br>M LUND                          | UPPROGANSÅRSÅRG<br>G19023 |                 |                |       |
| KONSTR.<br>R RAMAK                                 | GRÄNS<br>M LUND           | FORMAT<br>A1    | SKALA<br>1:100 | 1:200 |
| STOCKHOLM  | DATUM                     | OBJEKT NR       | RTNINGSNR      | REV   |
|  | 2019-10-17                | G-17.2-001      |                |       |



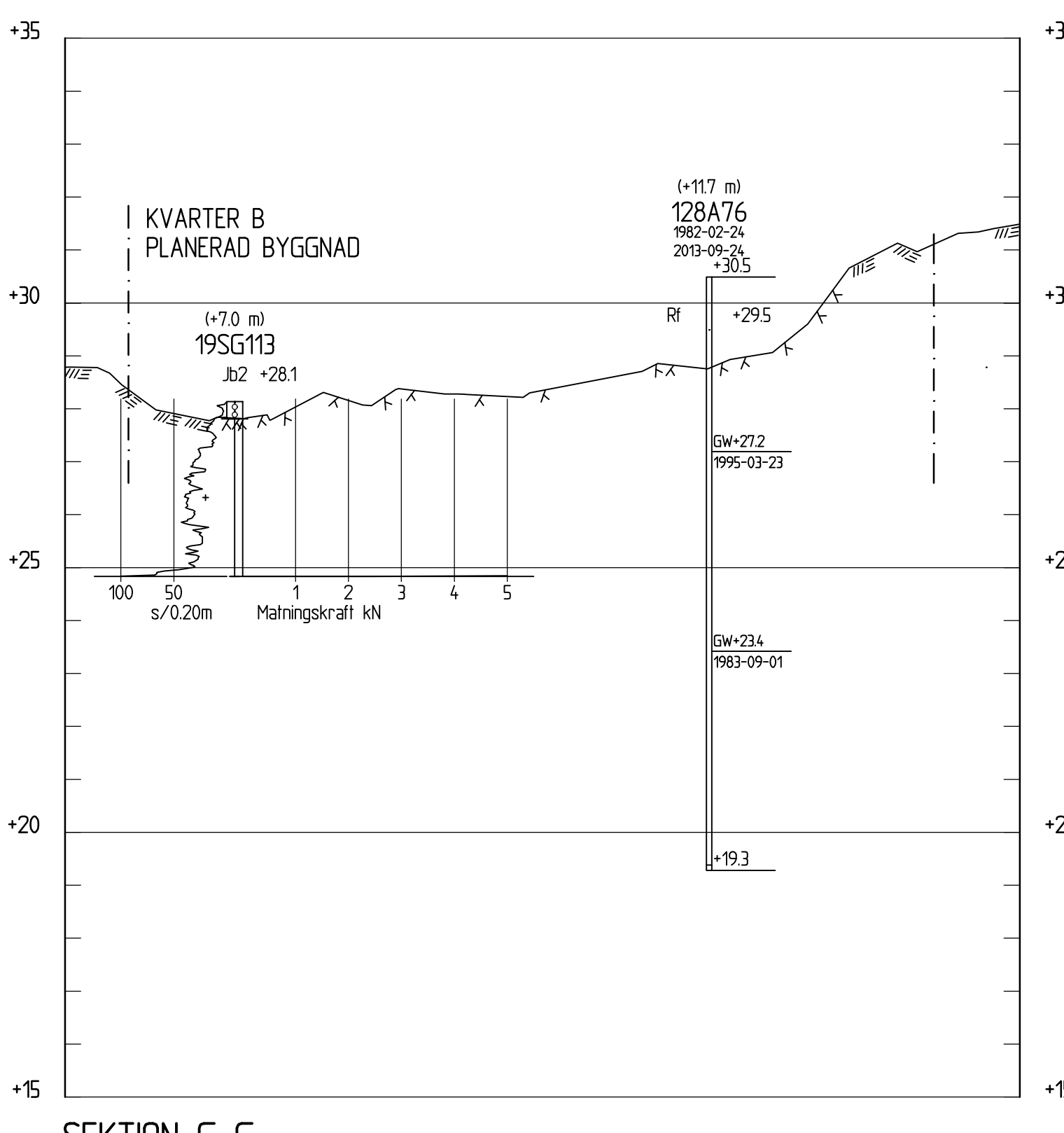
**SEKTION C-C**  
H 1:100 L 1:200



**SEKTION D-D**  
H 1:100 L 1:200



**SEKTION E-E**  
H 1:100 L 1:200



**SEKTION F-F**  
H 1:100 L 1:200

**KOORDINATSYSTEM**  
KOORDINATSSYSTEM: SWEREF 99 18 00  
HÖJDSYSTEM: RH2000

**TECKENFÖRKLARING**

FÖR BETECKNINGAR OCH SYMBOLER, SE SGF:s  
BETECKNINGSSYSTEM [www.sgf.net](http://www.sgf.net)

— TOLKAD MARKYTA  
— INMATT BERG I DAGEN  
— PLANERADE BYGGNADE

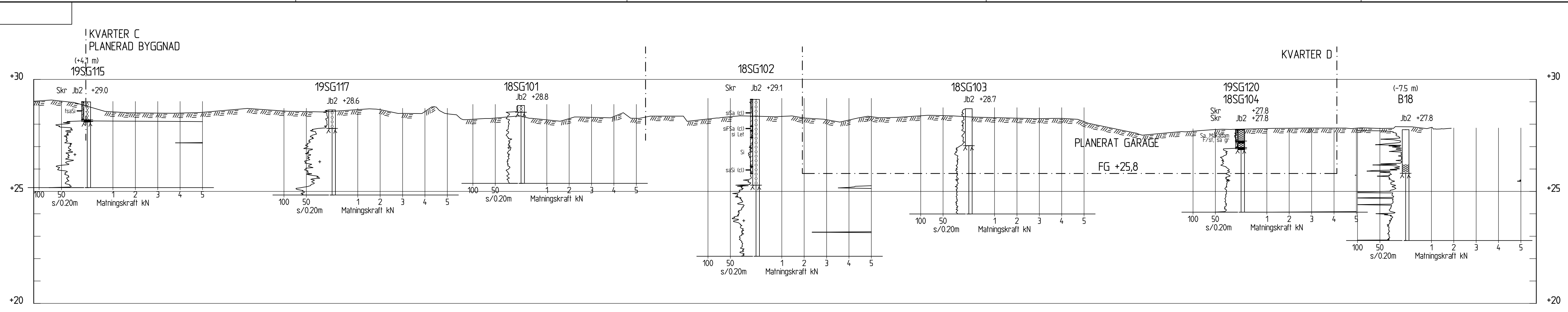
**ANMÄRKNING**

PLACERING OCH GOLNVÄDER FÖR PLANERADE  
BYGGNADE AR ENDAST ILLUSTRERADE OCH FÄR INTE  
ÅBEROPAS FÖR PROJEKTERING, ELLER REGLERING AV  
SCHAKT- OCH GRUNDLAGGningsARBETEN.

**HÄVNISNINGAR**

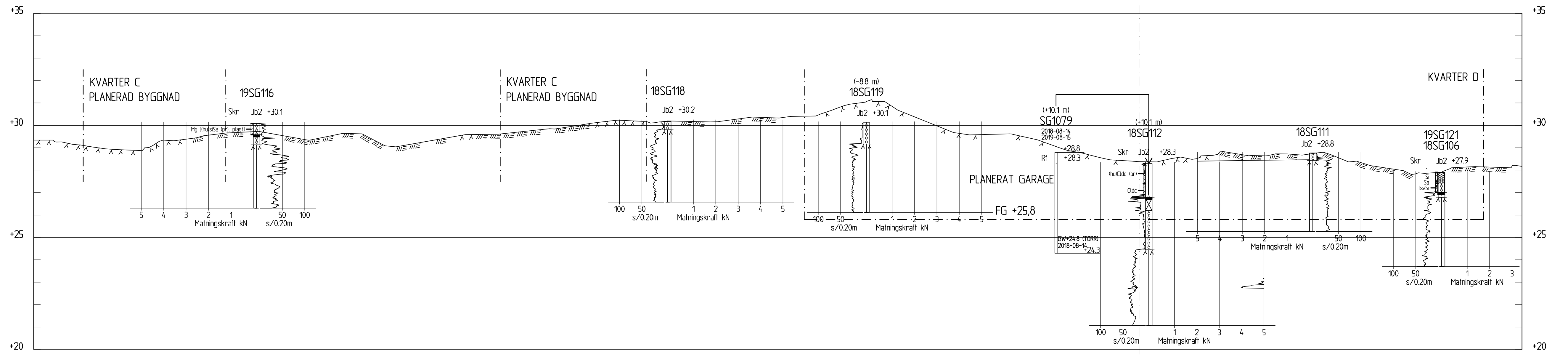
PLAN G-17.1-001

|                                      |        |                 |         |       |
|--------------------------------------|--------|-----------------|---------|-------|
| REV                                  | ANT    | ÄNDRINGEN AVSER | GODKÄND | DATUM |
| UNDERLAG TILL DETALJPLAN             |        |                 |         |       |
| GAMLA TYRESÖVÄGEN<br>STOCKHOLMS STAD |        |                 |         |       |
| NYA BOSTÄDER KVARTER A-D             |        |                 |         |       |
| GEOTEKNIK UNDERSÖKNING               |        |                 |         |       |
| SEKTION C-C - G-G                    |        |                 |         |       |
| KONSTRUKTIONSNR                      | FORMAT | SKALA           |         |       |
| M LUND                               | A1     | 1:100           | 1:200   |       |
| R RAMAK                              | M LUND |                 |         |       |
| STOCKHOLM                            | DATUM  |                 |         |       |
| OBJEKT NR                            |        |                 |         |       |
| G-17.2-002                           |        |                 |         |       |



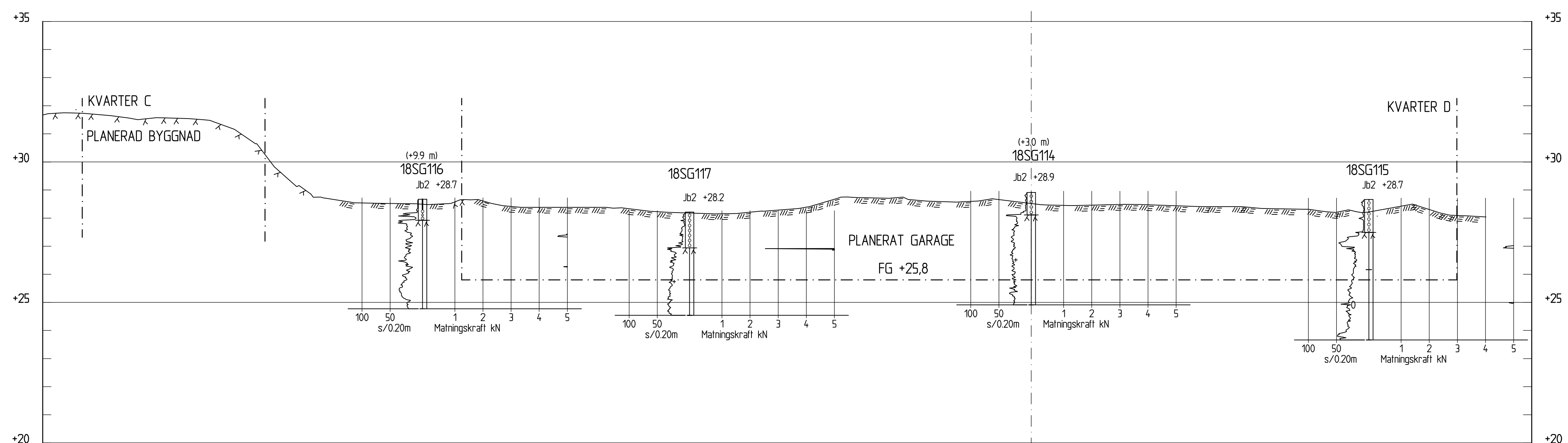
### SEKTION 1-1

H 1: 100 L 1: 200



### SEKTION 2-2

H 1: 100 L 1: 200



### SEKTION 3-3

H 1: 100 L 1: 200

**KOORDINATSYSTEM**  
KOORDINATSSYSTEM: SWEREF 99 18 00  
HÖJDSYSTEM: RH2000

### TECKENFÖRKLARING

FÖR BETECKNINGAR OCH SYMBOLER, SE SGF:s

BETECKNINGSSYSTEM [www.sgf.net](http://www.sgf.net)

TOLKAD MARKYTA

IMMÄTT BERG I DAGEN

PLANERADE BYGGNADER

PLACERING OCH GOLNVÄVR FÖR PLANERADE,

BYGGNADER ÄR ENDAST ILLUSTRERADE OCH FÄR INTE  
ÅBEROPAS FÖR PROJEKTERING, ELLER REGELERING AV  
SCHAKT- OCH GRUNDLAGGSARBETEN.

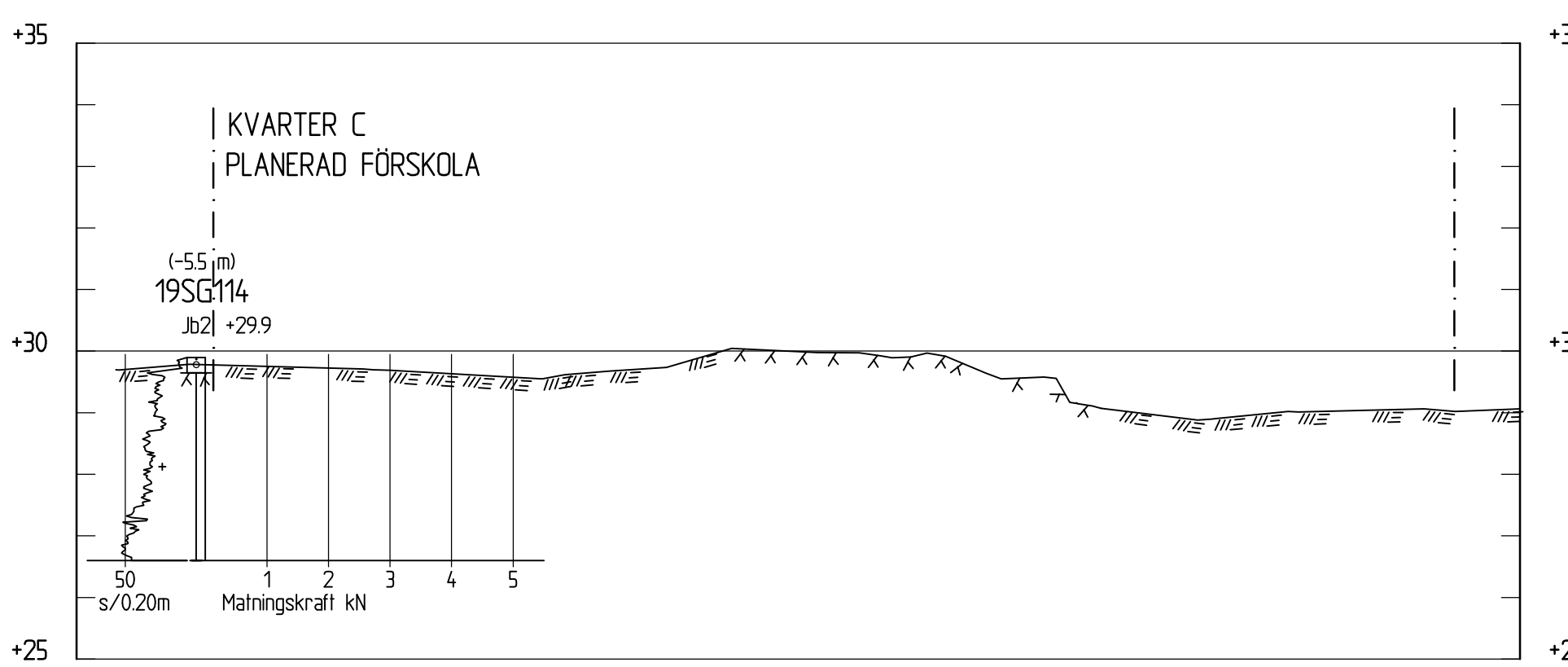
### ANMÄRKNING

PLACERING OCH GOLNVÄVR FÖR PLANERADE,  
BYGGNADER ÄR ENDAST ILLUSTRERADE OCH FÄR INTE  
ÅBEROPAS FÖR PROJEKTERING, ELLER REGELERING AV  
SCHAKT- OCH GRUNDLAGGSARBETEN.

### HÄVNISNINGAR

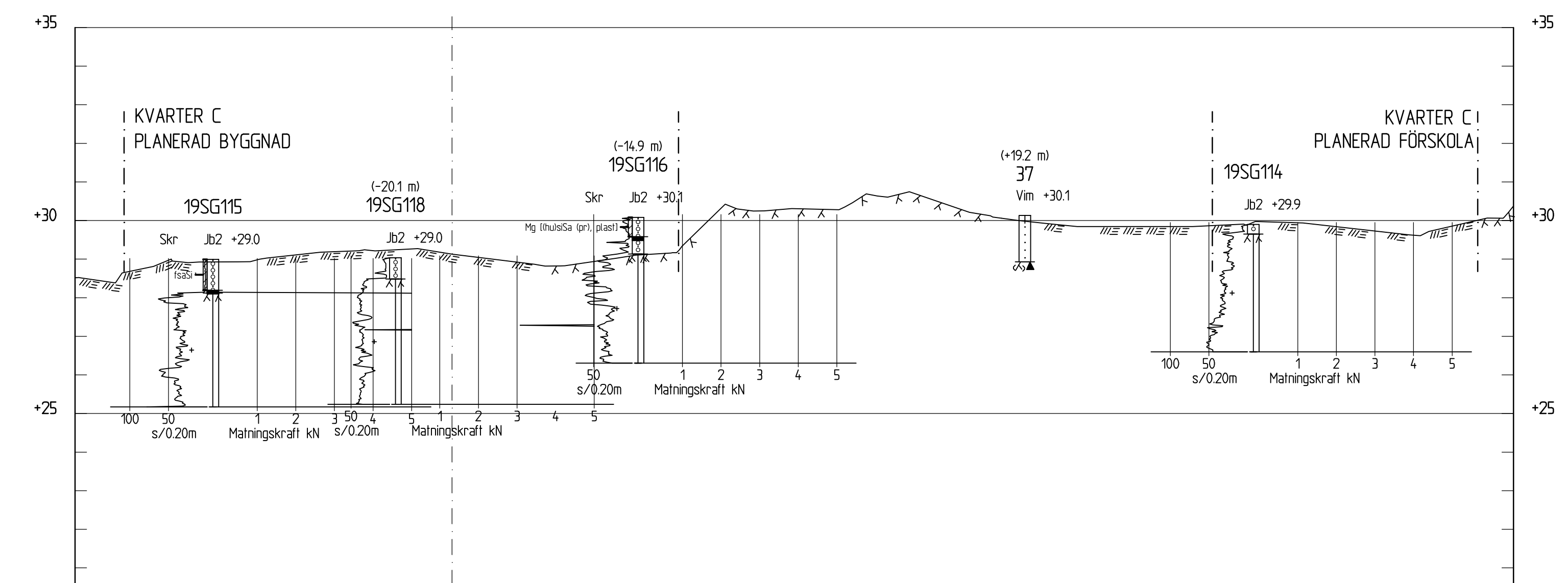
PLAN G-17.1-001

|   |            |                 |         |        |
|---|------------|-----------------|---------|--------|
| REV   | ANT        | ÄNDRINGEN AVSER | GODKÄND | DATUM  |
|   |            |                 |         |        |
| <b>UNDERLAG TILL DETALJPLAN</b>   |            |                 |         |        |
| <b>GAMLA TYRESÖVÄGEN</b>  |            |                 |         |        |
| <b>STOCKHOLMS STAD</b>  |            |                 |         |        |
| <b>Structor</b>   |            |                 |         |        |
| STRUCTOR GEOTEKNIK STOCKHOLM AB<br><a href="http://www.structor.se">www.structor.se</a> |            |                 |         |        |
| UPPROGSAKSURIG  | M LUND     | UPPROGSAKSURIG  | M LUND  | G19023 |
| KONSTRUKTION  | R RAMAK    | KONSTRUKTION    | M LUND  | FORMAT |
| STOCKHOLM   | 2019-10-17 | STOCKHOLM       | DATUM   | SKALA  |
| OBJEKT NR   |            |                 |         |        |
| RITNINGSNR  |            |                 |         |        |
| G-17.2-003  |            |                 |         |        |
| REV   |            |                 |         |        |



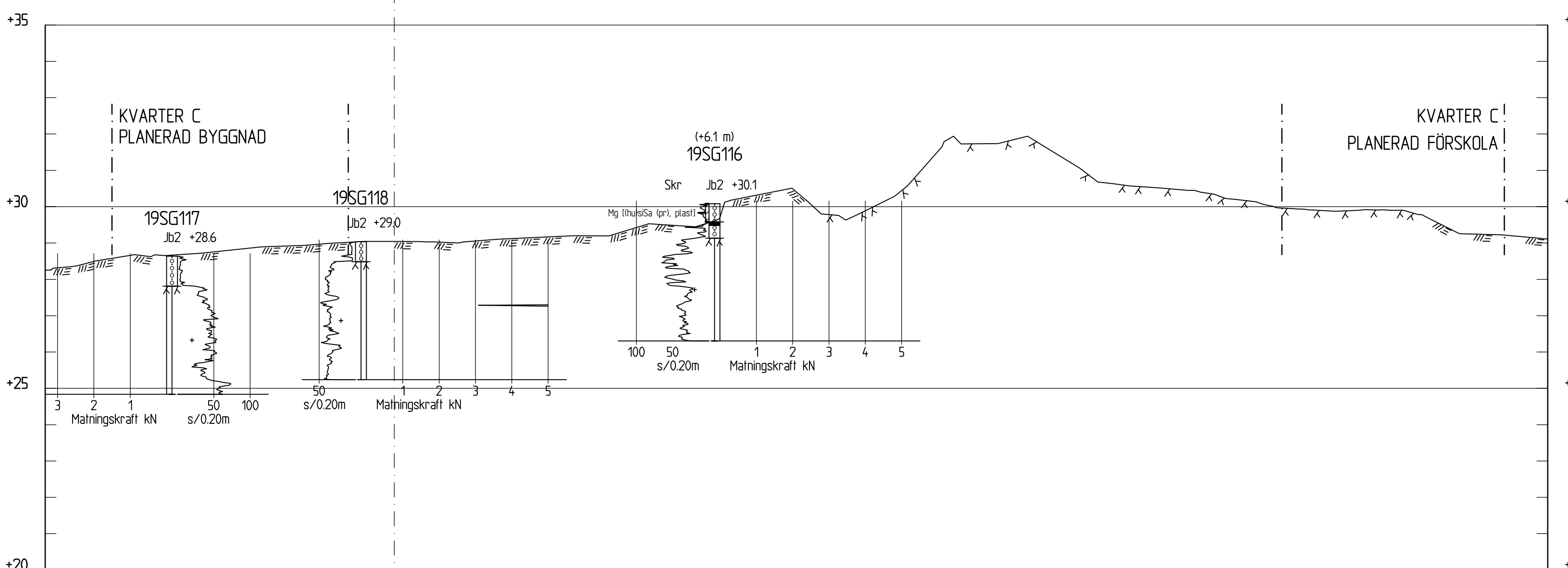
**SEKTION 4-4**

H 1: 100 L 1: 200



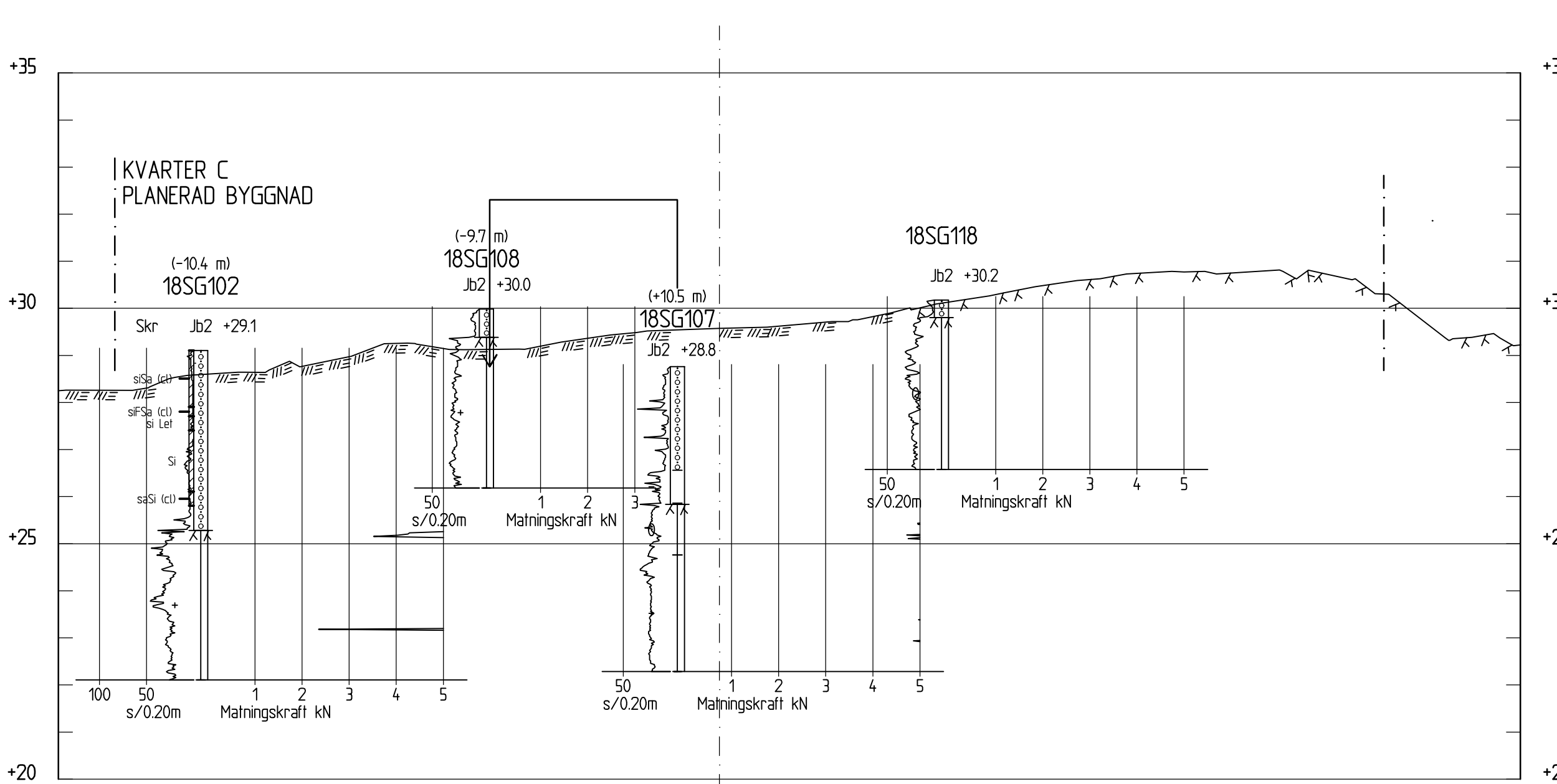
**SEKTION 5-5**

H 1: 100 L 1: 200



**SEKTION 6-6**

H 1: 100 L 1: 200



**SEKTION 7-7**

H 1: 100 L 1: 200

**KOORDINATSYSTEM**  
KOORDINATSSYSTEM: SWEREF 99 18 00  
HÖJDSYSTEM: RH2000

**TECKENFÖRKLARING**

FÖR BETECKNINGAR OCH SYMBOLER, SE SGF:s  
BETECKNINGSSYSTEM [www.sgf.net](http://www.sgf.net)

TOLKAD MARKYTA

IMMÄTT BERG I DAGEN  
PLANERADE BYGGNADER

**ANMÄRKNING**

PLACERING OCH GOLNVÄVR FÖR PLANERADE,  
BYGGNADER ÄR ENDAST ILLUSTRERADE OCH FÄR INTE  
ÅBEROPAS FÖR PROJEKTERING, ELLER REGELERING AV  
SCHAKT- OCH GRUNDLAGGSARBETEN.

**HÄNVISNINGAR**

PLAN G-17.1-001

REV ANT ÄNDRINGEN AVSER GODKÄND DATUM

**UNDERLAG TILL DETALJPLAN**  
**GAMLA TYRESÖVÄGEN**  
**STOCKHOLMS STAD**

**Structor**

STRUCTOR GEOTEKNIK STOCKHOLM AB  
[www.structor.se](http://www.structor.se)

UPPROGANSNUMMER G19023

KONSTRUKTOR M LUND

KONSTRUKTIONSRNR A1

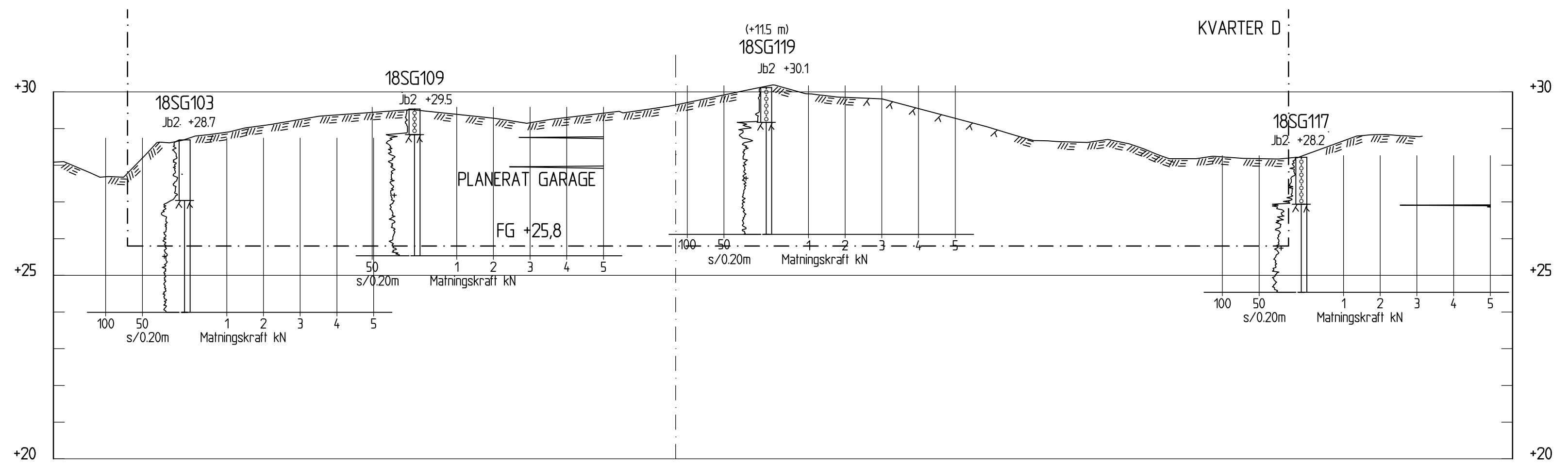
FORMAT 1:100

SKALA 1:200

DATUM 2019-10-17

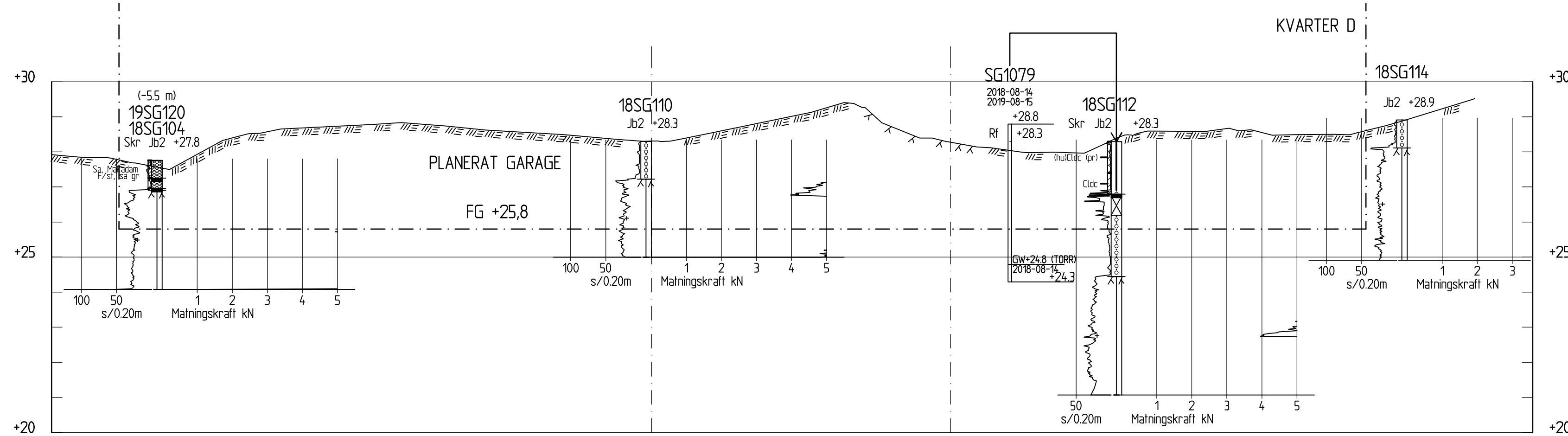
OBJEKT NR G-17.2-004

RTNINGSNR REV



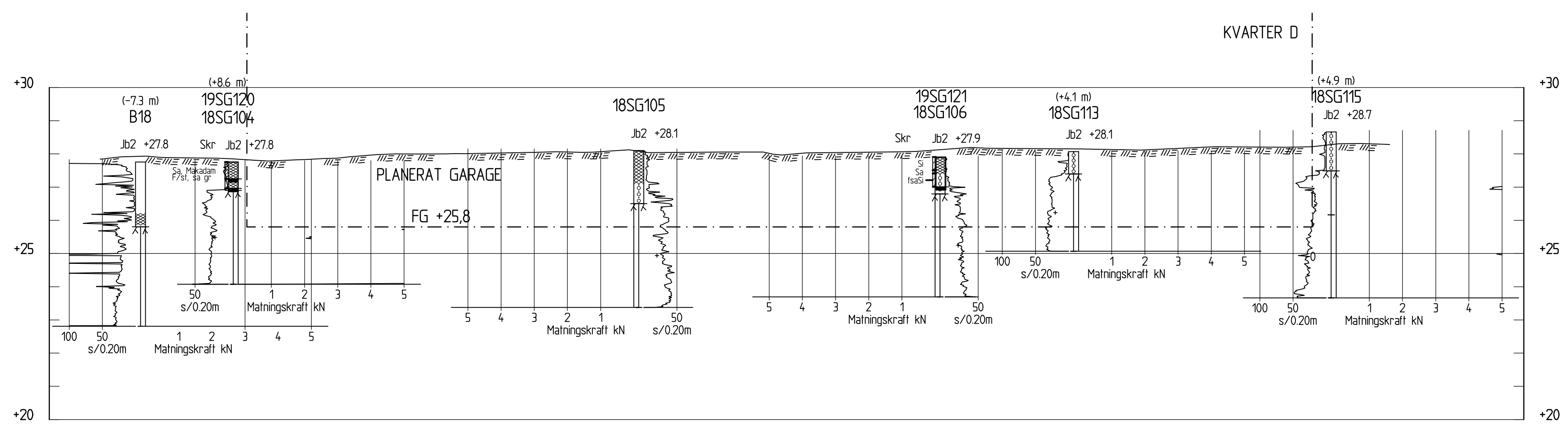
**SEKTION 8-8**

H 1: 100 L 1: 200



**SEKTION 9-9**

H 1: 100 L 1: 200



**SEKTION 10-10**

H 1: 100 L 1: 200

**KOORDINATSYSTEM**  
KOORDINATSSYSTEM: SWEREF 99 18 00  
HÖJDSYSTEM: RH2000

**TECKENFÖRKLARING**  
FÖR BETECKNINGAR OCH SYMBOLER, SE SGF:s  
BETECKNINGSSYSTEM www.sgf.net

TOLKAD MARKYTA  
IMMÄTT BERG I DAGEN  
PLANERADE BYGGNADER

**ANMÄRKNING**  
PLACERING OCH GOLNVÄVR FÖR PLANERADE,  
BYGGNADER ÄR ENDAST ILLUSTRERADE OCH FAR INTE  
ÅBEROPAS FÖR PROJEKTERING, ELLER REGLERING AV  
SCHAKT- OCH GRUNDLAGGNINGSARBETEN.

**HÄNVISNINGAR**  
PLAN G-17.1-001

PLOTTAD AV mld: 2019-10-17 - 1040. RTNING K-1519023 Gamla Tyresövägen 4, kvarter G-17.2-005.dwg

| REV                             | ANT        | ÄNDRINGEN AVSER | GODKÄND | DATUM |
|---------------------------------|------------|-----------------|---------|-------|
| <b>UNDERLAG TILL DETALJPLAN</b> |            |                 |         |       |
| <b>GAMLA TYRESÖVÄGEN</b>        |            |                 |         |       |
| <b>STOCKHOLMS STAD</b>          |            |                 |         |       |
| M LUND                          | G19023     |                 |         |       |
| R RAMAK                         | M LUND     |                 |         |       |
| STOCKHOLM                       | DATUM      |                 |         |       |
|                                 | 2019-10-17 |                 |         |       |
| OBJEKT NR                       | RTNINGSNR  |                 |         |       |
|                                 | G-17.2-005 |                 |         |       |
|                                 | REV        |                 |         |       |

**Structor**

STRUCTOR GEOTEKNIK STOCKHOLM AB  
www.structor.se

UPPDRAGSANSVARIG

M LUND

UPPDRAGSNUMMER

G19023

KONSTRUKTION

R RAMAK

FORMAT

A1 SKALA 1:100

1:200

PLOTTAD AV mld: 2019-10-17 - 1040. RTNING K-1519023 Gamla Tyresövägen 4, kvarter G-17.2-005.dwg